

I. T. Ü.
GEMİ İNŞAATI VE DNZ. BİL. FAK.
KİTAPLIĞI

**İSTANBUL TEKNİK ÜNİVERSİTESİ
GEMİ ENSTİTÜSÜ BÜLTENİ
(PUBLICATIONS OF TURKISH SHIPBUILDING RESEARCH INSTITUTE)
TECHNICAL UNIVERSITY
ISTANBUL**

No. 8

1963

TÜRK KİYİ TEKNELERİ I

TURKISH COASTAL CRAFT I

**“ÇEKİRME”
“GULET”**

Ord. Prof. ATA NUTKU

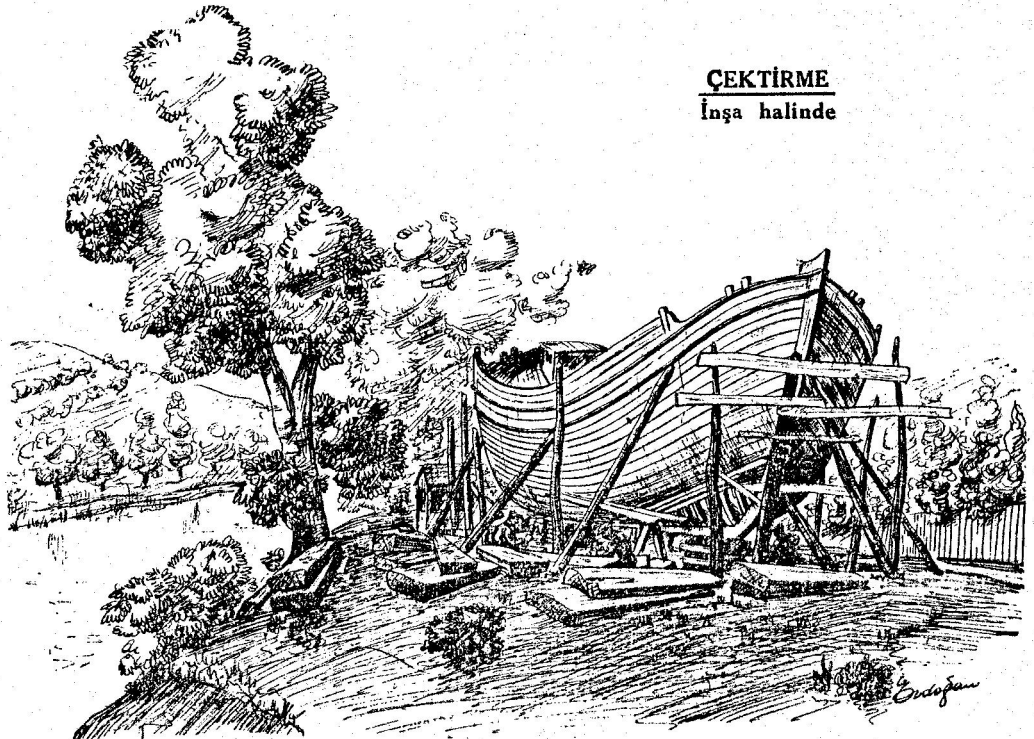
Y. Müh. FERHAT KÜÇÜK

I.T.Ü. Gemi İnşaati II. Kürsüsü

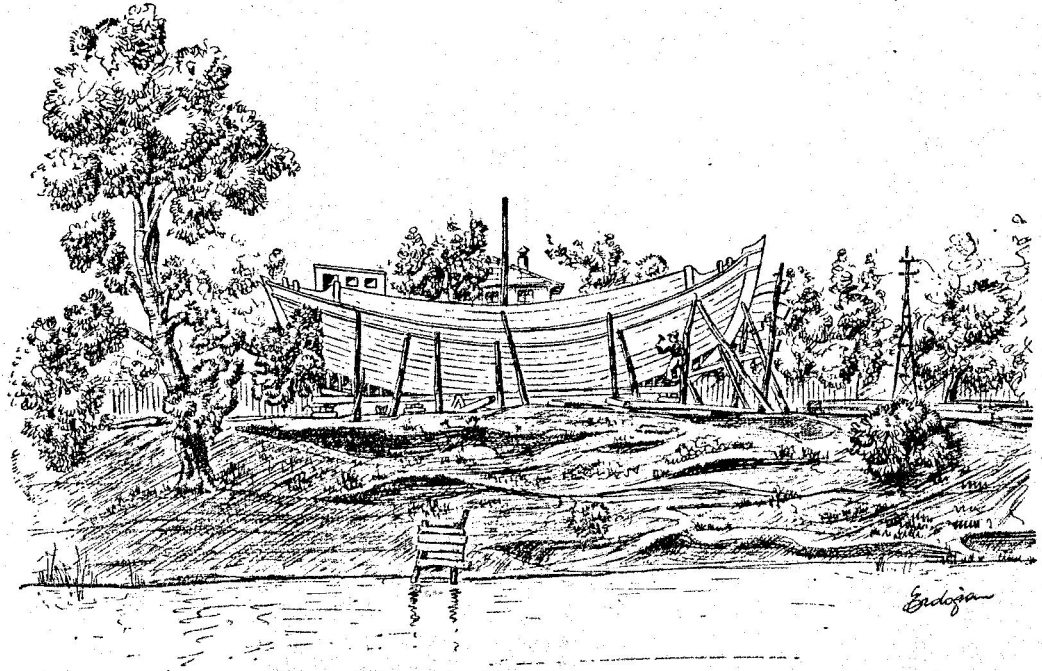


**1963
İSTANBUL**

ÇEKTİRMÉ
Inşa halinde



The yards in «Bartın», «İnebolu», on Black sea coast where (Çektirme)'s are built.



Bartın deresi kenarında çektirmelerin inşa edildiği iptidai bir tersane (bir usta 3 işi 2 çırak ile bir çektirme 90 günde inşa edilmektedir.)

GİRİŞ

Türk ağaç teknelerinin başlangıç tarihi asırlar evveline uzanmakla beraber bugünkü durumu, ilk devirlerinin iptidailiğini muhafaza etmektedir. Gemi İnşası Tekniği, öğretimi ve eğitiminden mahrum kalmış ustalar ve kalfalar, babalarından kalma el takımları ve basit kaliplarla, büyük zorluklar içinde, büyük emekler sarf ederek, ağaçları balta ve ayak keserlerle yonta, yonta türk kıyı nakliyatının önemli kısmını alan bu tekneleri meydana çıkarmaktadır.

Ağaç teknelerin inşasına hâlen de devam edilmesi ve bunların bugün kıyı nakliyatını yapan gemiler arasında tutunarak kaybolmamalarının sebeplerini incelemek gerekmekte idi.

Ağaç malzeme kalınlıkları (scantlings) bakımından yeterli olmakla beraber bağlama (fastenings) leri kifayetsiz olan bu tekneleri, devamlı yükleme boşaltma ve dalgalar arasında zirve, çukur eğilmelerine maruz kalarak zamanla formlarını değiştirmekte, baş kişi nihayetleri sarkarak omurgaları köprükamburu eğimini almaktadır. (Bu rapordaki Gulet'in postalarının omurga civarındaki iç eğimlerinin, bu şekildeki boyuna ve enine deformasyonlarla meydana geldiği anlaşılmaktadır.) Bu sebeplerden sueden tekneleri, sık sık karaya çekilerek iptidai metodlarla kalafat ve ziftlenmekte, deformasyondan ötürü bozulan şatlayları düzenlenmektedir.

Gerek inşası, gerek bakım tutum ve tamiri ve gerekse de çalıştırılması büyük müşküller yaratın bu tekneleri, bunlarla uğraşan insanların hayat ve çalışma şartlarını asırımızla uygulanamayacak kadar düşük bir duruma sokmuştur. Havasız, karanlık makine daireleri, hertürlü sıhhî ihtiyaçtan mahrum müttebat yerleri olan bu tekneleri, Konstruktif durumları bakımından, mal ve can emniyeti söyle dursun en basit çalışma ve denizde gezme şartlarından da yoksundurlar. Daha dünne kadar bordadan uzanan saylenerler egzost borularıyla gürültü ve kurum saçan ve yelken devrinin basit ağaç yekesinde dümən tutmak için büyük enerji sarfedilen Taka, Çektirme ve Guletler, orta çağdan kalma langa lunga irgatları ve admiralty demirleriyle ancak esir mesaisile denizde gezebilmektedirler.

Son senelerde, enstitümüzün önderliğinde yüksek devirli hafif makinelere uygun pervanelerin dizaynı ve devir düşürücü dişli donanımları üzerindeki tavsiyelerile yeni bir gelişmeye erişilerek evvelce tekneleri sarsan az devirli ağır makinelerin yerlerini yavaş yavaş modern makinelere bıraktığı müşahede edilmiştir. Bununla beraber şimdi, yavaş teknelere konan yüksek devirli makinelerin pervanelerinde meydana gelen kavitasyon gibi problemlerle uğraşmak gerekmistiştir.

Bu raporda takdim edilen «Gulet» tipi teknenin, bılıhassa kişi gövdesinin (akım tekniği) bakımından bozukluğu dolayısıyla pervanesine sürekli bir su cereyanının sağlanamamış olması, tekne sevk verimini çok düşük bırakmıştır. Teknenin rota tutma kabiliyeti de bu yüzden çok zayıftır. Ağaç teknelerimizi pervane imalatı bilgisiz ve tecrübesiz kimselerin elinde kaldığından fuzulu yakıt ve millî serveti kaybına sebep olmaktadır.

Yukardaki açıklamalardan sonra, ağaç teknelerimizin nasıl olup da rakip modern gemilerle aynı safa çalışıp yaşayabileceğini incelemek doğru olacaktır.

Sosyal sebepler :

- ❖ Ağaç tekneler, basit hayat şartlarıyla razı olan ustaların emeğiyle meydana geldiğinden ve ağaç da çok ucuza temin edilebildiğinden ilk maliyet düşüktür. Aynı sebeplerden tamir de daha düşük hayat seviyesindeki insanlara kalmıştır. (Kalafat yerleri) denilen yerlerdeki hayat çok üzücüdür.
- ❖ Birkaç malsahibi birleşerek şirket kurmadıklarından modern çelik tekneye geçememektedirler.
- ❖ Tekne çapı 149 Gross tondan yukarı sınırı geçince, liman nizamlarının istediği Gemi adamları sayısının birden çok artışı, vergi ve rusumların ortaya çıkması tekneleri kısıt ve acaip bırakmıştır.

İşletmeye ait sebepler :

- ❖ Küçük tekneleri az adamlı ve ekseriya malsahibinin akraba veya tanıklarile çalışmaktadır.
- ❖ Taşınacak yüklerin az ve dağıtık yerlerde olması küçük tekneleri rentabl yapmaktadır. Mamafü kamyonlarla yapılan kara nakliyatı - denizası kestirme yollar mütesna - ağaç teknelerine en kuvvetli rakip olmuştur. Ancak bir kaç kamyonluk yükler için deniz halâ revaçta kalmıştır, ve navlun düşüktür. Zira, masraflar düşüktür : (Amortisman, idame, tamir, ton/mil başına yakıt.)
- ❖ Son senelerde çekirmeler, kepçe bakraçlarla teçhiz edilerek kum çırparı taşımağa başladıklarından bir müddet daha revaçta kalabileceklerdir.

Teknik sebepler :

Çektirmelerin, boyut oranları ve formu, yani gerektirdikleri makine takatı ve yakıt sarfiyatı bakımından rakip modern çelik teknelerle nazaran mukayeseleri bu rapordaki deney sonuçları ile ilerki sahilere belirtilmiştir.

Numune olarak alınmış olan teknelerin senelik masraflarının (TL./Ton/mil) raporun sonundaki mukayesesi, yukarıdaki soruları cevaplandırmakta ve bunların nasıl olup tā Deniz Ticaretinde hisse alabileceklerini izah etmektedir.

Mal ve can emniyeti bakımından sigorta mevzuu içine de giremeyen bu teknelerin işte durabilmelerinin, ancak teknığın ve Sosyal şartların icaplarından kaçınmak suretile mümkün olabildiği bu incelemelerden görülmektedir. Enstitü, bu konuda kendine düşen ödevi görerek, bu teknelerin yerine geçebilecek ve asgarı maliyet, basit işçilikle inşa edilebilecek bir çelik tekne prototipi hazırlamıştır. Memleket çelik sanayiinin gelişmesiyle bunun tabakkusu daha da kolay olacaktır.

Ağaç tekne yapıcılarını burada takdirle ve teşekkürle anmadan geçemeyeceğiz, onlar :

- ❖ İlli, teknik, hertürlü yardım ve alâkadan uzak, mali ve kamu yardımı olmadan, ağaç tekneleri yapıp yüzdürmektedirler.
- ❖ Tekneleri, malsahibinin ve denizin icaplarına göre geliştirmekte ve,
- ❖ Tezgâhsız, takımsız, feragette çalışmaktadır.

Çap tasnifi :

Çektirmeler başlıca :

Yük çektirmesi ve balıkçı çektirmesi olarak iki katagoriye ayrılır. Yük çektirmeleri çeşitli çaplarda (yani 50 tonluktan 250 ton yük taşıma kapasitesine kadar) olmakla beraber bunlardan en çok inşa edilmiş revaçtaki çaplar 110 ton, 160 ton ve 180 ton civarındadır. Bu sebeple bu raporda iki tipi temsil eden «110 tonluk Servet», çektirmesi ve «180 tonluk Bartın» çektirmeleri incelemeye tâbi tutulmuşlardır.

Gulet tipi 300-500 tonluk tekneleri teşkil etmektedir.

c) Ağaçlar.

Bir çektirmenin tipik konstrüksiyon kesiti (şekil 12) de verilmiş olup, malzeme kalınlıklarının kaidelere göre yeter derecede olduğu buradan görülmektedir.

Cinsleri	Dayanma müddetleri	Kullanıldıkları yerler
Meşe veya Gürgen	Meşe 12 sene, Gür- gen 6 sene	Omurga, iç omurga, ağzı kuşağı İstral- yalar.
Dişbudak	10 sene	Postalar, döşekler, bodoslamalar keme- reler, kamaralarda.
Karaağaç	10 sene	Eğme posta, aynalık, paraçol,
Çam	6 sene	Diş kaplama
Kestane	(aşılı) 20 sene	Diş kaplama
Sedir ağacı	—	Diş kaplama
Dut ağacı	15 sene	Postalar, eğriler.

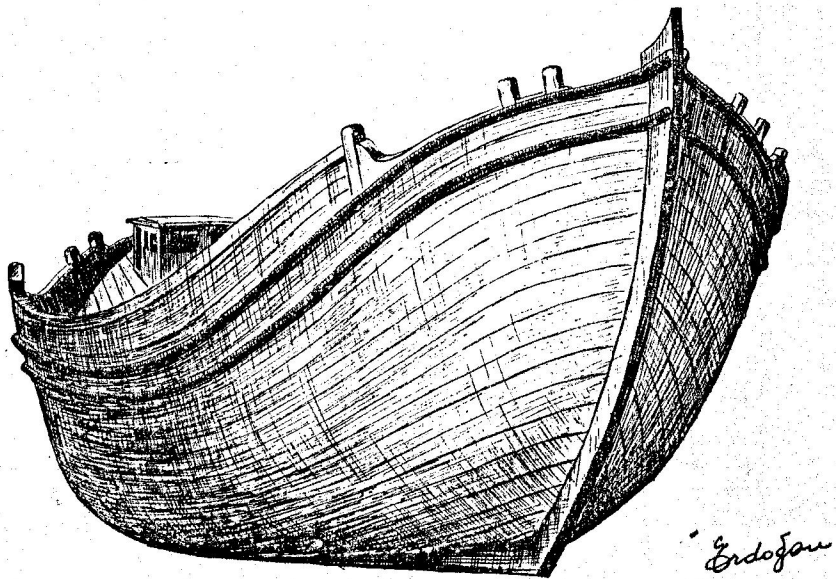


Fig 1 — Çektirmen Hull form. Blunt fore body, rounded waterlines High sheer Ford and Aft, facilitates planking

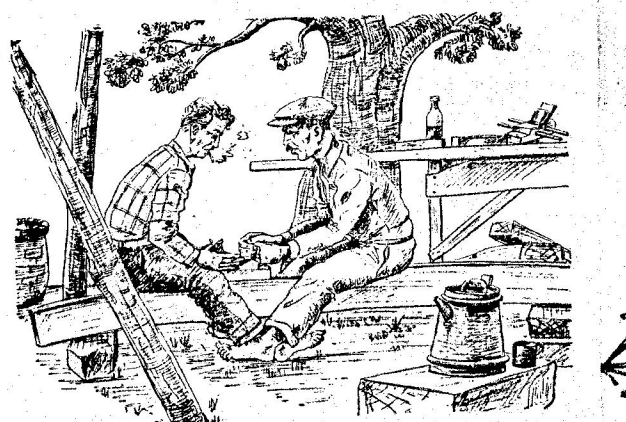


Fig. 2a — Finishing-off the keel with hand tools.

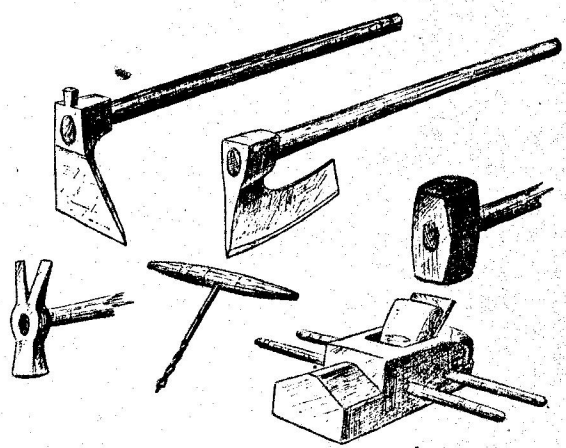


Fig. 2b — The tools used for construction.



Fig. 3a — Horizontal axe called (ayak keseri).



Fig. 3b — The axe
Both tools require great skill, patience and energy.

Bunlardan gürgen yalnız su altında dayanabilmektedir. Se-dir ağacı kıymetli olup az miktarda Toros dağlarında bulunmaktadır. Dışbüdak Karadenize has kıymetli bir ağaç olmakla beraber bu günü istihlak temposile 2 sene sonra bulunamayacağı anlaşılmaktadır.

Ağaç teknelerin nakliyattaki rolü : Enstitümüzün memleket limanlarından 57 sine açtığı anket sonucunda 51 limandan alınan bilgilere göre takriben 7730 adet ağaç tekne bulunduğunu ve bunların 2500 ünün çekirme tipinde olduğu tespit edilmiştir. Bu limanlardan yapılan senelik nakliyat toplamı olan 2030560 tonluk yükün takriben % 52 si ağaç teknelerle yapılmakta olduğu anlaşılmıştır. Kömür, krom v.s. gibi dökme büyük yükler istisna edildiği takdirde parça yüklerin takriben % 75 inin ağaç teknelerle taşındığı neticesine varılmıştır. Bunlardan Çektirme ve Gulet yük teknesi olarak önde gelmektedir. Memleket kıyılarda (İstanbul hariç) 118 adet kızak inşaat ve çekek yeri mevcut olup, buralarda çalışan işçiler anane ve görgüye dayanan metotlarla tekne formlarını geliştirmektedirler. Bu teknelerin yapılması ve tamirleri için memleket ormanlarından alınan kerestenin senelik tutarı takriben 4000 metre küp tutmaktadır. Pratik hesaplara göre 150 tonluk bir tekneye 130 metre küp ağaç sarf edilmektedir. Bu rakamlar, tamir ve idame için yapılan sarfiyatı da içine almadığından ağaç sarfiyatının ormancılık bakımından önemini ortaya çıkarmaktadır.

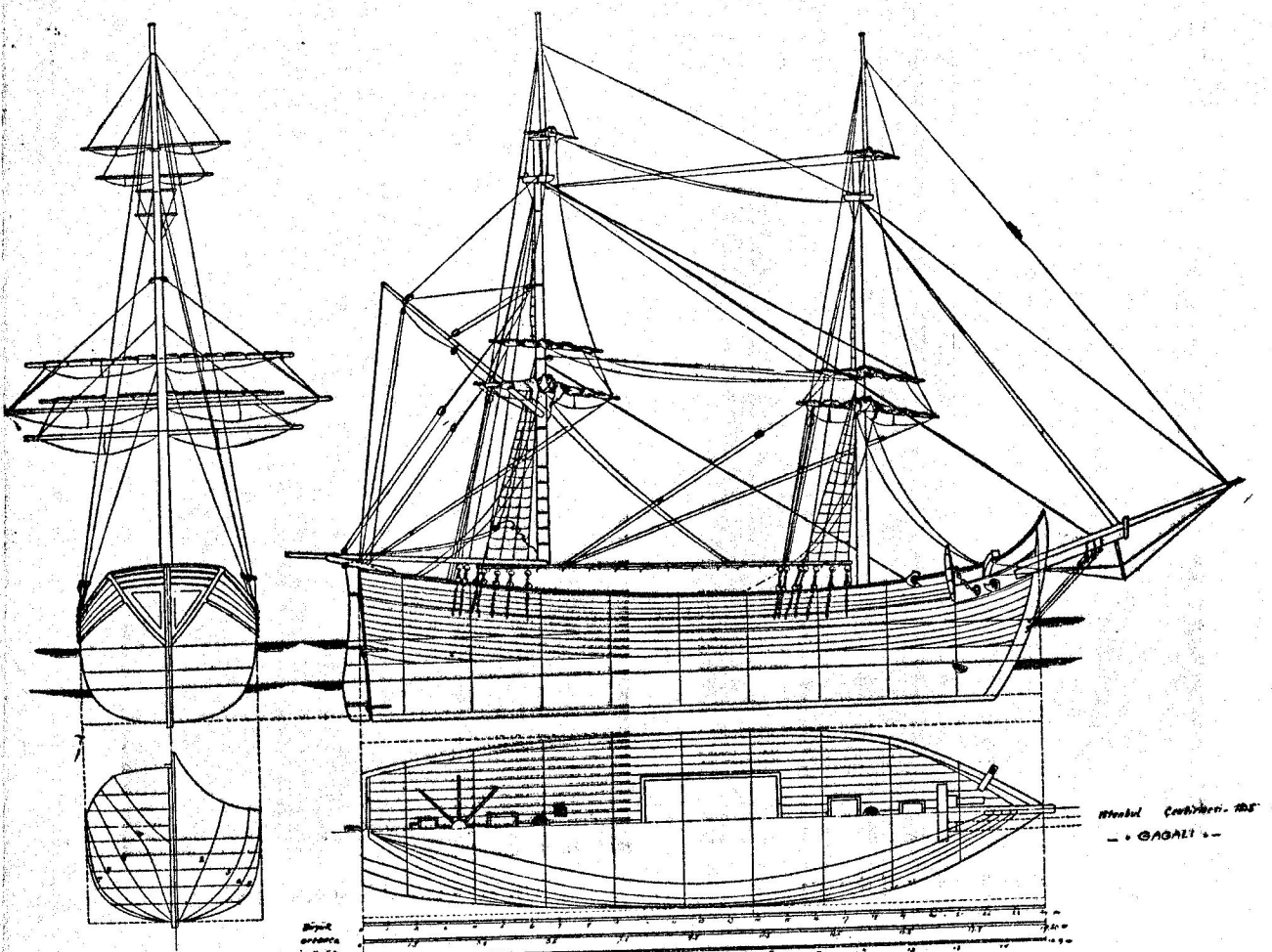


Fig. 4. — One of the Turkish coasters on the era of steam age schooner «Gagali» the fore runners of today's «Bumbarta».
Bohar devrinin başlangıcında kıyılarımızda nakliyat yapan Koster'ler. Uskuna (Gagali). Şimdiki Bumbartaların orijini. Resim Admirali
ari's'in kitabından alınmıştır.

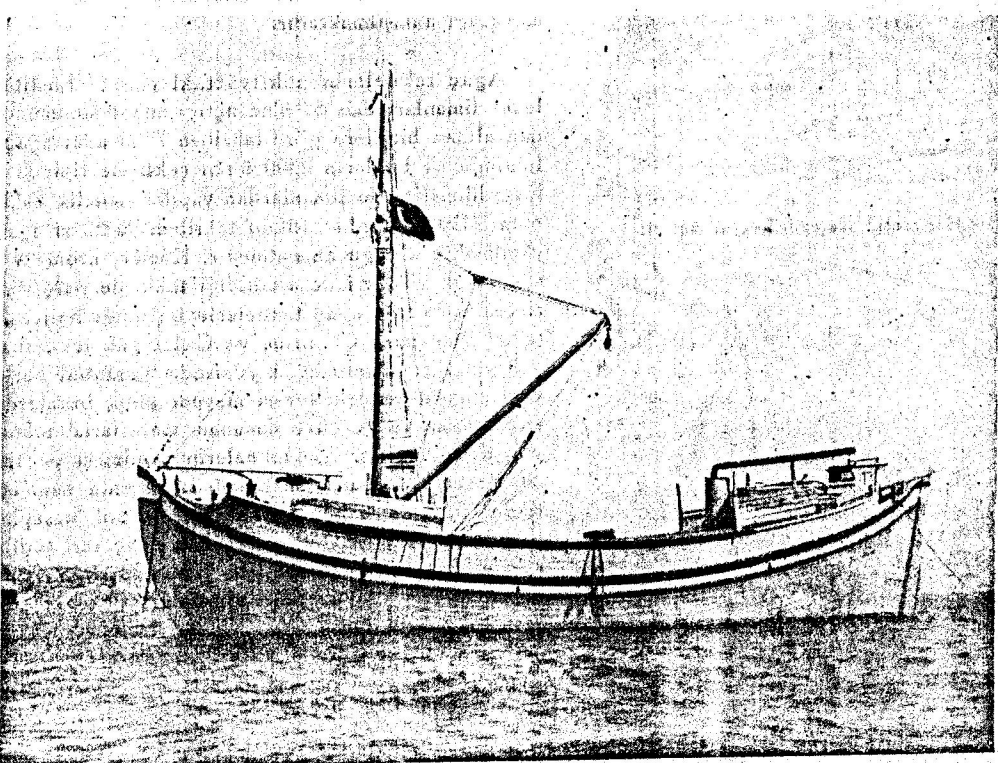


Fig. 5a — Side view of Çektirme (large size) fitted with Sand grab rig. Note the peculiar sheerline, Exhaust pipe, helmsman's kiosk.

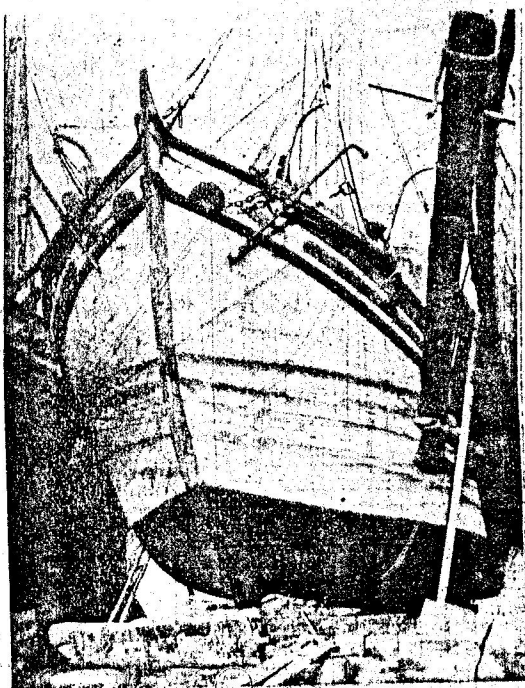


Fig. 5b — Bow view of «Servet»

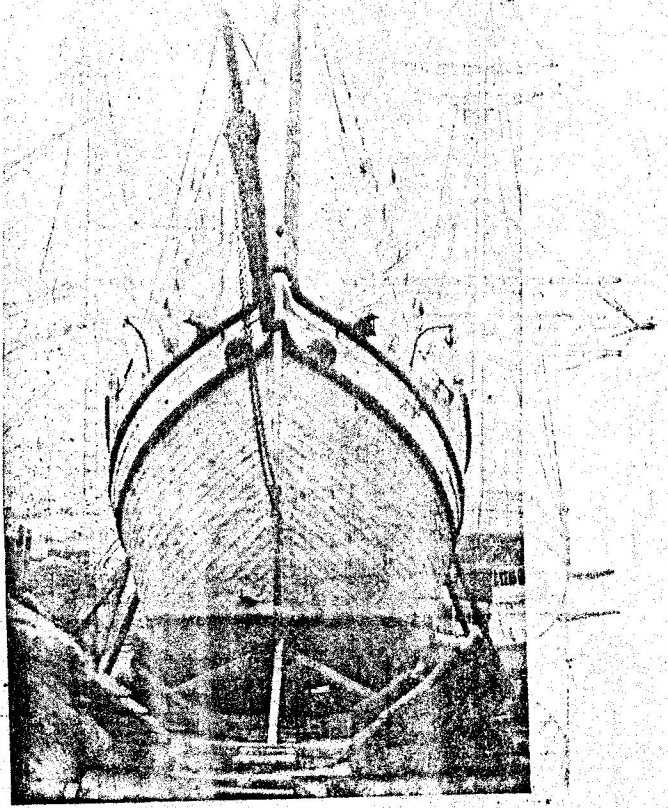


Fig. 6a — Bow view of «Çetindag»

Form :

Ağaç teknelerin denizli havalarda karşılaştıkları zorlamalara karşı bağlarının yetersiz olması, boyalarını sınırlamaktadır. Bu sebeple en büyük boy 26 metre olup ancak Guletlerde nadiren 40 metreyi bulmaktadır; kısa boyla maksimum deplasman temini için genişlik ve derinlik azami limitlerinde ($B = L/3$, $d = B/3$) kaidesile inşaata girişilmektedir.

Bu bültendeki «Servets» ve «Bartın» çekirmeleinin formları (Şekil 5 ile 12) da verilmekte olup çeşitli boyut ve narinlik katsayıları (cetvel II ve III) de gösterilmiştir. (Sayfa 2, şekil 1) deki gravürden de form hakkında bir fikir edinmek mümkün oluyor. Gerek gravurler gerek form planları ve gerekse bu broşürün diğer sayfalarındaki fotoğraflardan da görüleceği gibi teknelerin baş su hatları dolgunmasına karşı kış tarafı su hatları daha narindir. Buna rağmen muayyen sırattan sonra kış omuzlukta gözle görülebilen (akımda ayrılma) separation hâdisesinin meydana gelmesi, yüklü su hattında dolgunluğunu ifade etmektedir. Pervane civarındaki su hatları daha narindir.

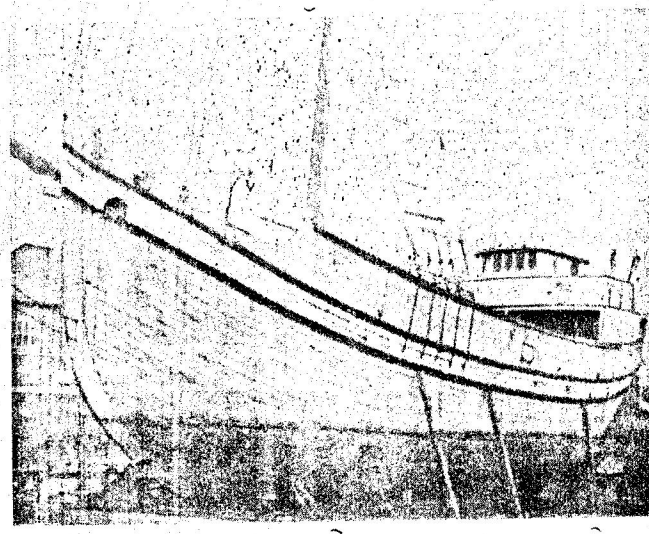
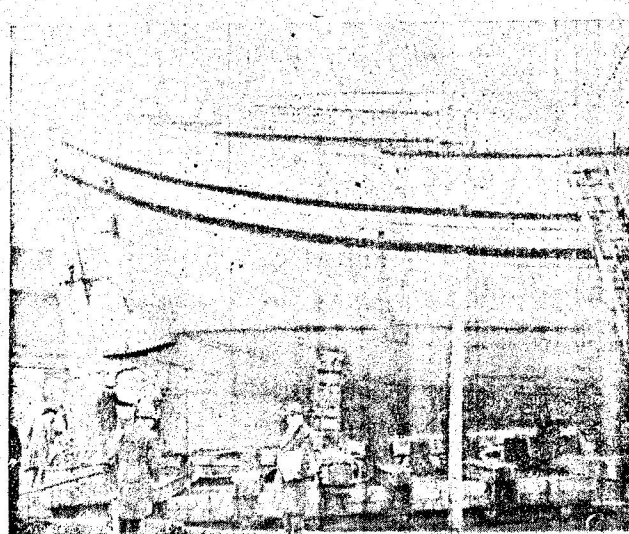
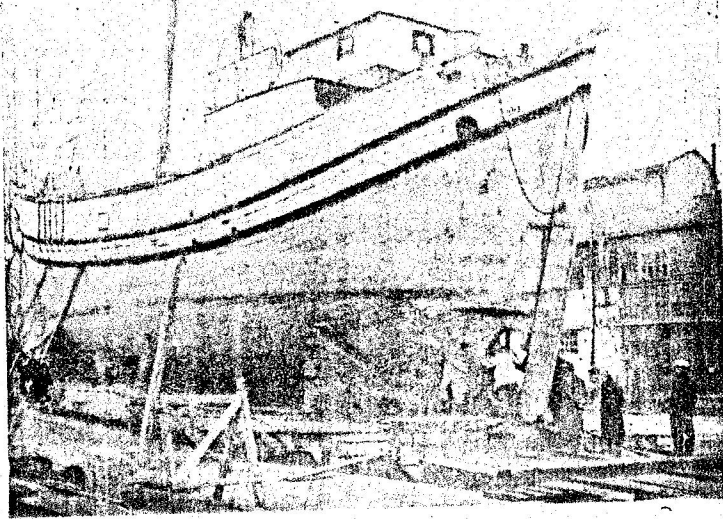


Fig. 6b, 6c, 6d— The Çektirme «Çetinkaya» photos showing the form. Note the bracket above the propeller; narrow, deep rudder.

CETVEL I

	SERVET (Çektirme)		BARTIN (Çektirme)		ÇETINKAYA (Gulet)	
	BOŞ	DOLU	BOŞ	DOLU	BOŞ	DOLU
Yük		110 t.		180 t.		250 t.
Δ		170 t.		250 t.		340 t.
L (m.)	17.57	18.95	18.87	21.87	21.48	22.10
B (m.)	5.94	6.40	6.20	6.83	7.12	7.30
d (m.)	1.03	2.25	1.15	2.90	1.34	3.20
δ	0.588	0.636	0.506	0.610	0.454	0.672
β	0.887	0.914	0.783	0.885	0.695	0.850
φ	0.670	0.696	0.642	0.690	0.660	0.773
$L/\nabla^{1/3}$	4.46	3.45	4.82	3.48	4.78	3.16
LBH	271 m ³		423 m ³		592 m ³	
D.W. LBH	0.407		0.426		0.423	

Table I — General dimensions and characteristics of Turkish wooden Coasters.

CEKTİRME
“SERVET”

SHEER DRAUGHT
MODEL No. 62

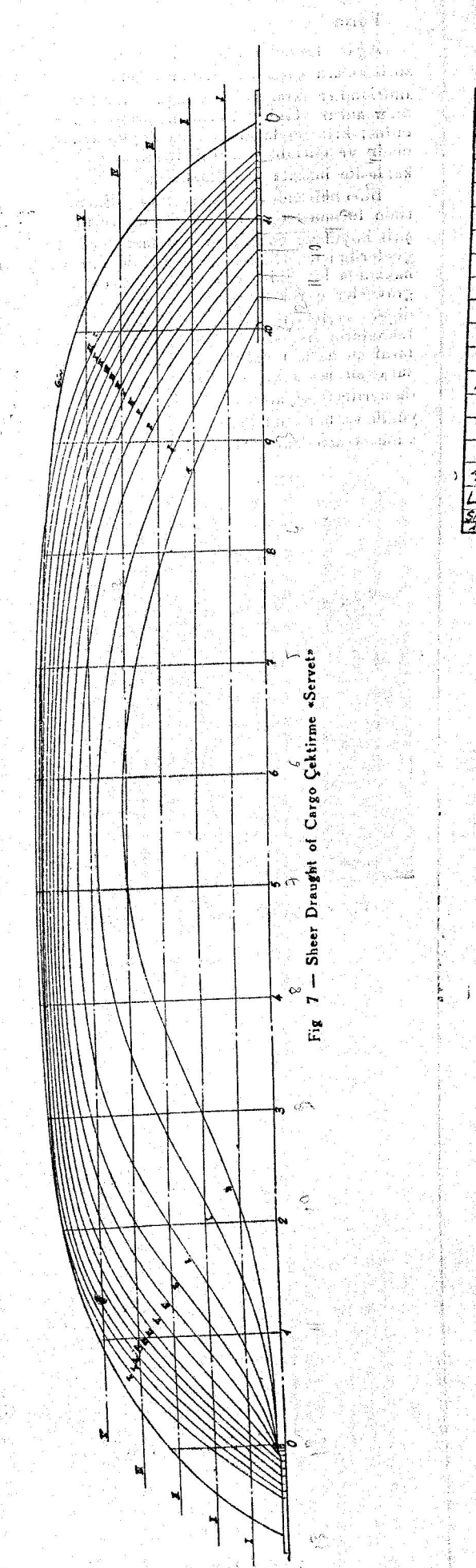
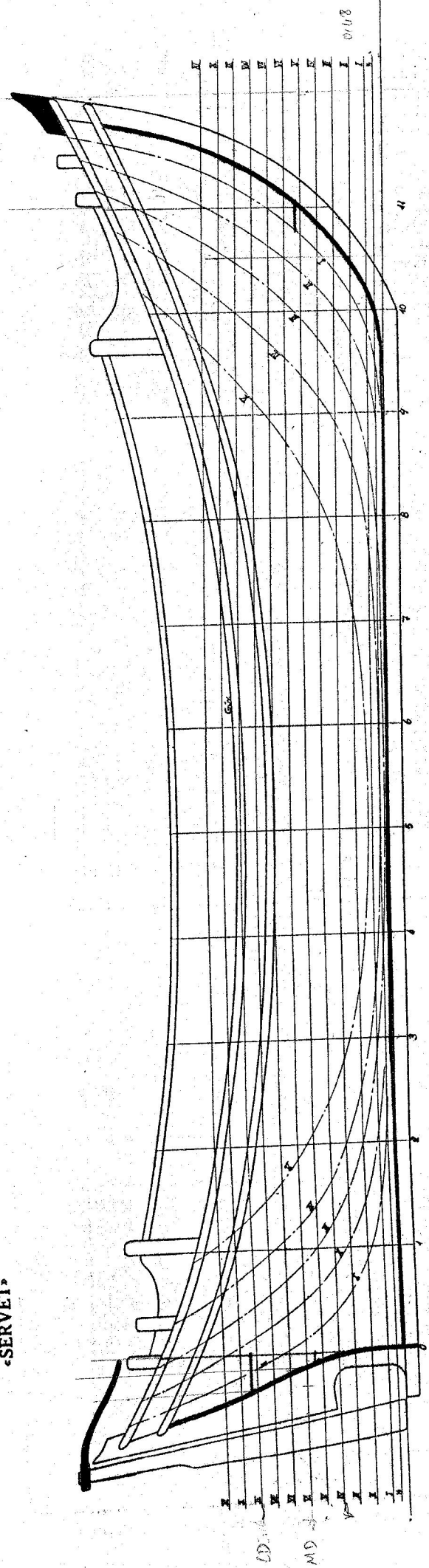


Fig 7 — Sheer Draught of Cargo Cektirme "Servet"

Cetvel II

ÇEKİRME SERVET

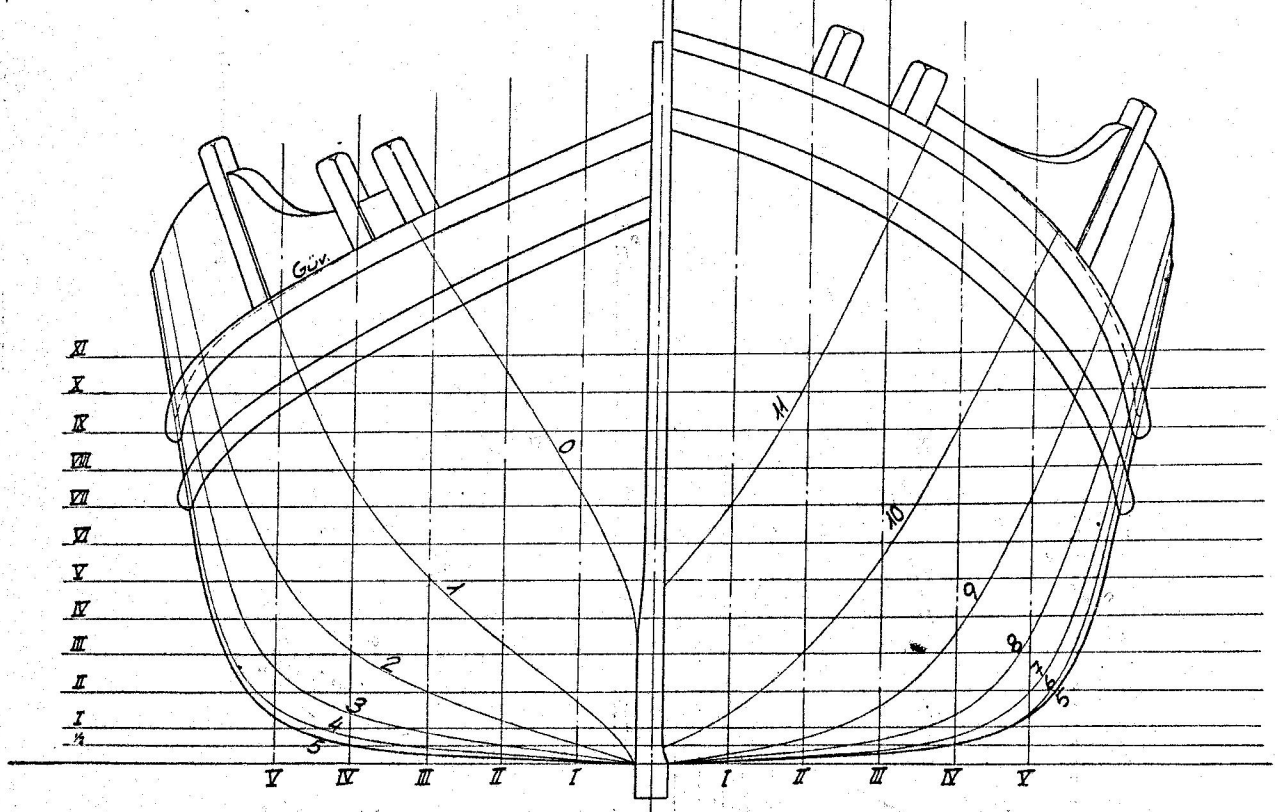
WL №	I	II	III	IV	V	VI	VII	VIII	IX	X
LWL m.	16.42	16.30	17.10	17.40	17.85	18.00	18.30	18.57	18.85	19.05
B (WL) m.	4.72	5.32	6.65	5.86	6.00	6.08	6.16	6.30	6.36	6.52
d (Mld) m.	0.24	0.48	0.72	0.96	1.20	1.44	1.68	1.92	2.16	2.40
d (Keel) m.	0.46	0.70	0.94	1.18	1.42	1.66	1.90	2.14	2.38	2.62
Δ tons	8.70	22.50	28.85	57.00	76.00	97.50	149.50	141.00	162.00	183.00
WS m ²	68.00	78.00	84.50	98.50	108.50	118.30	125.50	138.50	149.00	158.00
Ø A m ²	0.90	2.20	3.52	5.00	6.36	8.00	9.56	11.00	12.54	14.50
L/B	3.48	3.20	3.03	2.98	2.97	2.97	2.97	2.96	2.94	2.90
B/d	19.70	18.00	7.85	6.00	5.00	4.22	3.68	3.20	2.94	2.90
L/V ^{1/3}	8.00	6.20	5.10	4.54	4.19	3.93	3.74	3.58	3.45	3.35
Δ/(L _{pp}) ³	55.7	137	249.3	306	380	473	554	624	686	750
S	0.468	0.512	0.555	0.583	0.604	0.617	0.627	0.632	0.635	0.636
B	0.796	0.845	0.870	0.884	0.895	0.903	0.908	0.910	0.913	0.914
Φ	0.546	0.606	0.642	0.666	0.680	0.688	0.690	0.694	0.696	0.697
½ α e	31°	35°2'	38°	39°8'	41°	41°5'	41°6	42°2'	43°5'	44°8'
LCB/LWL	0.029	0.026	0.016	0.0085	0.0026	0.0018	0.0020	0.00161	0.000536	0.00053
Shoulder 1 1/2 L	0.332	0.367	0.330	0.345	0.353	0.390	0.380	0.360	0.372	0.377

Cetvel III

ÇEKİRME BARTIN'

WL №	I	II	III	IV	V	VI	VII	VIII
LWL m.	18.60	19.30	19.84	20.35	20.80	21.20	21.57	21.95
B (WL) m.	5.40	6.30	6.50	6.64	6.72	6.80	6.88	6.92
d (Mld) m.	0.34	0.68	1.02	1.36	1.70	2.04	2.38	2.72
d (Keel) m.	0.52	0.86	1.20	1.38	1.50	2.22	2.56	2.74
Δ tons	11.40	37.00	68.00	101.50	139.00	177.00	217.50	258.00
WS m ²	101	117	132.5	148	164	181.5	201	219
Ø A m ²	0.98	3.04	5.312	7.536	9.912	12.320	14.544	17.04
L/B	3.44	3.07	3.06	3.09	3.10	3.14	3.17	3.18
B/d	15.80	9.28	6.38	4.85	3.95	3.33	2.88	2.55
L/V ^{1/3}	8.27	5.80	4.86	4.36	4.02	3.78	3.60	3.45
Δ/(L _{pp}) ³	50.0	116	246	340	437	526	618	690
S	0.322	0.434	0.503	0.540	0.570	0.588	0.600	0.610
B	0.546	0.690	0.780	0.828	0.858	0.873	0.882	0.885
Φ	0.624	0.630	0.644	0.652	0.665	0.674	0.680	0.690
½ α e	30°	39°	43°	45°5'	47°	48°	48°	49°
LCB/LWL	0.0042	0.0181	0.0222	0.0233	0.0228	0.020	0.0168	0.0164
Shoulder 1 1/2 L	0.420	0.378	0.300	0.290	0.308	0.309	0.296	0.283

ÇEKİRME
«SERVET»



MODEL No. 62
BODY PLAN

Fig. 8 — The body plan of small size Çekirme
The stations are 1.60 m. apart
The waterlines are 0.24 m. apart
The spacing of Vertical lines 0.5 m.

Cetvel II

CEKTİRME SERVET

18.24

WL №	I	II	III	IV	V	VI	VII	VIII	IX	X
LWL m.	16.42	16.70	17.10	17.40	17.85	18.00	18.30	18.57	18.85	19.05
B (m) m.	4.72	5.32	5.65	5.86	6.00	6.08	6.16	6.30	6.36	6.52
d (M) m.	0.24	0.48	0.72	0.96	1.20	1.44	1.68	1.92	2.16	2.40
d (keel) m.	0.46	0.70	0.94	1.18	1.42	1.66	1.90	2.14	2.38	2.62
Δ tons	8.20	22.50	38.85	57.00	76.00	97.50	119.50	144.00	162.00	183.00
WS m ²	68.00	78.00	81.50	98.60	108.50	118.80	128.50	138.50	149.00	158.00
Δ A m ²	0.90	2.20	3.52	5.00	6.36	8.00	9.56	11.00	12.54	14.50
L/B	8.18	3.20	3.03	2.98	2.97	2.97	2.97	2.96	2.92	2.90
B/d	19.70	18.00	7.85	6.00	5.00	4.22	3.68	3.20	2.94	2.70
L/V ^{1/2}	8.00	6.20	5.10	4.54	4.47	3.93	3.74	3.58	3.45	3.35
Δ/V ^{1/2}	55.7	137	249.3	306	380	473	554	624	686	750
S	0.468	0.512	0.555	0.583	0.604	0.617	0.627	0.632	0.635	0.636
B	0.396	0.865	0.870	0.884	0.895	0.903	0.908	0.910	0.913	0.914
φ	0.566	0.606	0.642	0.666	0.680	0.688	0.690	0.694	0.696	0.697
1/2 α e	31°	35°2	36°	37°8	41°	41°5	42°6	42°2	43°5	44°8
L.C.B./LWL	0.029	0.026	0.016	0.0085	0.0028	0.0018	0.0020	0.0016	0.00036	0.00053
Shoulder /	0.352	0.347	0.350	0.345	0.353	0.370	0.380	0.360	0.372	0.377
Shoulder /	0.420	0.378	0.300	0.290	0.308	0.309	0.296	0.283		

Cetvel III

CEKTİRME BARTIN

WL №	I	II	III	IV	V	VI	VII
LWL m.	18.60	19.30	19.84	20.35	20.80	21.20	21.57
B (WL) m.	5.40	6.30	6.50	6.64	6.72	6.80	6.88
d (M) m.	0.34	0.68	1.02	1.36	1.70	2.04	2.38
d (keel) m.	0.52	0.86	1.20	1.38	1.50	2.22	2.74
Δ tons	11.40	37.00	68.00	101.50	139.00	173.00	214.50
WS m ²	101	117	132.5	148	164	181.5	201
Δ A m ²	0.68	3.04	5.312	7.536	9.912	12.320	14.544
L/B	3.44	3.07	3.06	3.09	3.10	3.14	3.18
B/d	15.80	9.28	6.38	4.85	3.95	3.33	2.88
L/V ^{1/2}	8.27	5.80	4.86	4.36	4.02	3.78	3.60
Δ/V ^{1/2}	50.0	146	246	340	437	526	618
S	0.322	0.434	0.503	0.540	0.570	0.588	0.600
β	0.516	0.690	0.780	0.828	0.858	0.873	0.882
φ	0.624	0.630	0.644	0.652	0.665	0.674	0.680
1/2 α e	30°	39°	43°	45°5	47°	48°	49°
L.C.B./LWL	0.0042	0.0181	0.0227	0.0233	0.0283	0.0220	0.0165
Shoulder /	0.420	0.378	0.300	0.290	0.308	0.309	0.296
Shoulder /	0.283						

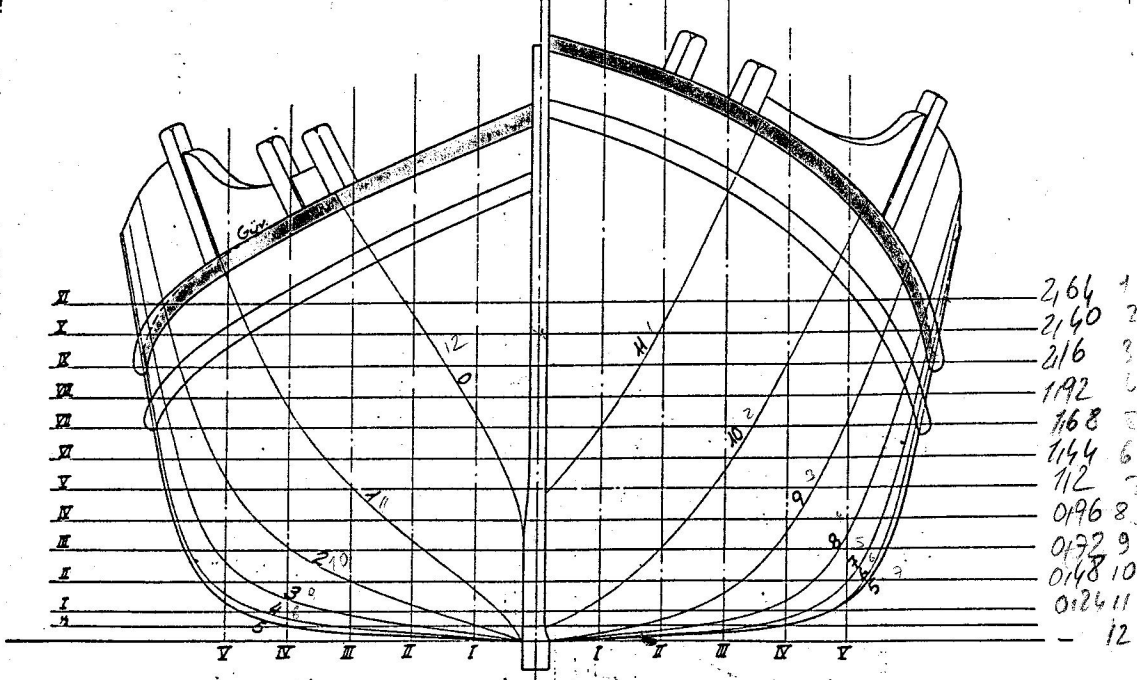
CEKTİRME
SERVET

Fig. 8 — The body plan of small size Çektirme
The stations are 1.60 m. apart
The waterlines are 0.24 m. apart
The spacing of Vertical lines 0.5 m.

MODEL No. 37

SHEER DRAUGHT

Bartın (Çekirme)

Spacing of stations 2,04 m.
Height between W.L.S. 0,34 m.
Distance of stations 2,04 m.

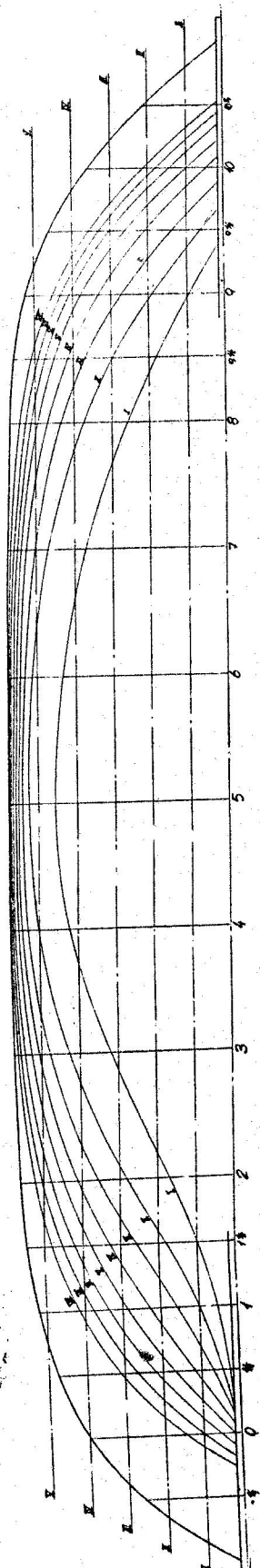
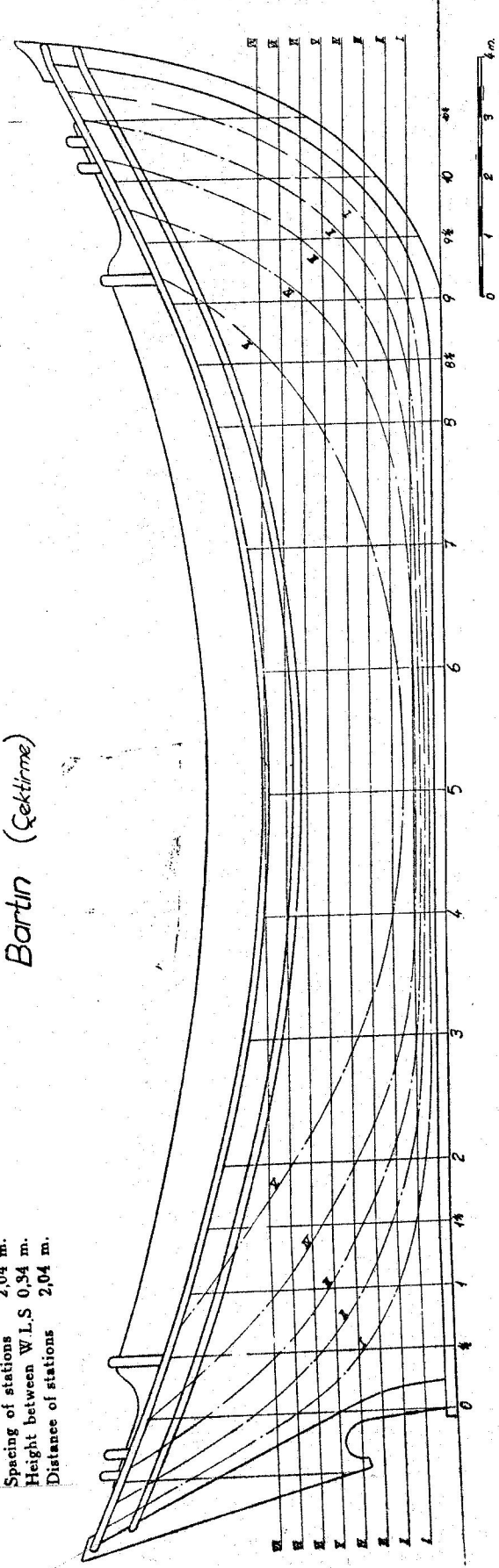


Fig. 9 — Sheer draught of Çekirme •Bartın•.

CEKTİRME
•BARTIN•

BODY PLAN
MODEL No. 37

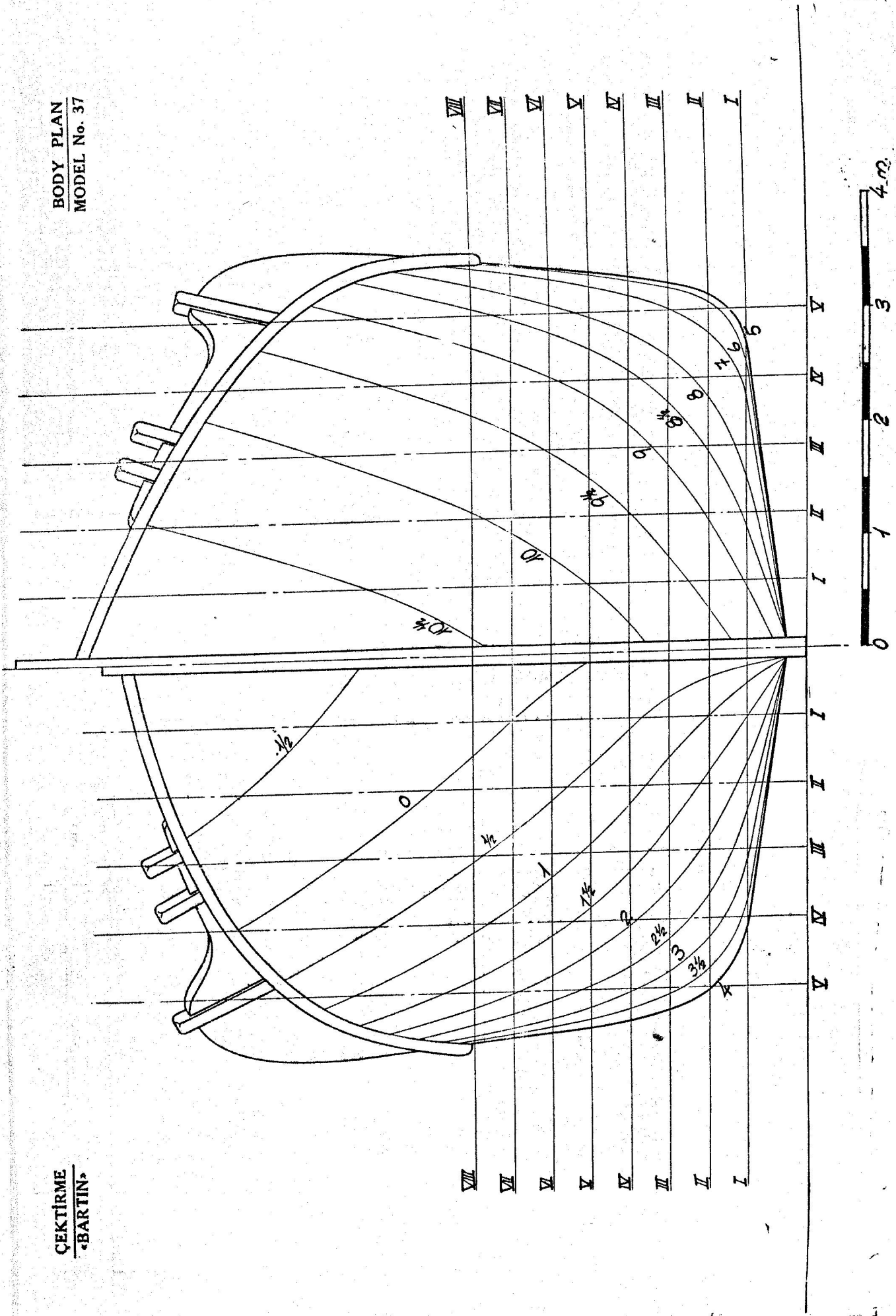


Fig. 10 — Body plan of Çekirmen "Bartın".

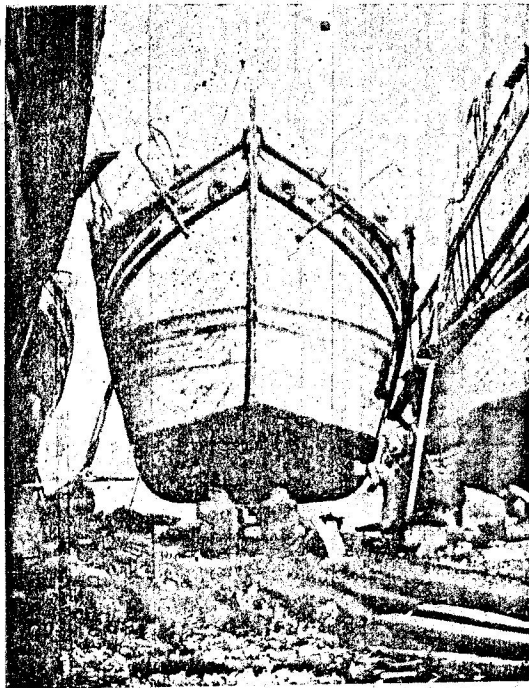


Fig. 11a — Çektirme «SERVET» on vays, the picture shows the shape of mid section



Fig. 11b — A view from a primitive slipway in Golden Horn, where (Çektirme) are hauled for rapairs and overhaul.

ORTA KESİT

ÇEKTİRME "BARTIN" KONSTRUKSION DETAYLARI VE SCANTLING'LER

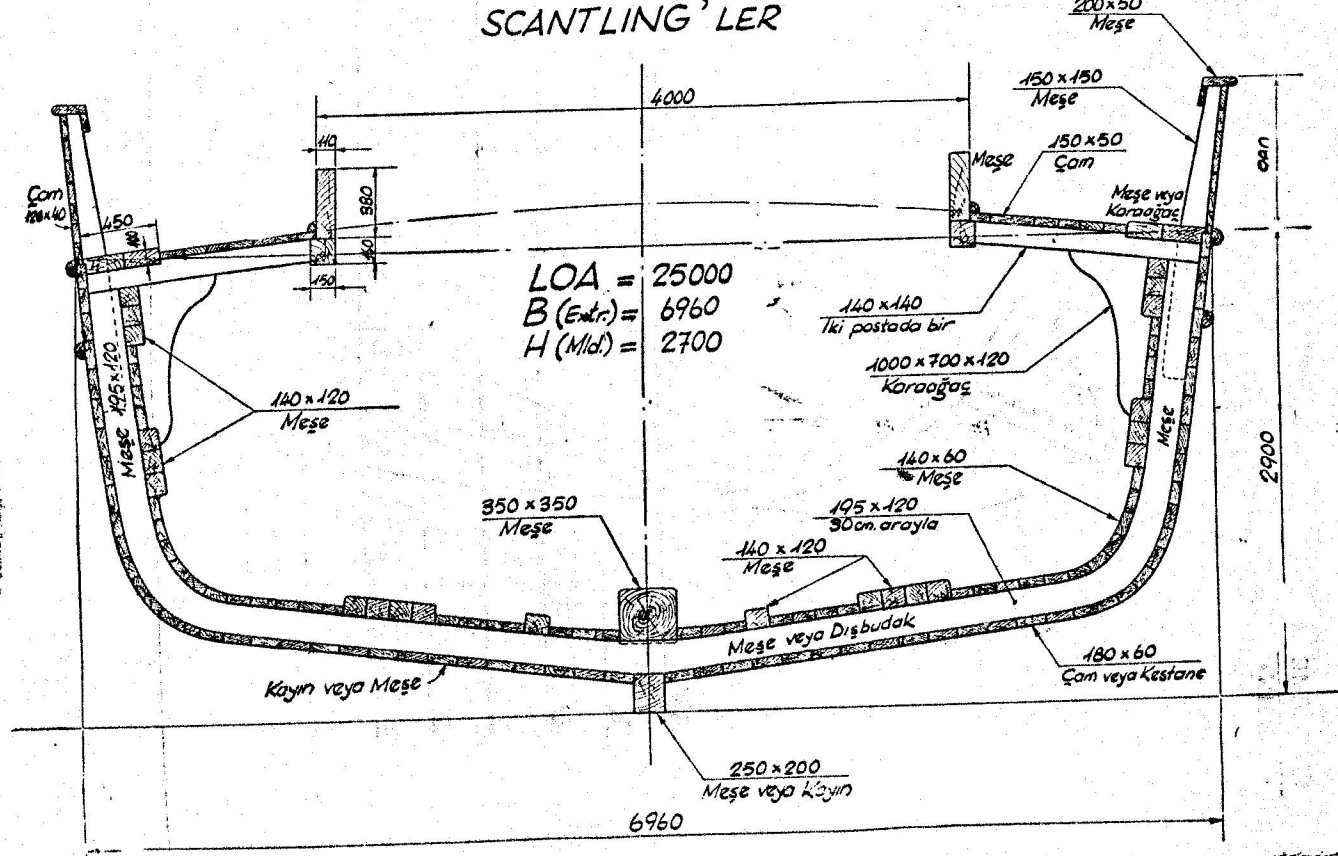


Fig. 12 — The construction detail and Scantlings of Çektirme «Bartın».

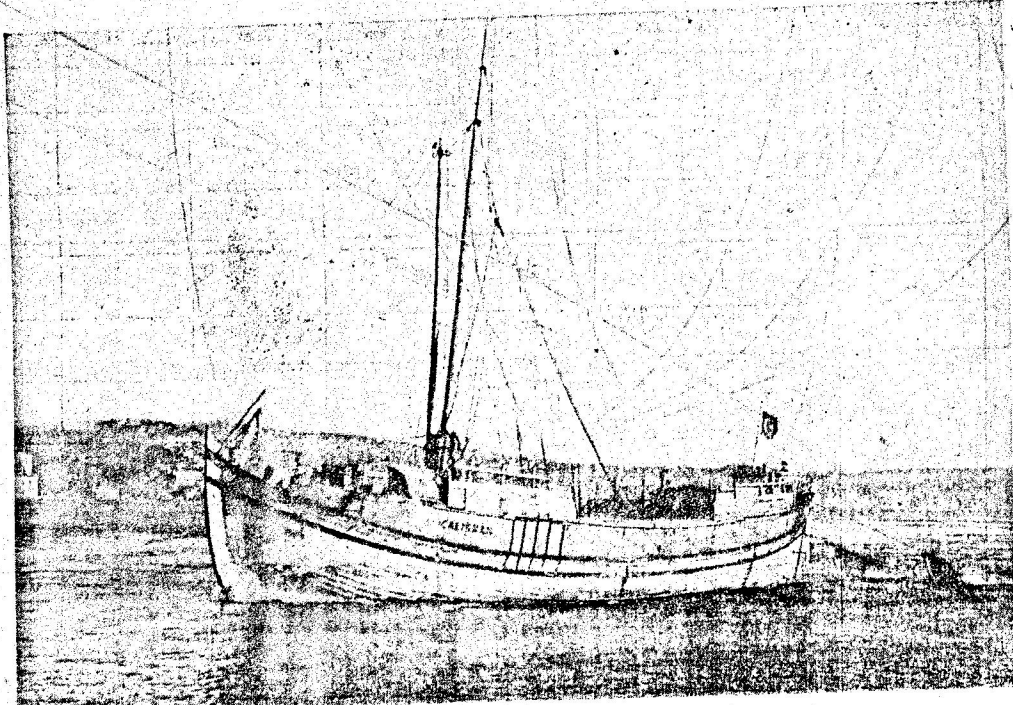


Fig. 12 — Çekirme «Çalışkan» of 180 tons D.W. at Cruising speed in light Condition.

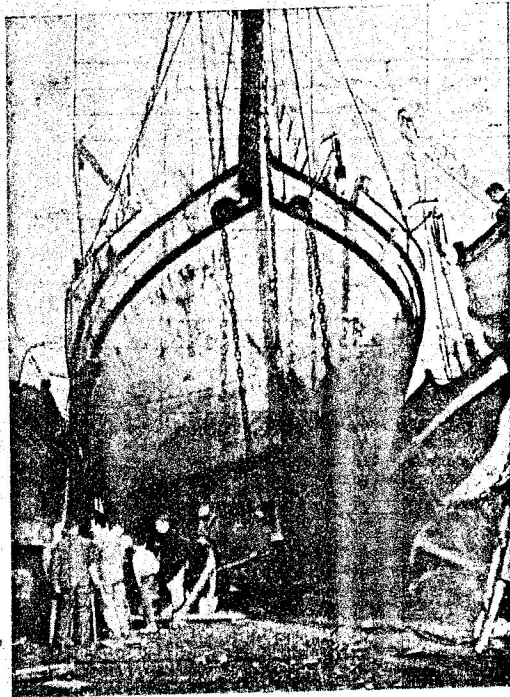


Fig. 13a— Çekirme «Yıldırım» of 250 t. D.W. on slips for annual overhauls.

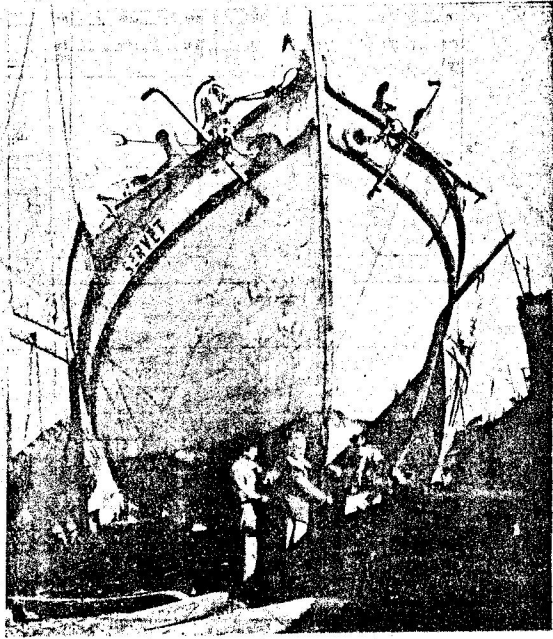


Fig. 13b— The bow view of Çekirme «Servet» Blunt fore-body, high sheer.

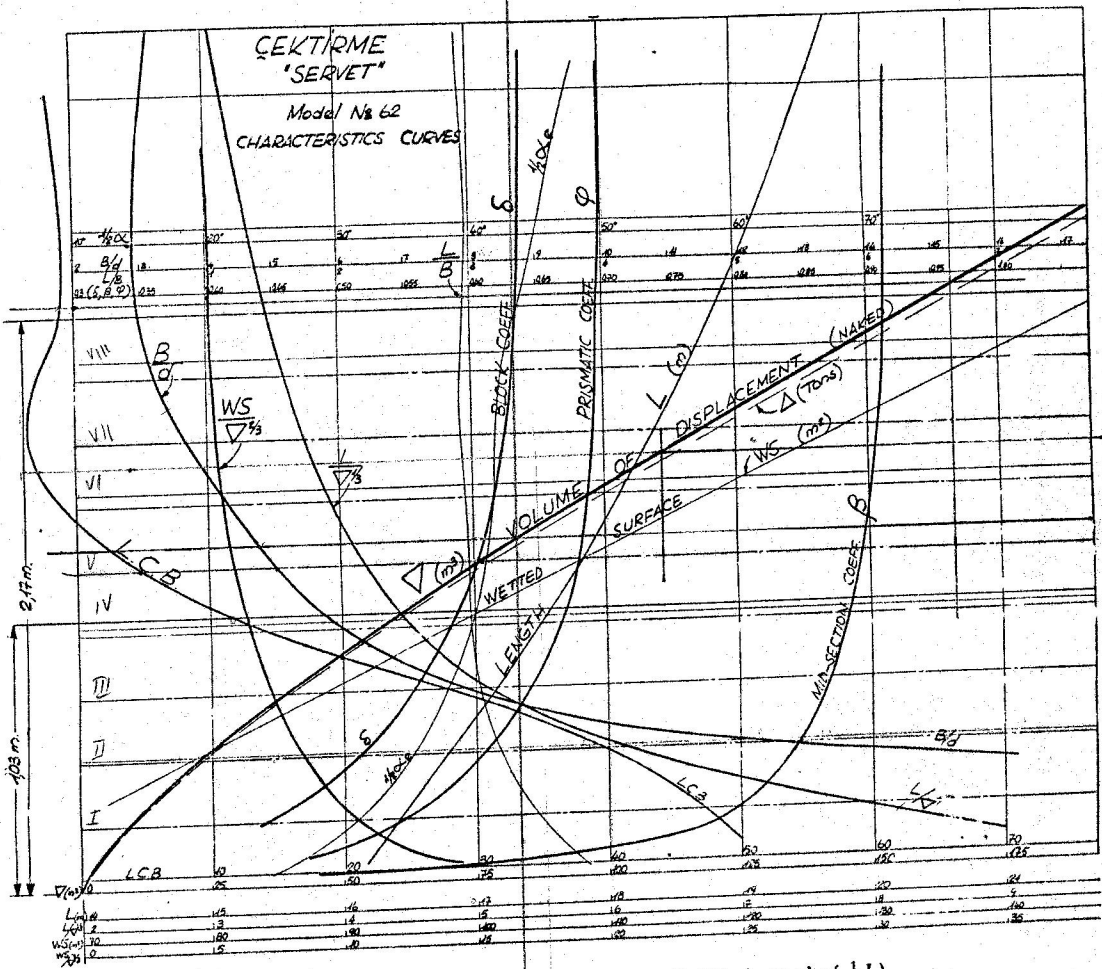


Fig. 14 — Hydrostatics — Çektirme «Servet» (L.C.B. forward of $\frac{1}{2} L$)

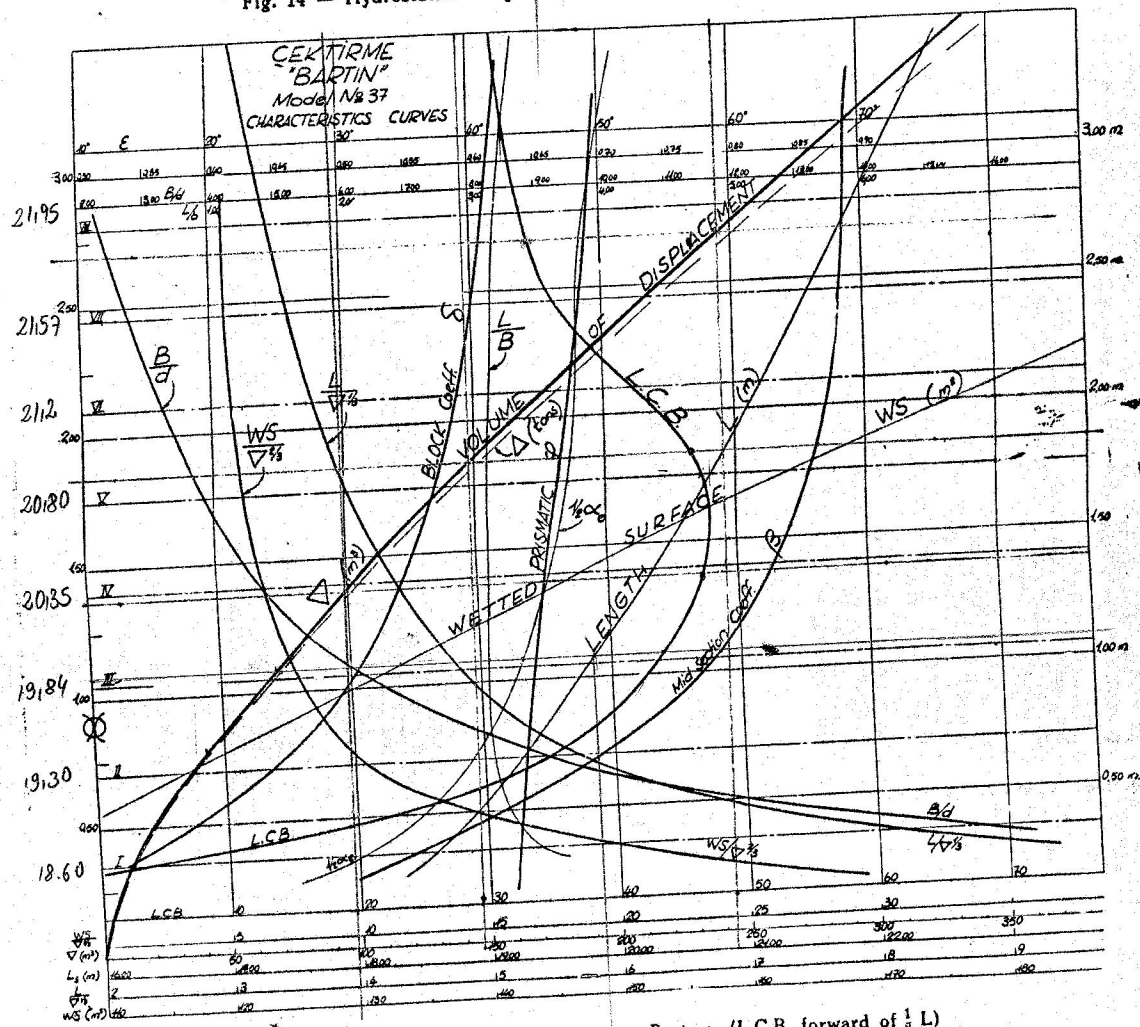


Fig. 15 — Hydrostatics — Çektirme «Bartın» (L.C.B. forward of $\frac{1}{2} L$)

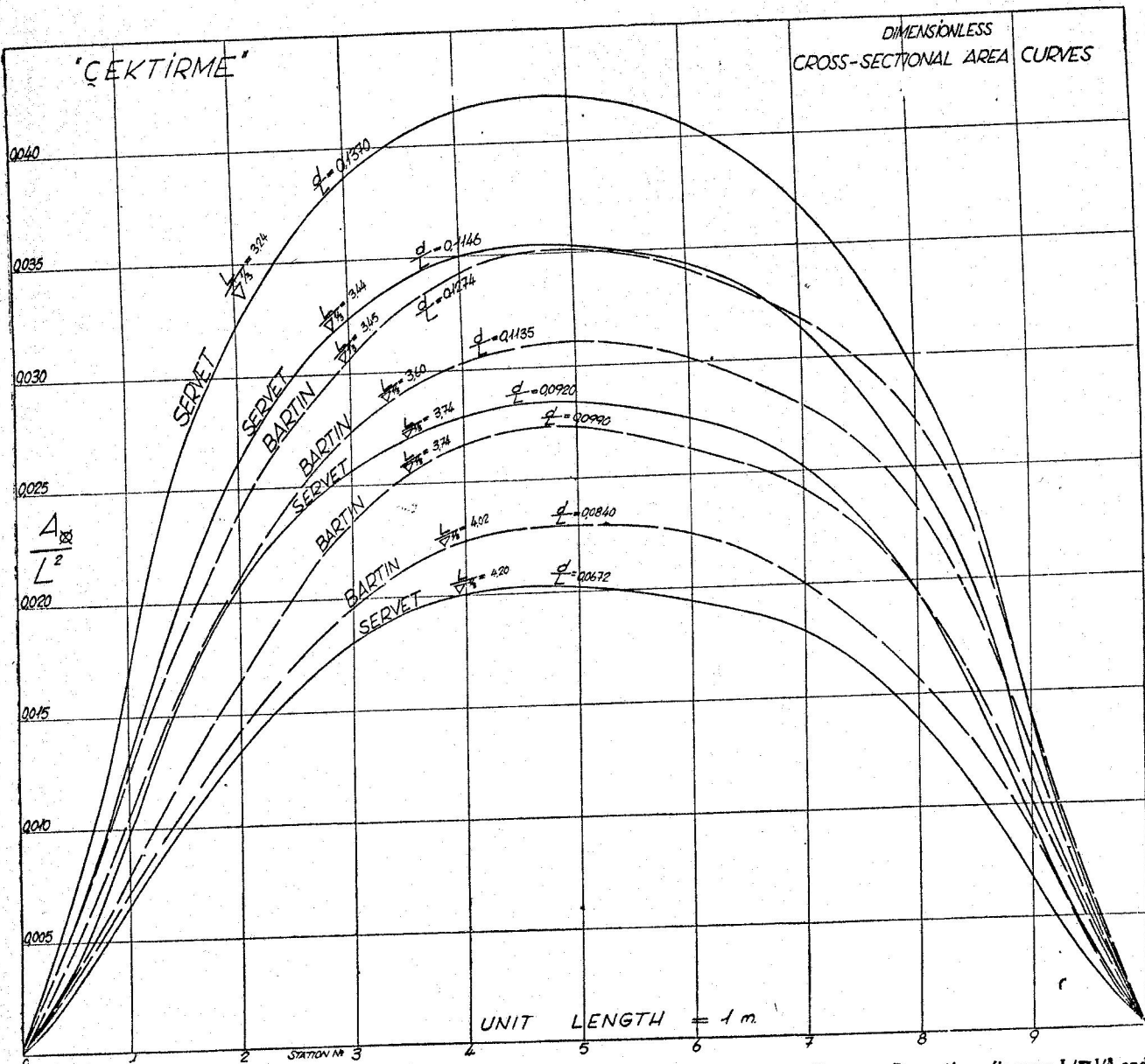


Fig. 16 — Nondimensional presentation of Cross sectional area Curves of two Çektirme type Coasters. Respective fineness $L/V^{1/3}$ and draft/Length Corresponding to same are as indicated on the curves

Yukarda (Şekil 16) da Servet ve Bartın Çektirmelerinin en kesitleri eğrileri 1 metrelük eşit boy üzerine boyutsuz A/L^2 ordinatları şeklinde çizilerek takdim edilmiştir. Bu prezantasyon ile eşit boy/çap narinliğinin ($L/V^{1/3}$) ve formların muğayeseleri sağlanmaktadır. Üst su hatlarında Bartın'ın baş gövdesi Servetinkinden daha dolgun olmakla beraber kış gövdelerinde daha narindir. Servetin alt su hatlarında bir baş omuzluğu ve keza $d/L = 0.092$ de 2 numaralı kesitte de bir kış omuzluğu göze çarpmaktadır. Diğer form karakteristikleri ve katsayıları (Cetvel II, III) de ve (Şekil 14, 15) deki hidrostatik tablosunda görülmektedir.

(Şekil 7 ile 10) da verilmiş olan heriki çektirmeye ait form planları mukayese edildikte, Bartın Çektirmesinin sintine dönümünün Servetinkinden daha keskin olduğu ve sintine kalkının yüksekliği göze çarpmaktadır. Baş kesitlere doğru gidildikçe bu kalkının Bartında artışı görülüyor. Bartının kış kesitleri Servetinkine nazaran daha düz ve dik, buna mukabil Servetin kış postalarının yuvarlak formu olduğu kıyaslanabilmektedir. Bu husus kış (Buttock) lardan da görülebilmektedir.

Su hatları mukayesesiinde Bartın'ın su hatlarının Boy/genişlik oranının Servetinkinden daha narin olduğu görülmüştür. Bartın'ın baş su hatları daha keskin omuzlıklar göstermekte ise de baş dikey kesitler (Bowlines) diğerinden daha narin ve tatlıdır.

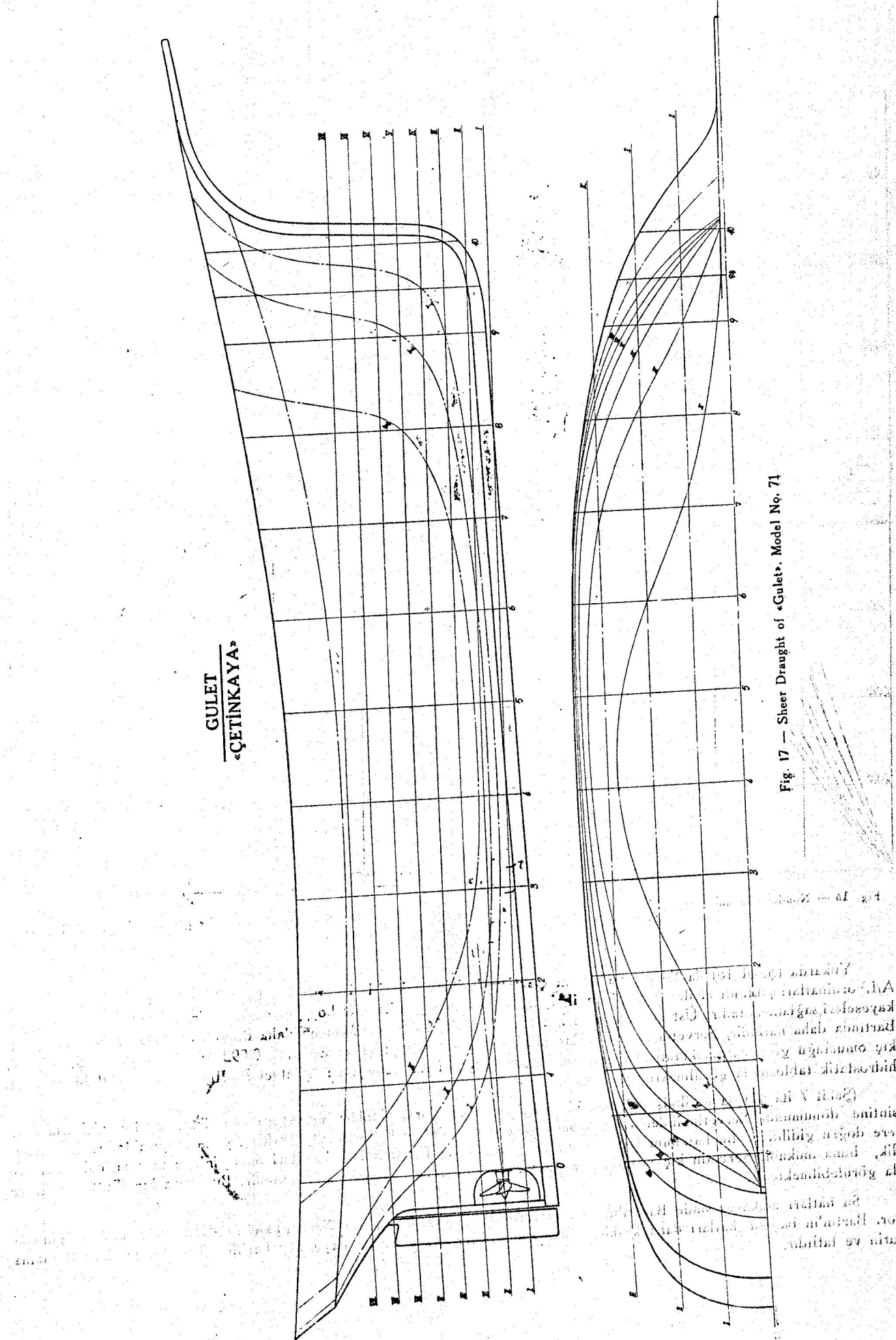


Fig. 17—Sheer Draught of «Gulet». Model No. 71

MODEL No. 71

Stations 2.08 m. apart
Waterlines 0.50 m.
Verticals 1.00 m.

GULET
«ÇETINKAYA»

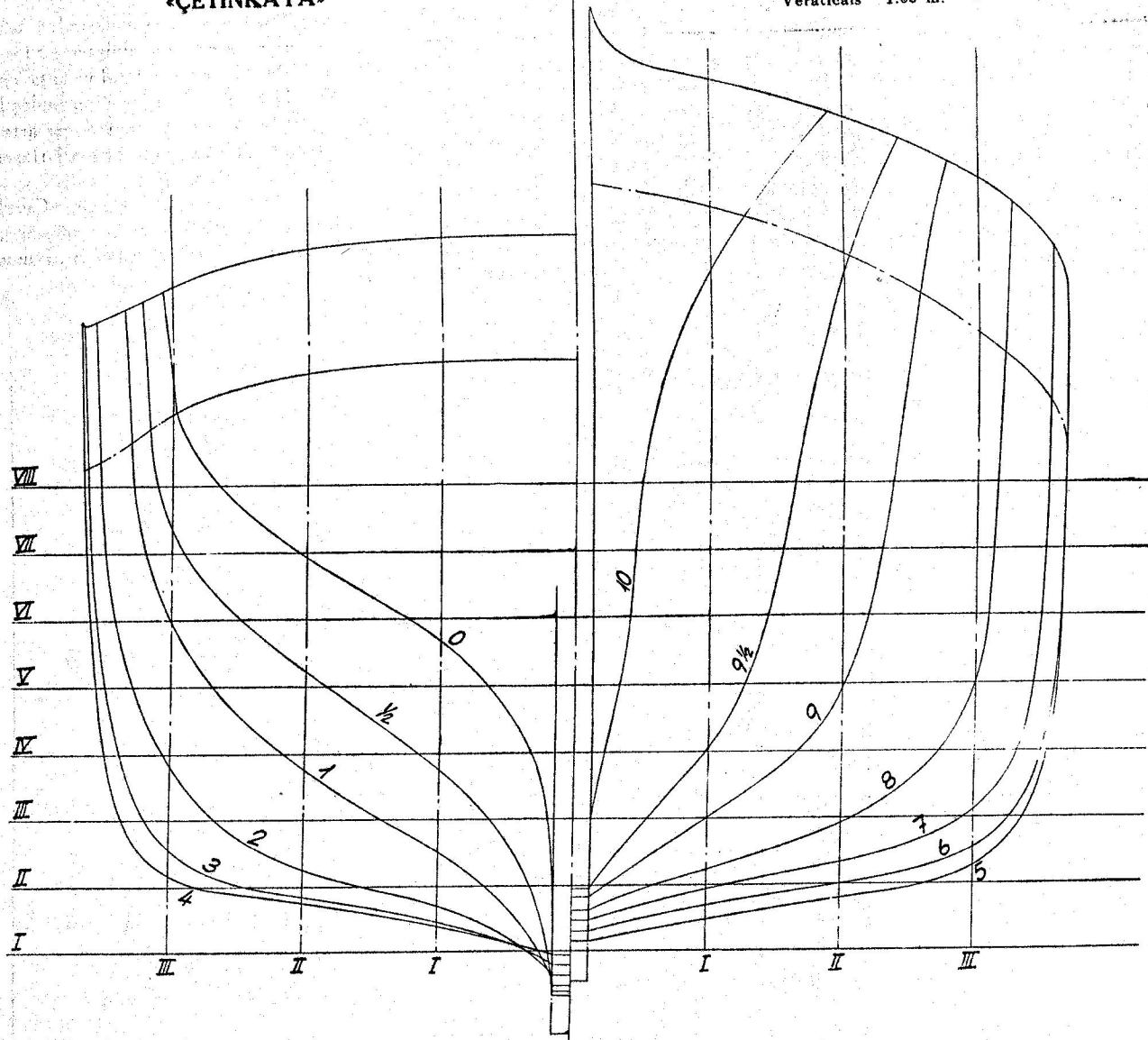
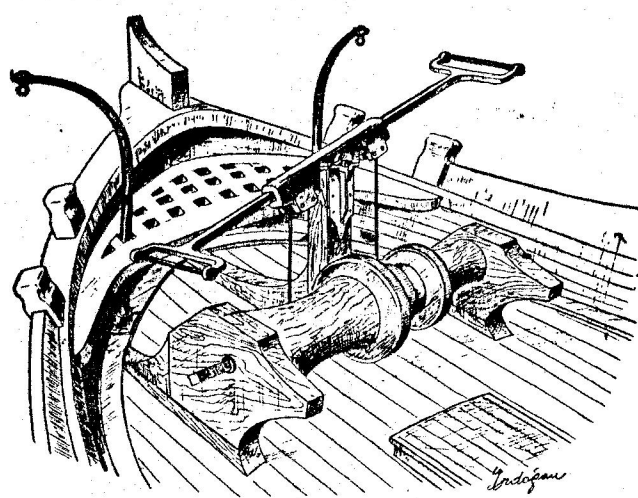


Fig. 18 — Gulet, a modified, shortened version of Mediterranean «Barc»

Cetvel IV

GULET ÇETINKAYA

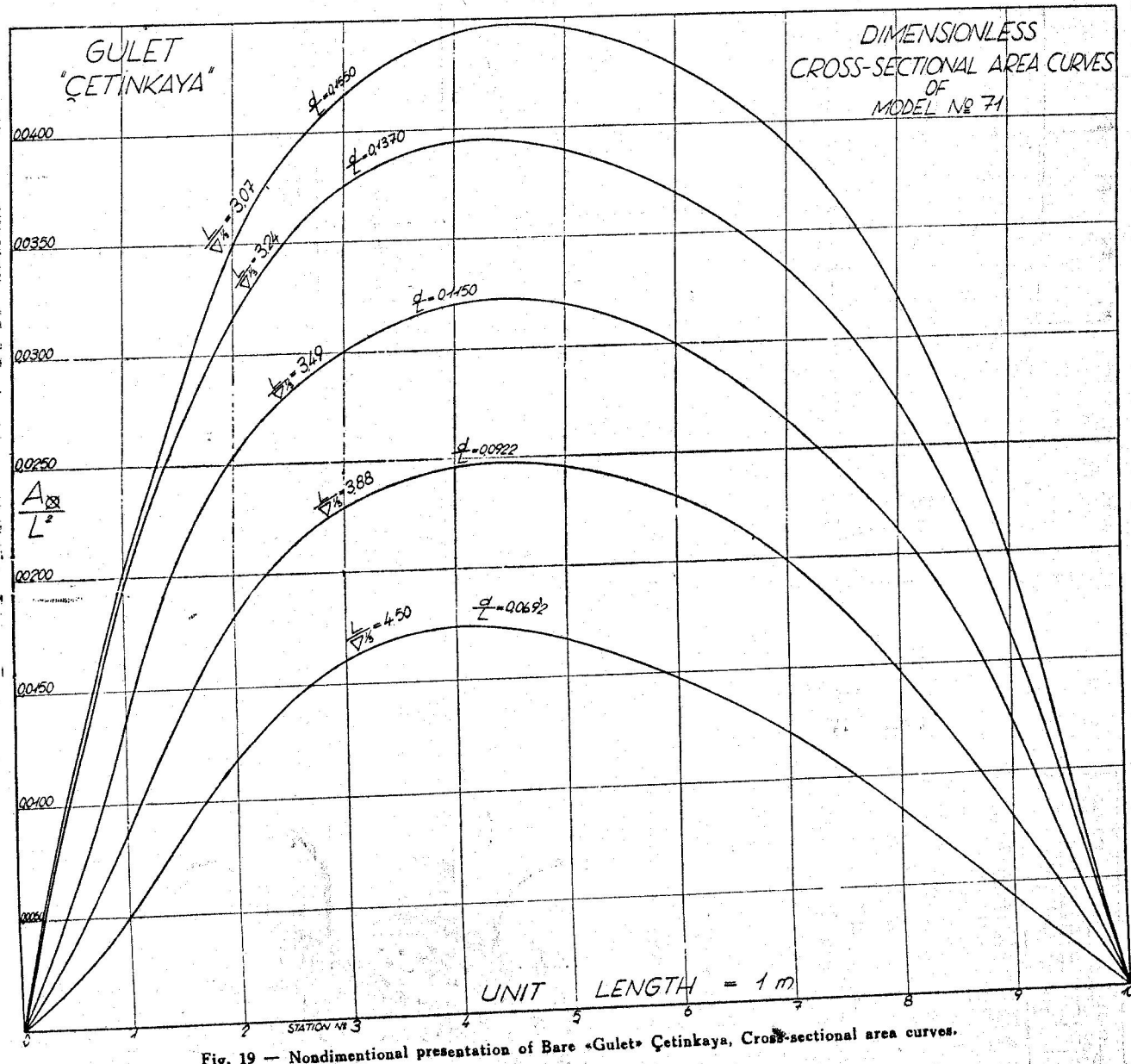
WL №	II	III	IV	V	VI	VII	VIII
LWL m.	19.70	20.86	21.67	21.70	21.73	21.90	22.48
B (WL) m.	5.24	6.70	7.06	7.20	7.26	7.30	7.32
d (Md) m.	0.50	1.00	1.50	2.00	2.50	3.00	3.50
d (Keel) m.	0.80	1.30	1.80	2.30	2.80	3.30	3.80
Δ tons	1235	54.8	112	175	241	310	390
WS m²	84.5	112	140	167.5	195	223	251
xA m²	1.12	4.208	7.66	11.36	14.8	18.48	22.08
L/B	3.76	3.11	3.07	3.01	3.00	3.00	3.07
B/d	10.48	6.70	4.71	3.60	2.90	2.43	2.10
L/Δ¹/₃	8.53	5.50	4.50	3.88	3.49	3.24	3.075
Δ/(L₀d)³	45.70	171	311	486	662	834	975
δ	0.24	0.392	0.490	0.560	0.614	0.646	0.678
β	0.428	0.628	0.723	0.790	0.816	0.844	0.862
φ	0.562	0.625	0.677	0.710	0.750	0.765	0.785
½αe	8°	23°	37°	45°	50°	55°	56°
L.C.B/LWL	0.100	0.0513	0.0313	0.026	0.025	0.025	0.0262
Shoalwater 1/2 d	0.900	0.485	0.330	0.206	0.181	0.151	0.120



Primitive capstans as used on wooden Coasters

GULET :— Aslında Akdeniz yapısı olan Gulet, Fransızların «Goulette» ismini verdikleri, yunan yapıcılardan bize intikal eden «Barco»ların bozulmuş bir kopyasıdır. Boyunun sınırlandırılarak küçültülmesi yüzünden çok dolgun bir form almış ve heriki nihayeti bariz omuzluklarla vasatta nisbeten uzun bir paralel gövdeye birleşmiştir. Kıcı tarafın başa nazaran daha dolgun olduğu (Şekil 19) daki en kesitleri eğrilerinden ve (Şekil 20) deki hidrostatik eğrilerinden anlaşılır maktadır. Alt su hatları bariz iç eğimli eğrilerden teşekkül etmektedir. Baş kesitler, dik bordalı olup başa doğru artan dösek meyli ile keskin bir köşe eğrisi halinde birleşmektedir. Kıcı kesitler V formunu andırmaktadır, omurgaya birleşen noktaları büyük kavisli eğrilerle vaki olmaktadır.

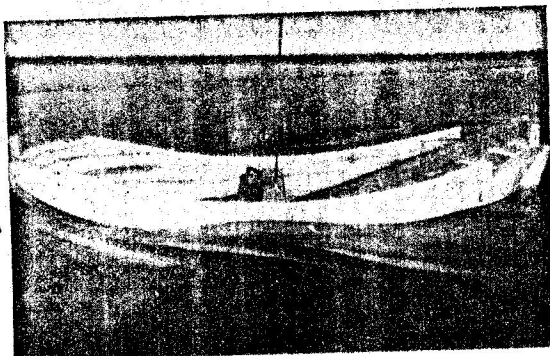
Gulet, kepçe kıçlıdır. Dolgun su hatları yine dolgun ve dik (buttock) larla küt bir form ifade etmektedir. Gerek model deneylerinde ve gerek deniz tecrübelerinde, buradaki akımın süreksızlığı ve dirençteki büyük hissesi müşahede edildiğinden modelin küç. taraflı «Cruiser stern» formuna sıklararak ön hatları kepçeyi geçmemek üzere uzatılmıştır. Bunun getirdiği büyük kazanç deney sonuçlarına ait diyagramlarda açıkça görülmektedir.



MODEL DENEYLERİ

Servet tipi Çekirmenin 1/6 ölçüğünde, Bartın tipinin 1/10 ölçüğünde ve Guletin 1/8 ölçüğünde ağaç modelleri yapılmış model yüzeyleri parlak olarak boyanmıştır. 19^{1/2} sayılı postaya türbülans 20 m/sec. hızda 3 ilâ 6 çeşitli yükleme şartına göre çekilerek dirençleri ölçülmüştür. Sonuçlar Şekil 21, 22 ve Şekil 32 gösterilmiştir. Model sürtünme dirençleri ITTC 1957 hattına göre hesaplaarak direnç eğrilerinin altına çizilmiştir. Bartın M. 37 ye ait yüksek süratte çekilmiş fotoğraf Şekil 20 a da dalga profili görülmektedir. Buna mütenazir süratte ($v/\sqrt{g} \nabla^{1/3} = 0.70$) M. 62 nin dalga profili ise 26 b de görülmektedir. Model 62 Servet'in dalga profili ise 20 b de görülmektedir. Model 62 Servet'in dalga zirve ve çukurlarının daha bariz (yüksek) oluşu diğerinin daha fazla olan direnci ile izah edilebilmektedir.

Model deneylerinden alınan sonuçlara göre Servet çekirmesinin formu tadil ve islah edilerek 1/10 ölçüğünde yeni bir model (M 81) yapılmış olup buna ait neticelerin bir kısmı ilerde verilmektedir.



Şekil 20a — Wave profile at high speed.

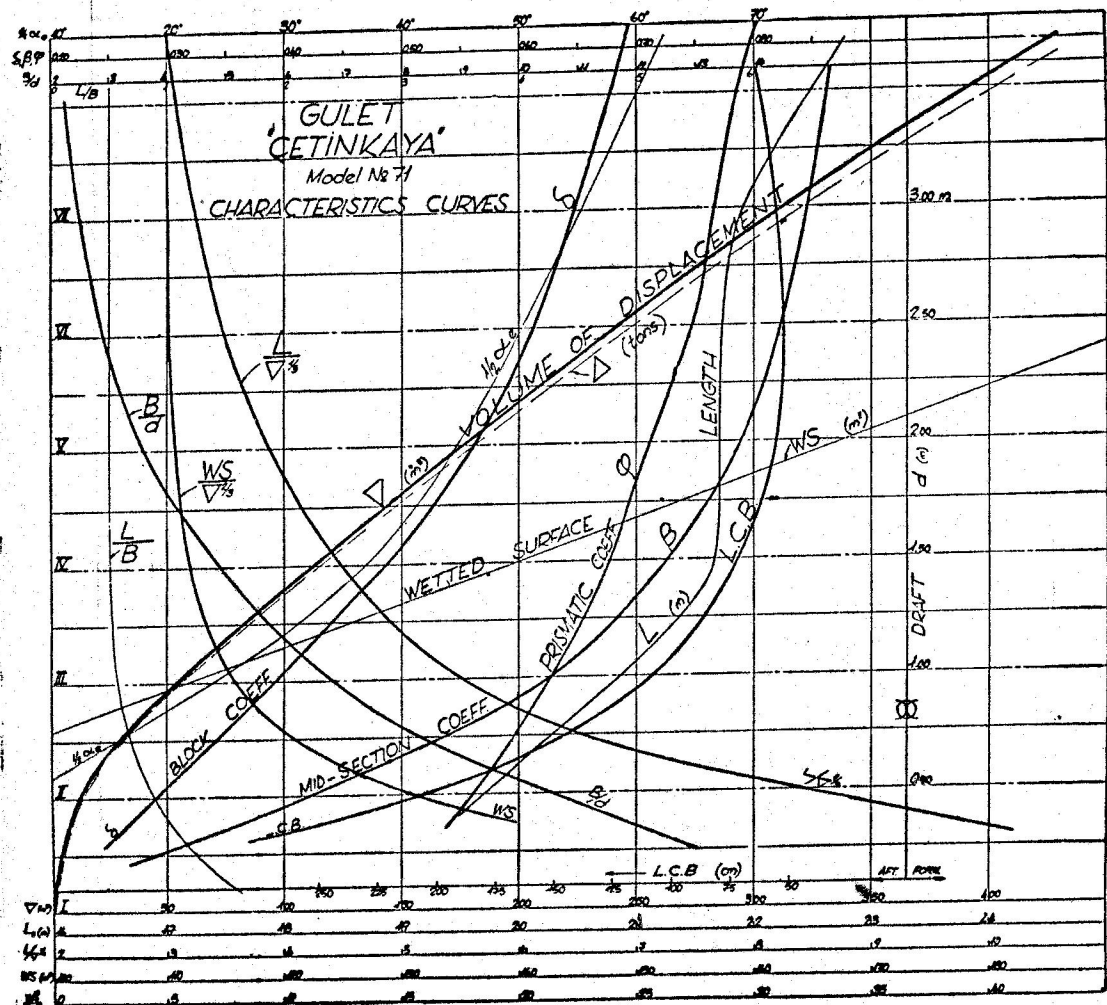


Fig. 21 — Hydrostatic curves of «Gulet»

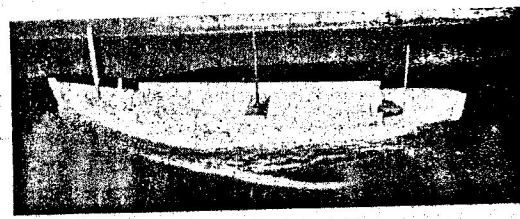
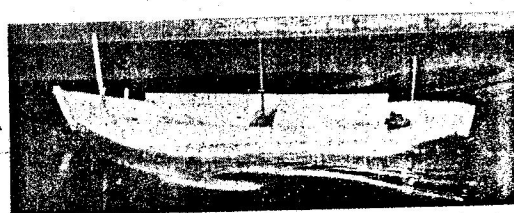


Fig. 20b, 20c. — Wave formation pictures of Çektirme «Servet» (M. 81) at corresponding ship displacements of 135 tons and at speeds of 8 knots and 9.75 knots respectively.

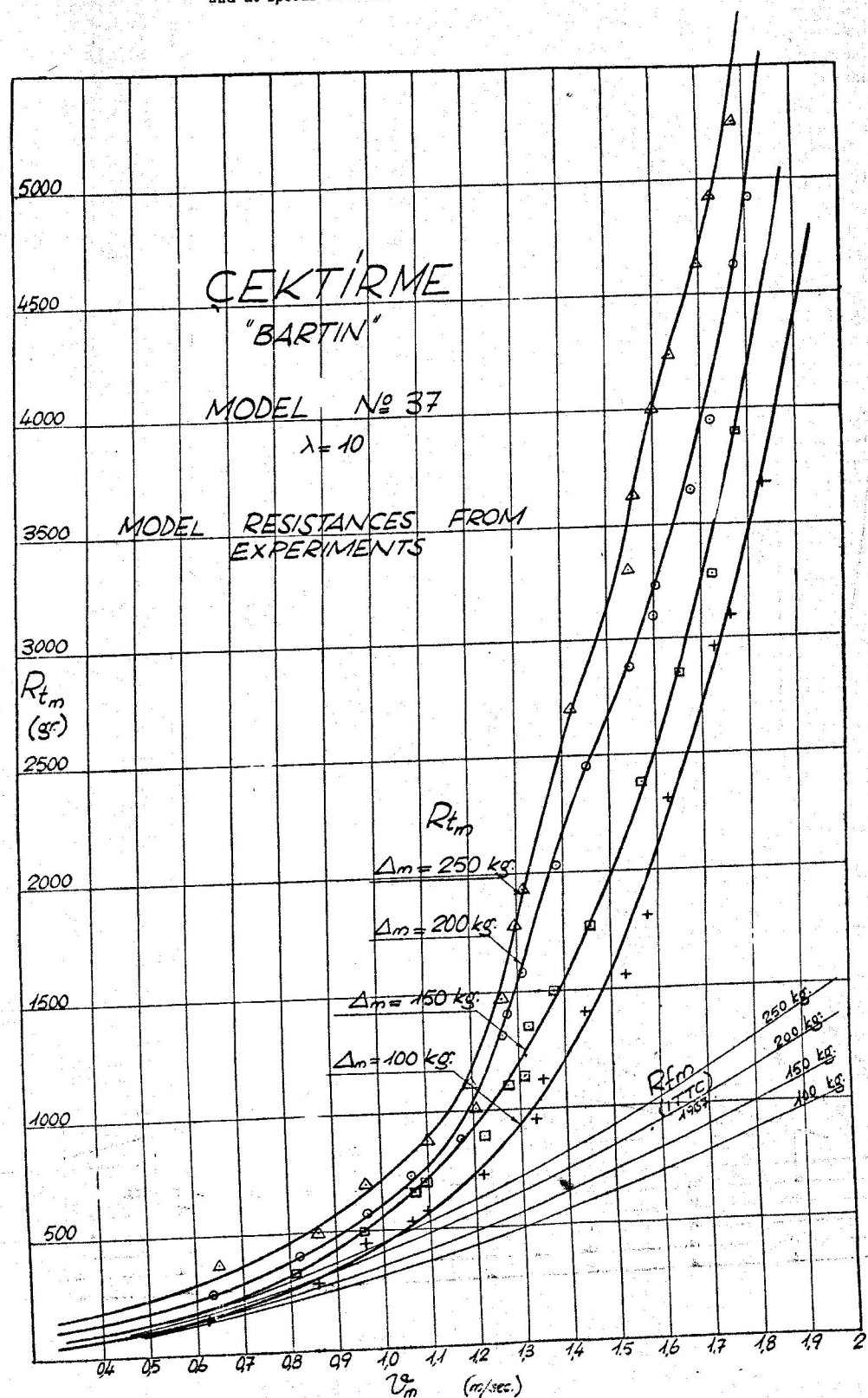
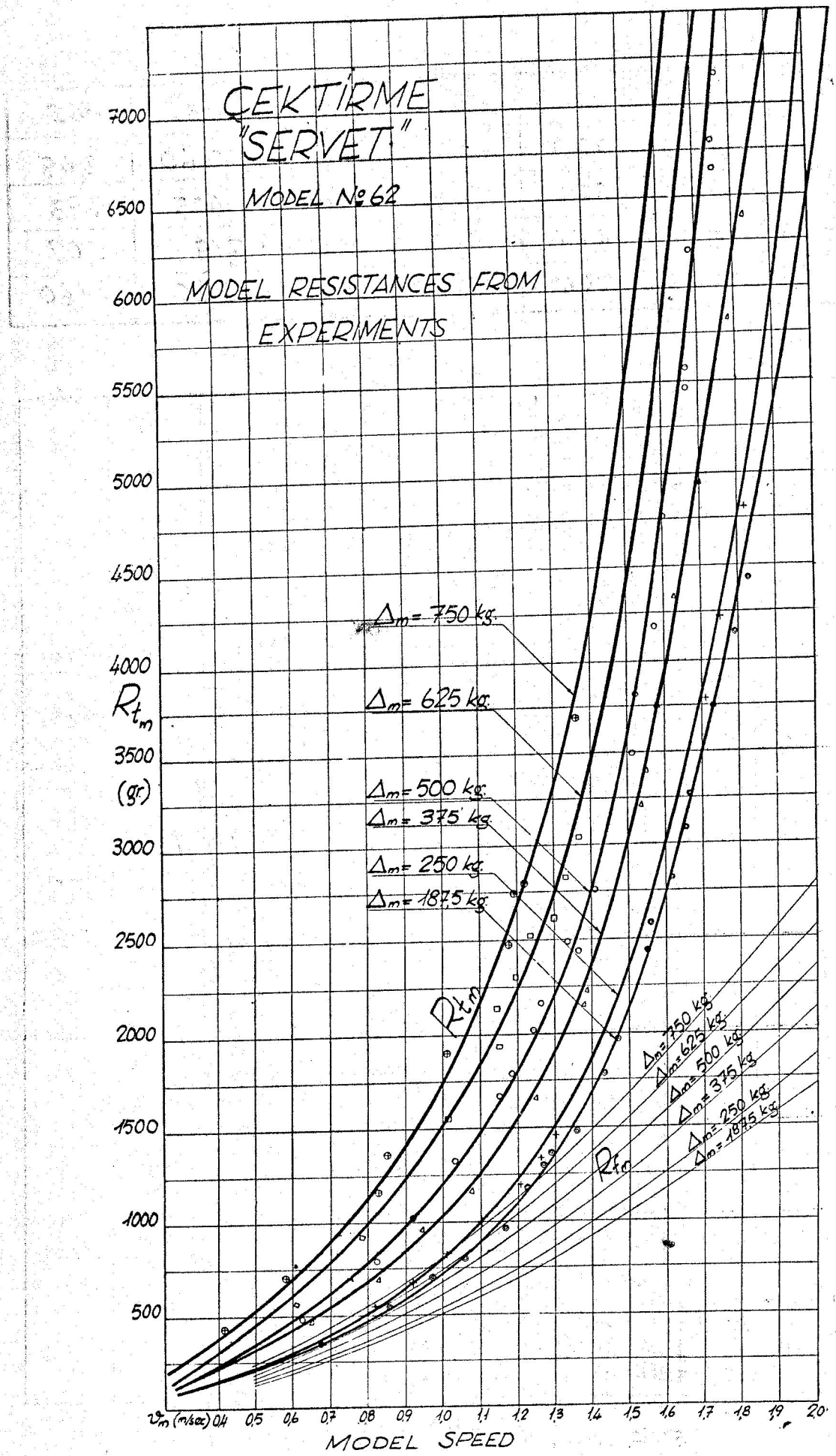
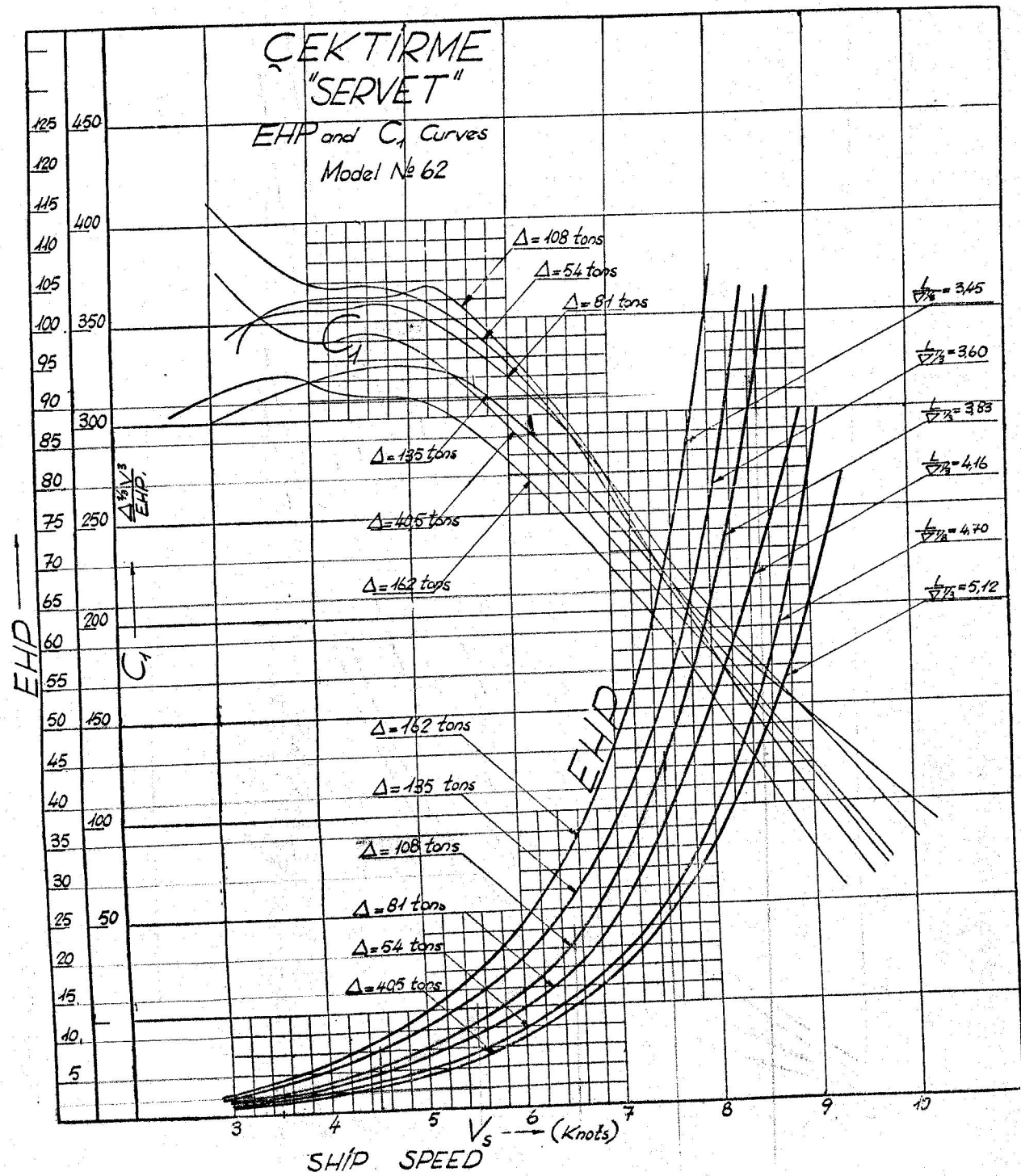


Fig. 22 — Model resistances of Çektirme «Bartın»

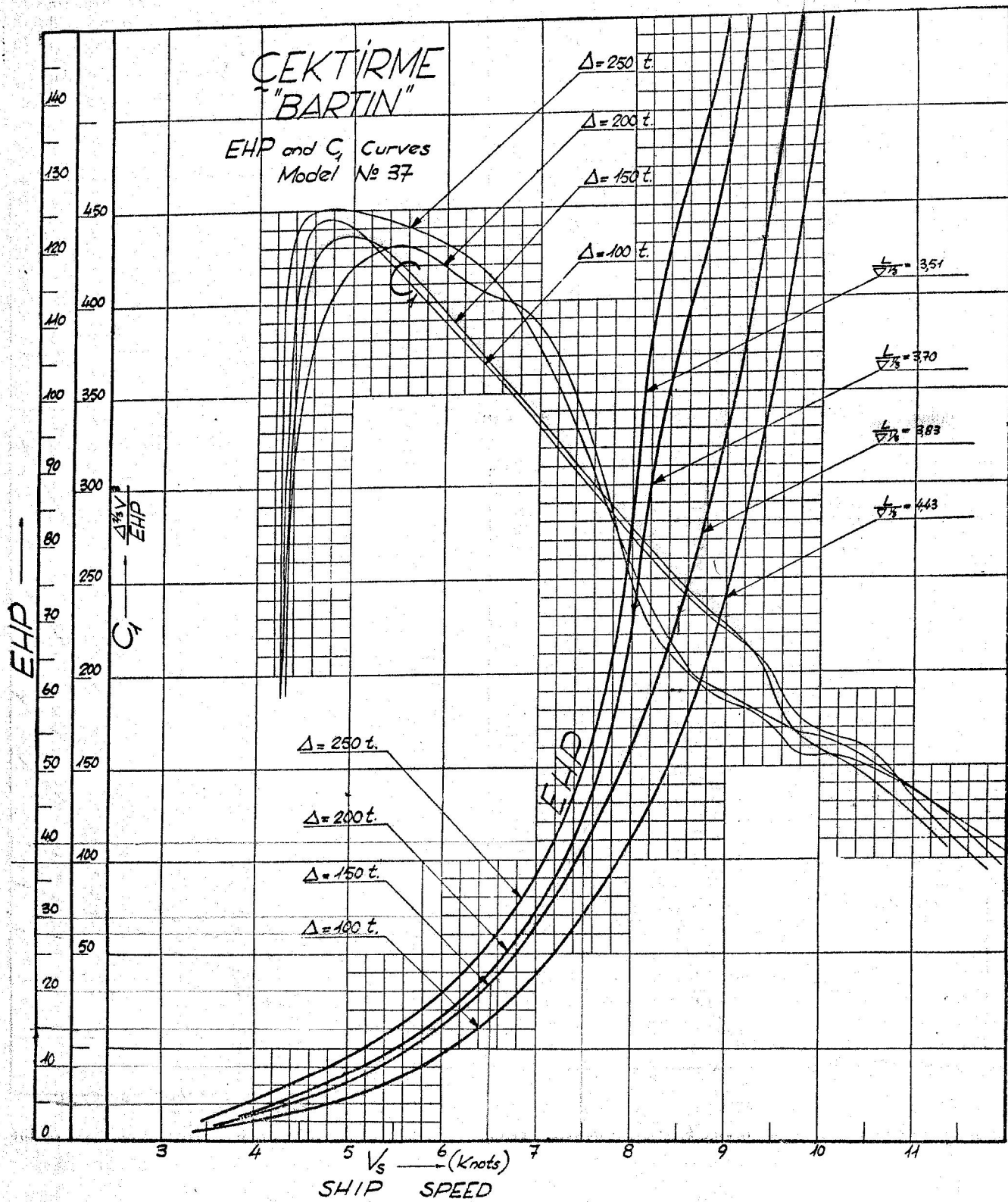


Şekil 23 — «Servet» Çektirme model deney sonuçları

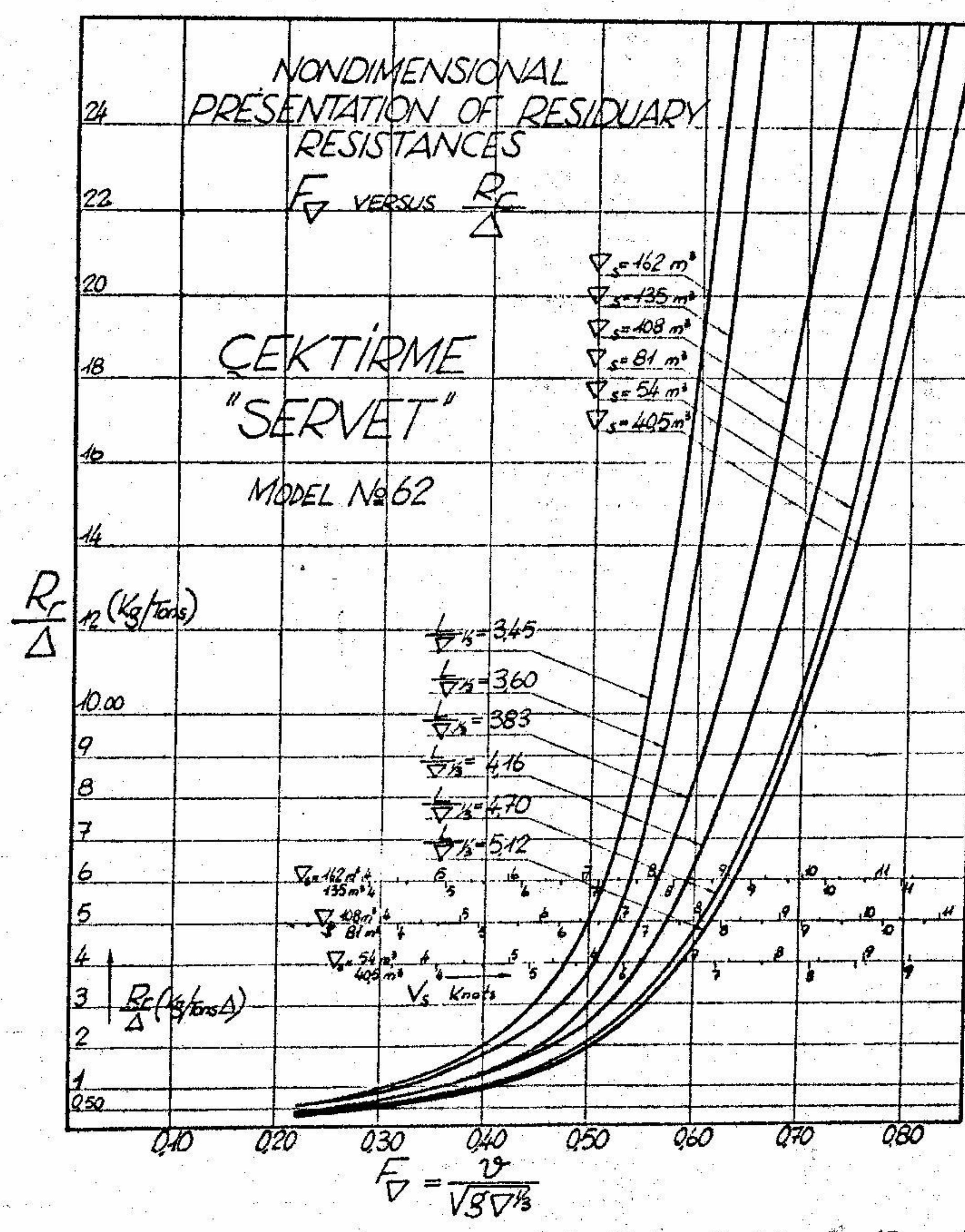
Δ tons	40,5	54	81	108	135	162
$L/\Delta^{1/3}$	5,12	4,70	4,16	3,83	3,60	3,45
$\Delta/(L/100)^3$	210	275	393	505	605	693
$WS/\Delta^{2/3}$	7,57	6,81	5,89	5,42	5,18	5,02
LWL ft.	57,70	58,10	59,00	59,80	6,60	61,60

Fig. 24 — EHP curves and C_1 values of Çektirme «Servet»

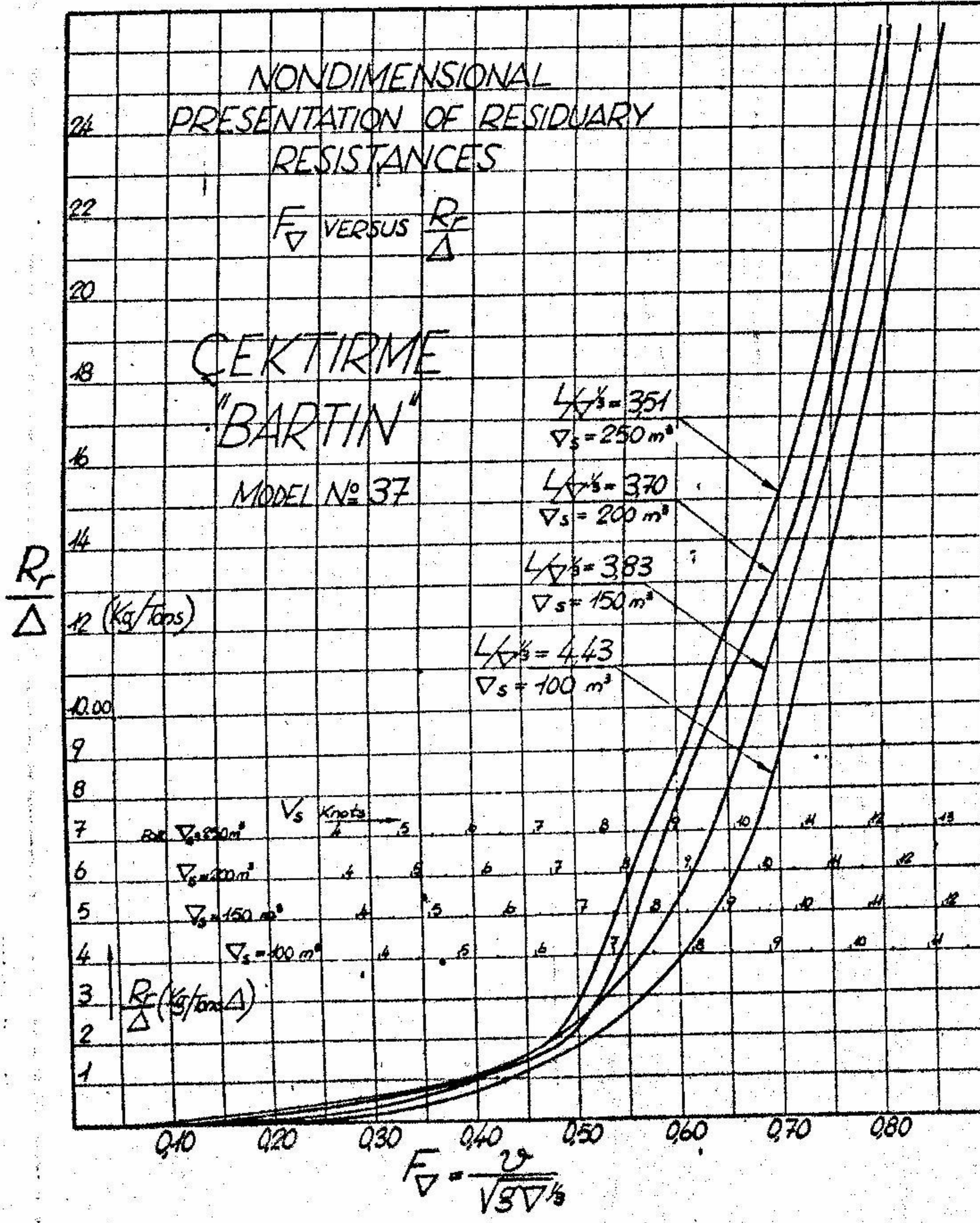
Δ tons	100 t.	150 t.	200 t.	250 t.
$L/\Delta^{1/3}$	4.43	3.83	3.70	3.51
$\Delta/(L/\Delta)^3$	333	463	572	668
$WS/\Delta^{2/3}$	6.80	5.95	5.66	5.44
LWL	66.9	68.6	70.4	72.0



Şekil 25 — EHP curves and C_1 values of Çektirme «Bartın»



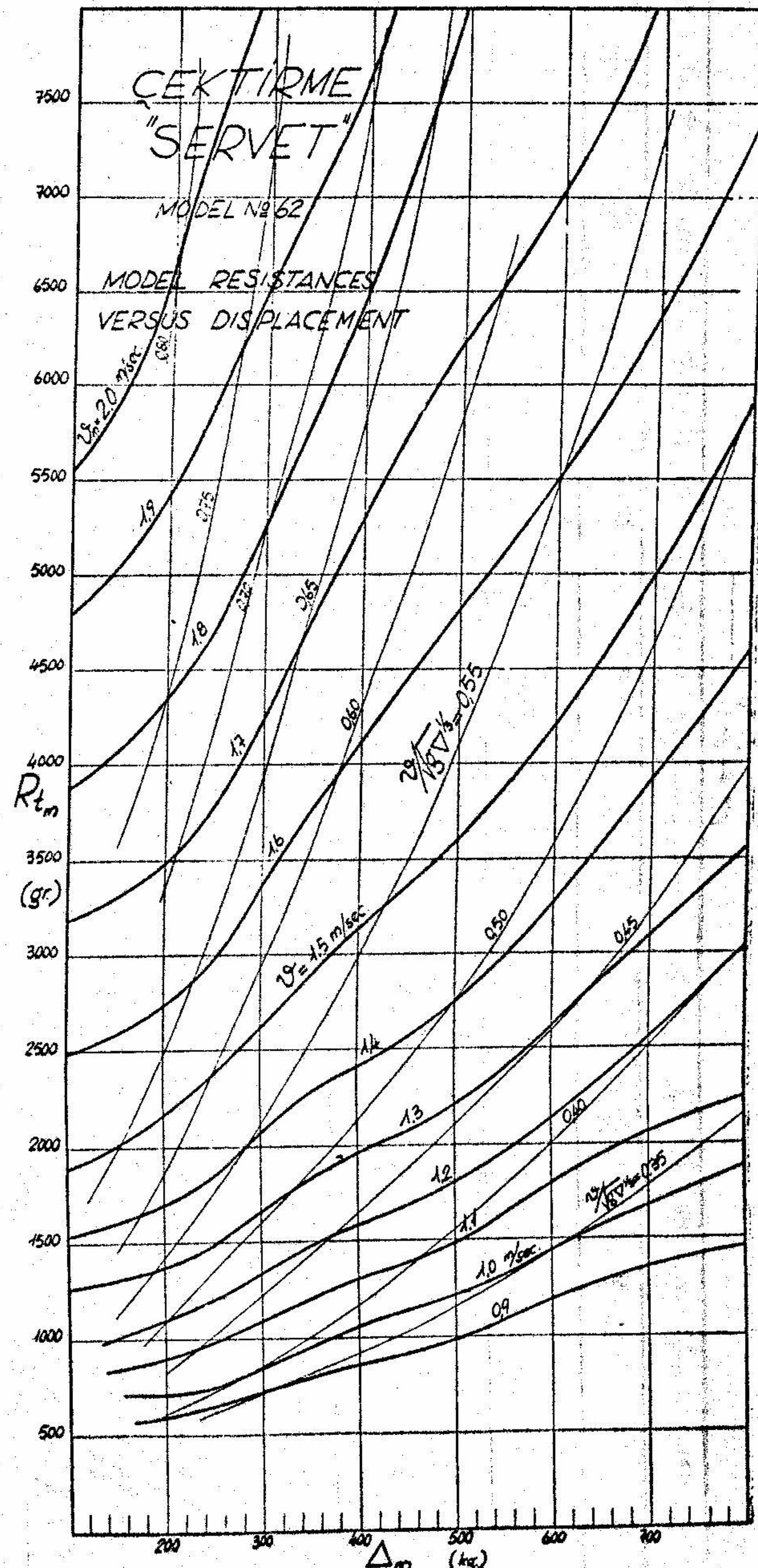
(Fig. 26). Şekil 26 — Birim dalgı direnci. Residuary Resistances (Servet)



(Fig. 27). Şekil 27 — Birim dalgı direnci. Residuary Resistances (Bartın)

Modellerden ölçülen direnç sonuçları şekil 28, 29 deki gibi deplasman üzerine çizilmek suretile gösterilmiştir. $L/\Delta^{1/3}$ değerleri şekil 24, 25 dan alınmak suretile çeşitli F sayılarında model toplam dirençlerinin mukayese yapılabılır.

Modellerin sürtünme dirençlerinin çıkarılması suretile bulunan dalga direncleri, deplasmana orantılı olarak (Rr/Δ) şekil 26 ve şekil 27 de ve çeşitli $L/\Delta^{1/3}$ parametrelerine göre eğriler halinde çizilerek prezante edilmiştir. $F_D = v / \sqrt{g \Delta^{1/3}}$ katsayısi üzerinde boyutsuz olan bu iki diyagram Servet ve Bartın çekirmelerini form direnci bakımından analizine imkân vermektedir.



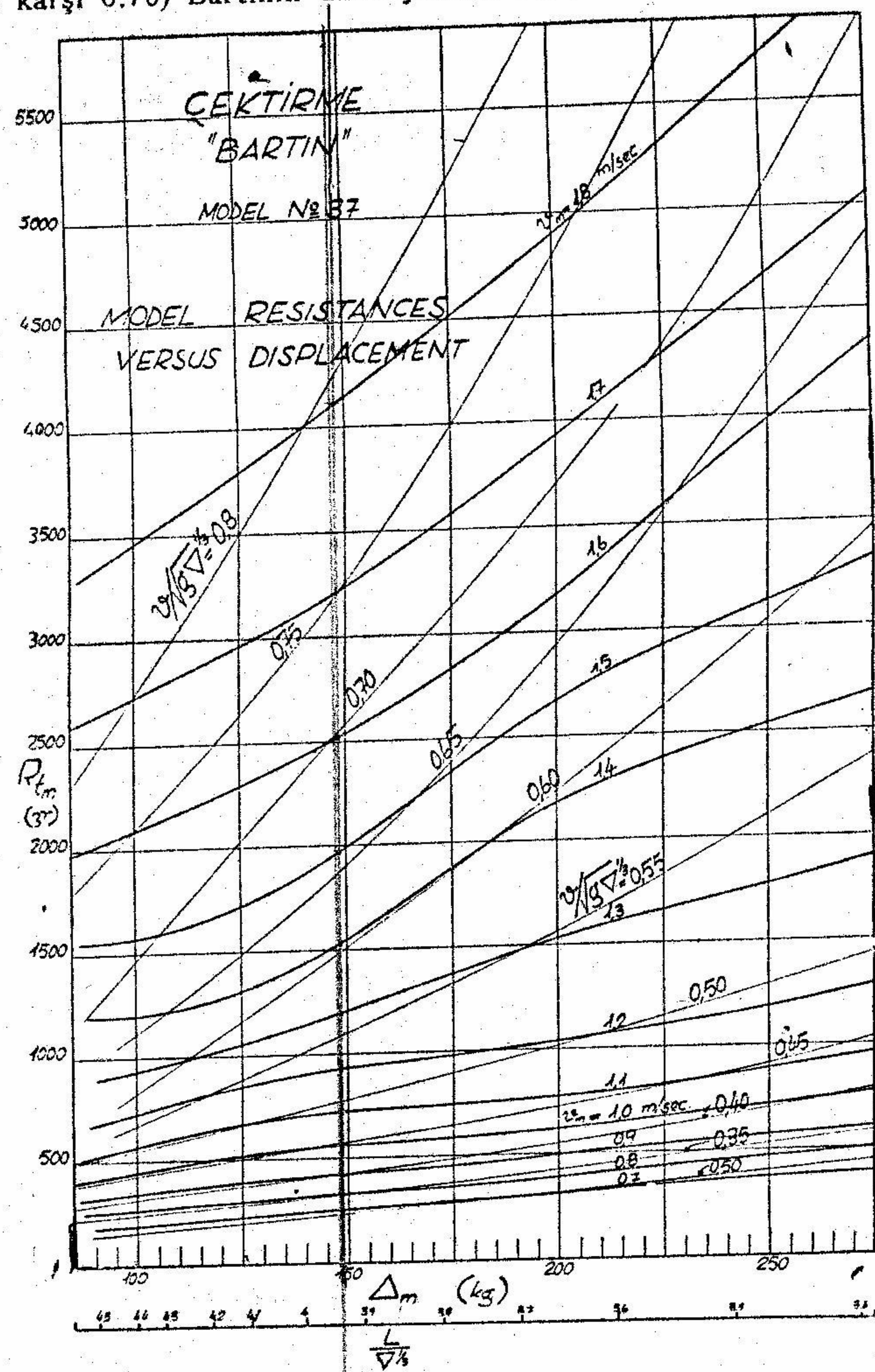
(Fig. 28). Şekil 28 — Çekirme Servet. Model direnç eğrileri

Neticelerin Münakaşası:

Model deneylerinden alınan sonuçlar (Şekil 30 ve 31) de boyutsuz parametrelerle $L/\Delta^{1/3}$ üzerine eğriler halinde çizilerek gösterilmiştir. (Şekil 30) daki birim dalga dirençleri mukayesesinde Bartın üstünlik göstermektedir: $L/\Delta^{1/3} = 4.2$ civarında Servetin, yüksek Froude sayılarında (meselâ 0.65 e karşı 0.70) Bartın'ın daha yüksek süratteki Froude sayısında alınan direncine eşit direnç verdiği görülmektedir. Aynı F_V sayılarında Servet'in Bartın'dan % 40 — % 50 fazla dalga direnci vardır. Hafif su hatlarında bu fark çok büyümekte ve yüklü su hatlarında ise azalarak kaybolmaktadır. (Şekil 31) de sonuçlar C_1 katsayıları bakımından incelenmiş olup, çektirmelerin beygir gücü hesabı için bu diyagram bir kolaylık olarak prezante edilmiştir. Her iki tip çektirmenin EHP eğrileri (şekil 24, 25) de verilmiştir. Servet ve Bartın mevcut çektirmelerin iki ekstremini temsil etmekte olduğundan, çektirmelerin beygir gücü hesabında yakınlık derecelerine göre hesap yoluna gidilebilir. EHP eğrilerinden de görüleceği gibi 8 knot, azami ekonomi sınırını teşkil etmektedir, yüklü halde eğriler dikilmekte ve direnç eğrisinde kanbur tezahür etmektedir. (Şekil 20) deki fotoğrafta görünen dalga profilleri de bunu teyid ediyor.

Şekil 24, 25 deki EHP ve C_1 eğrilerinden görüleceği gibi Servet tipi çektirmelerin ekonomik sevk sınırı $7 - 7\frac{1}{2}$ kn. civarında ve Bartın tipinin ise $7\frac{1}{2} - 8\frac{1}{2}$ kn. civarında olup bunlar da teknelerin çap ve boylarına nazaran yüksek süratleri ($V/\sqrt{L} = 0.90 - 1.05$) ifade etmektedir.

Servet çektirmesinde kritik boy deplasman oranı $L/\Delta^{1/3} = 4.00$ olduğu Şekil 22 deki direnç kanburlarından anlaşılmaktadır. Bu kanburlar Bartın çektirmesinde daha mutedil olup takiben $L/\Delta^{1/3} = 3.7$ civarında ve $F_V = 0.60 - 0.65$ arasında vaki olmakta, bundan sonraki yüklemelerde direnç azalmaktadır. Bartın'ın direnç kanburları (şekil 27) deki R_r/Δ eğrilerinden açıkça belirmektedir. Uygun deplasman sahası (şekil 31) deki C_1 eğrilerinden görüleceği gibi $L/\Delta^{1/3} = 4$ ile 4.75 arasındaki sahadadır.



(Fig. 29), Şekil 29 — Çektirme Bartın model direnç eğrileri

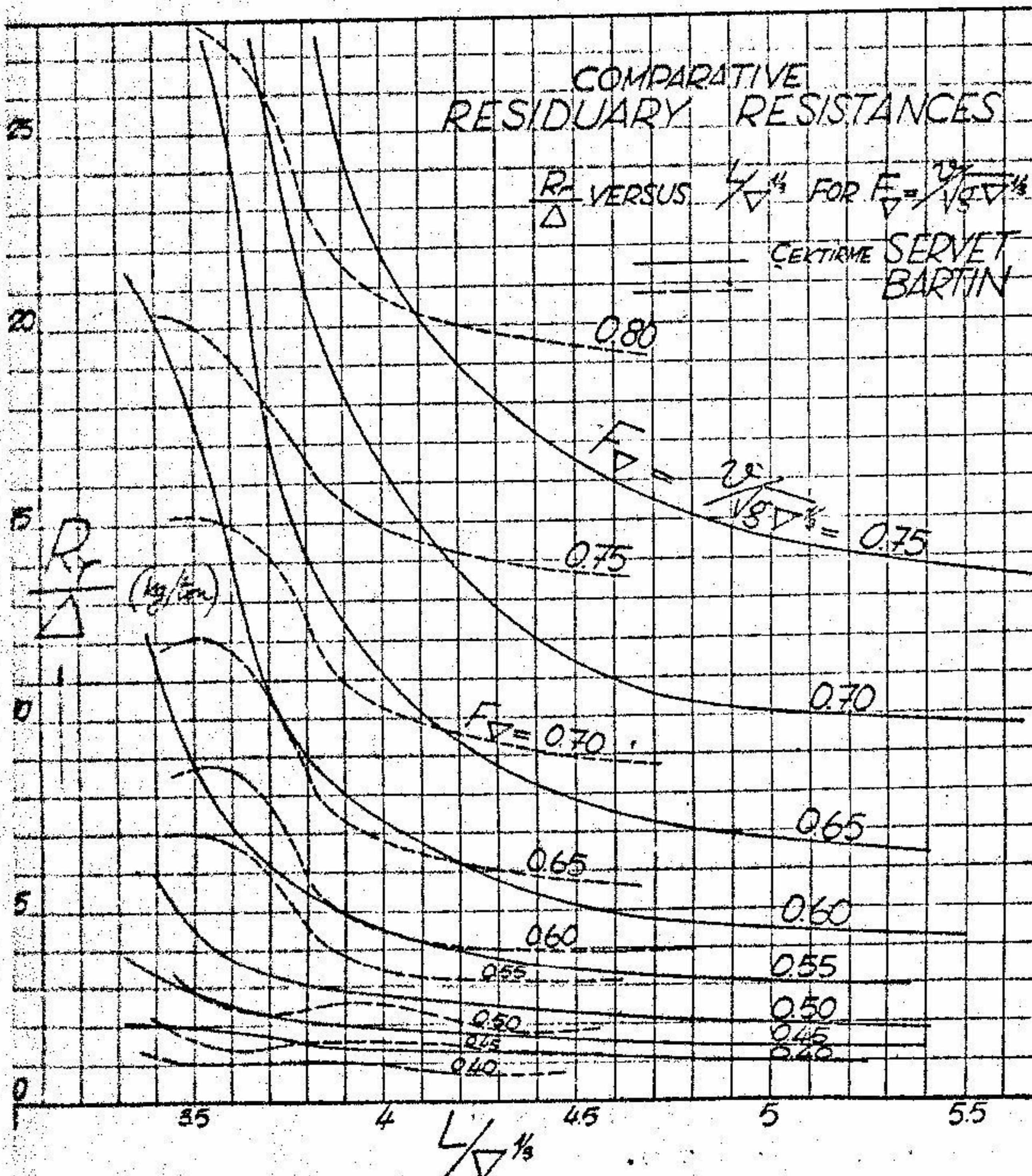


Fig. 30 — Comparative residuary resistances of çekirme's (Servet) and (Bartın) on nondimensional parameters

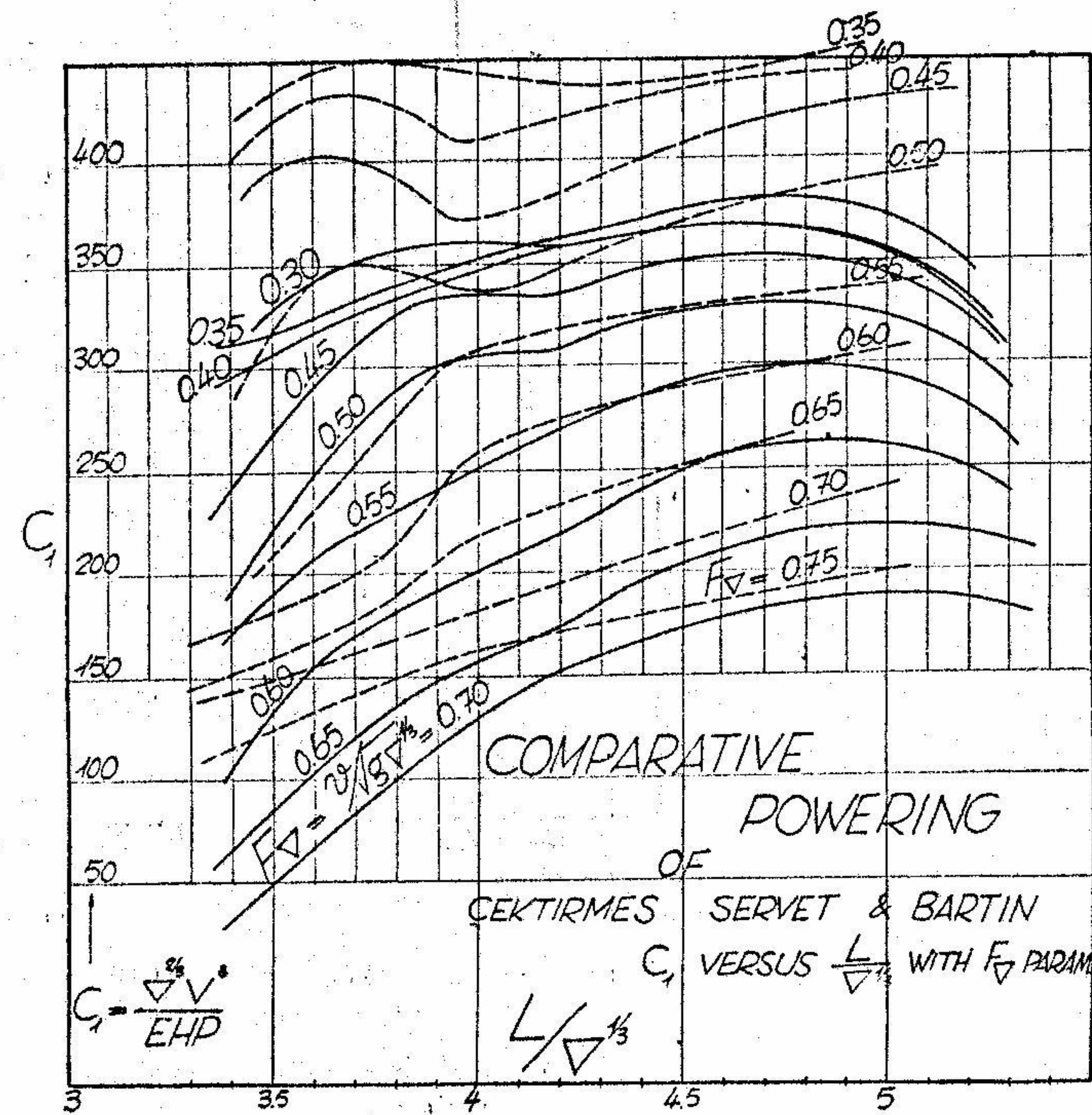
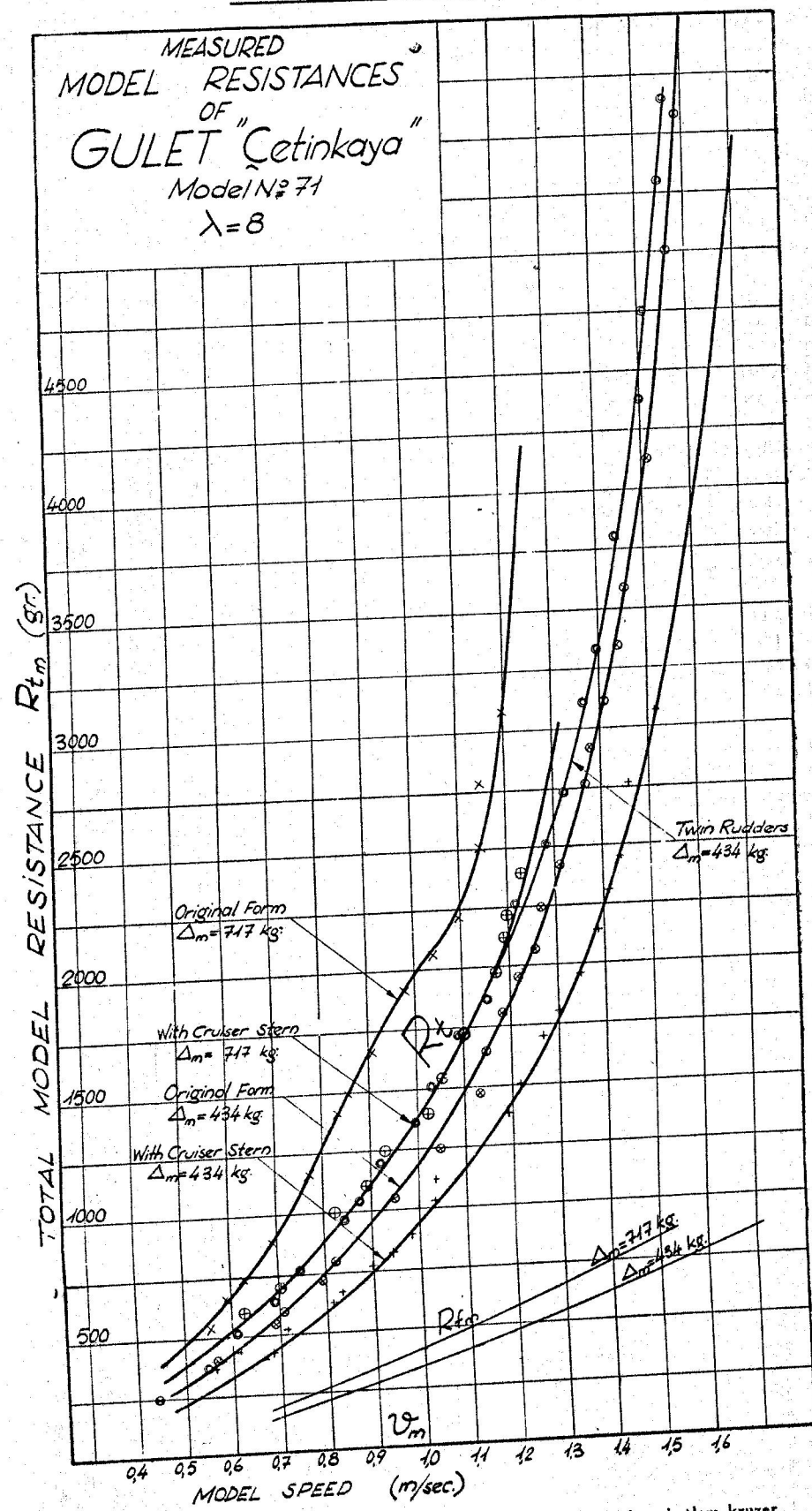


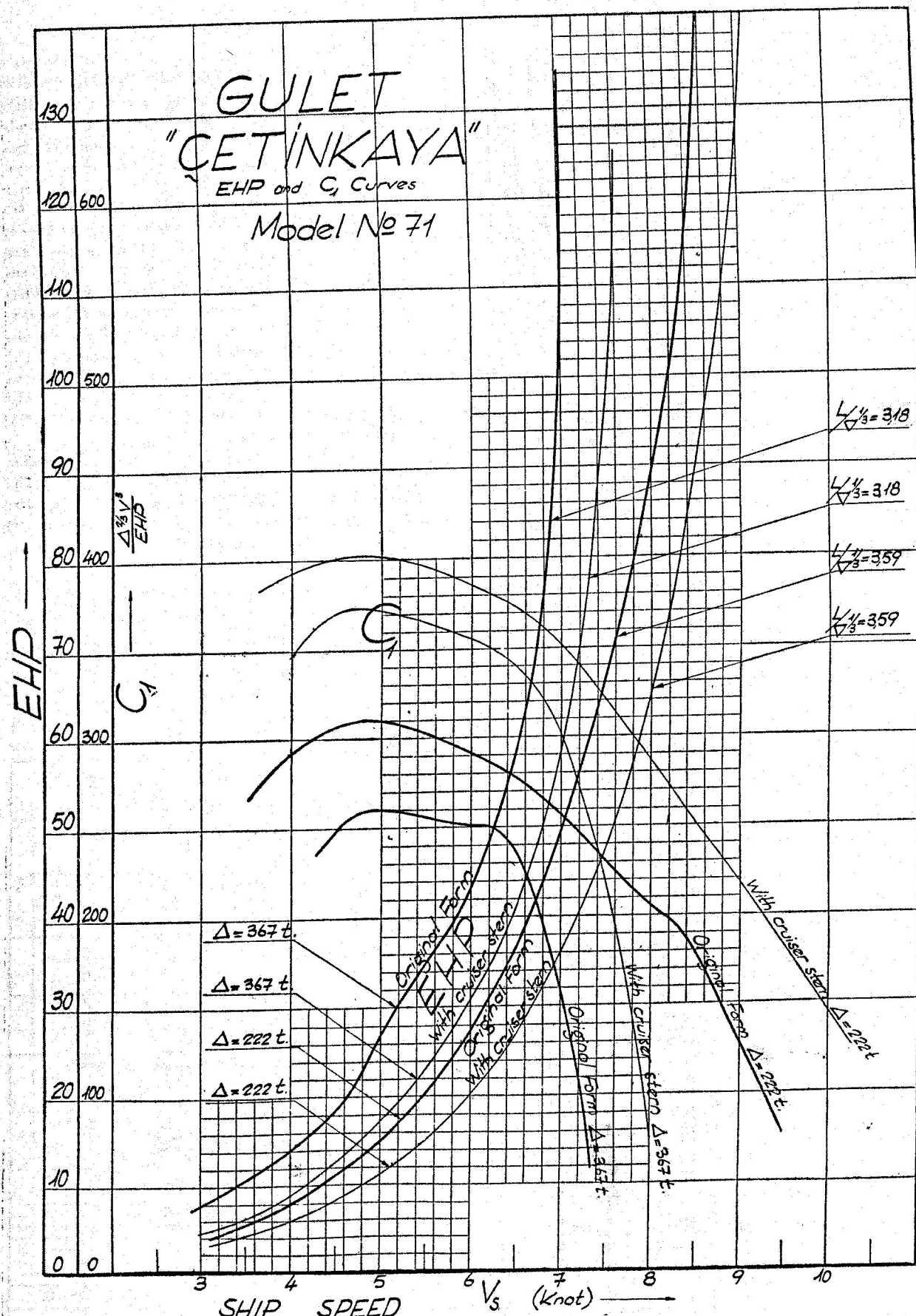
Fig. 31 — Comparative powering coefficients C_1 (Admiralty Const. reversed) of çekirme's (Servet) and (Bartın)

GULET MODEL DENEYLERİ



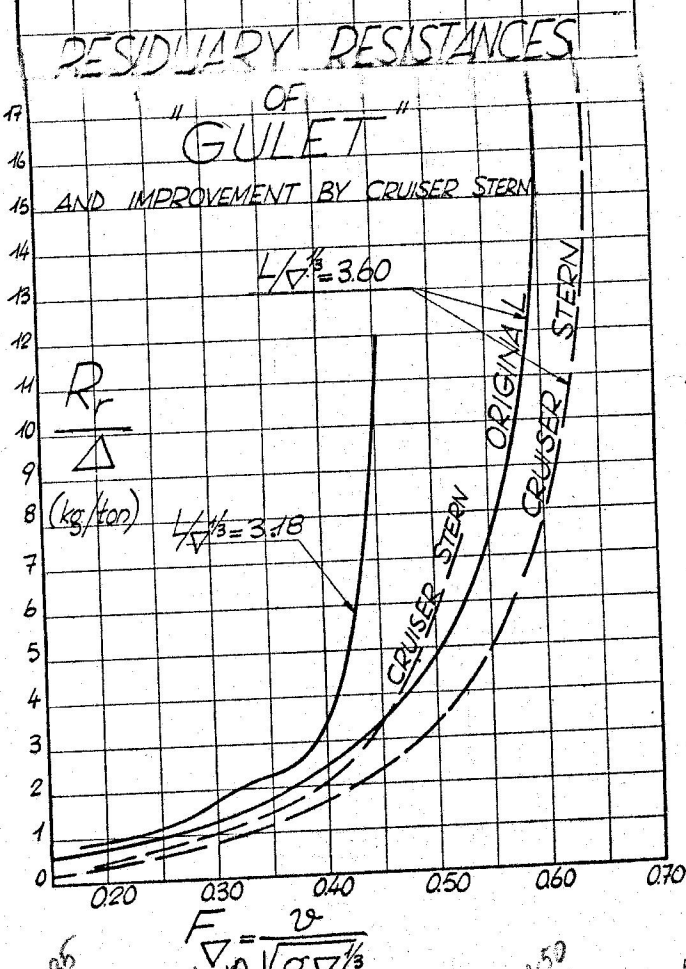
Sekil 82 — Gulet (Model No : 71) Direng eğrileri. (Modelin küçük taraf su hatları kruzer halinde uzatılarak alınan neticeler de gösterilmiştir.)

Fig. 32 — Model results of Gulet. The gain attained by changing the after end in cruiser form may be seen from respective curves of resistances.



Şekil 33 — Gulet (Çetinkaya) nin beygir gücü ve C_1 eğrileri. (Kruzer kış ile kazanç görülmektedir).

Fig. 33 — EHP curves and C_1 values of Gulet.



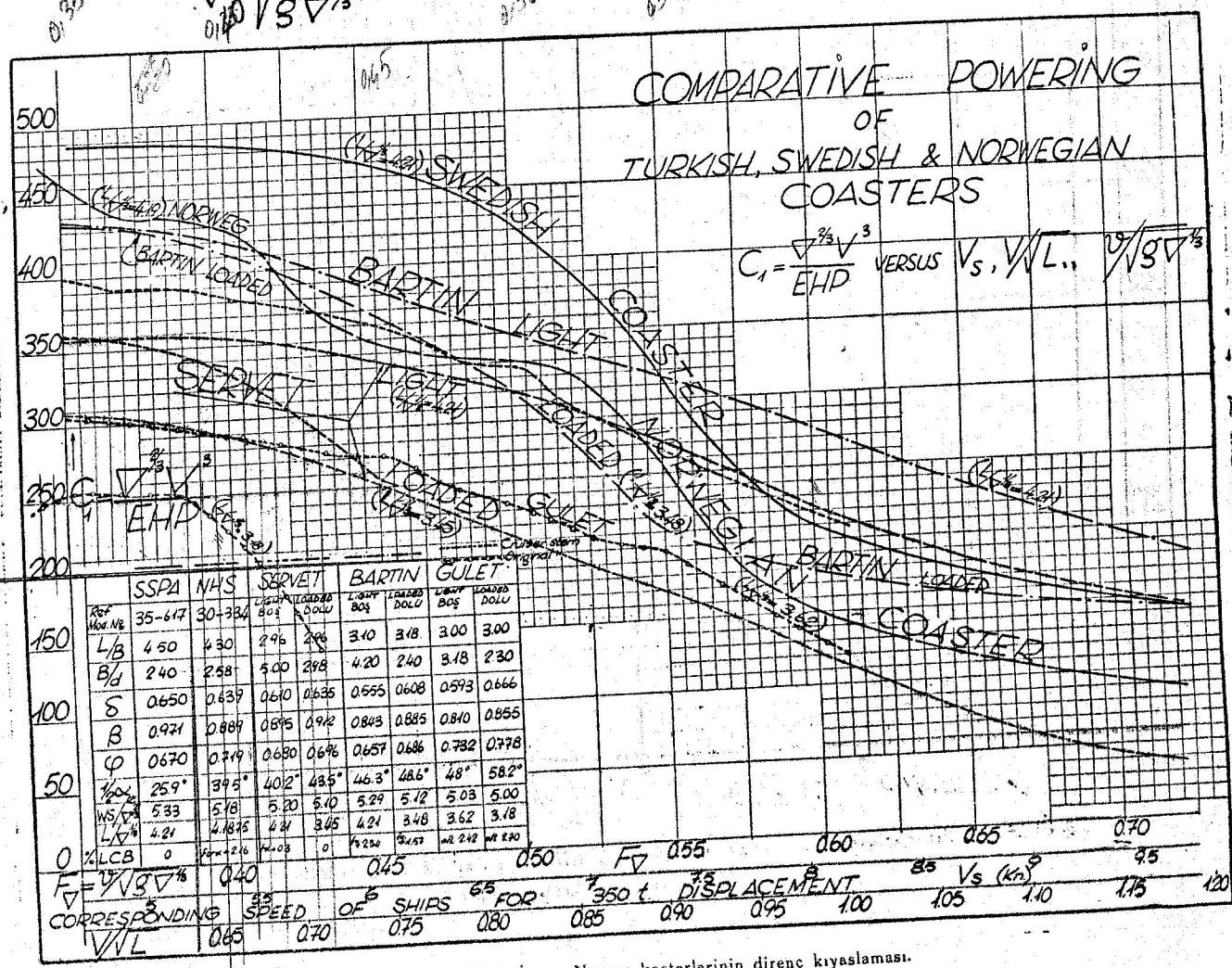
GULET:

Model 71 ile yapılan direnç deneyi sonuçları (Şekil 32, 33, 34) de verilmektedir. (Şekil 17, 18) deki (form plânından da görüleceği gibi) kiç su hatları dolgun olan gulet, deneyler esnasında kiç tarafında istikrarsız akım tezahürü ile rota stabilitesinin bozukluğunu göstermiştir. Kiçta girdaplı akım dolayısı ile müessir olamayan tek dûmen yerine çift dûmen bunu sağlamakla beraber (Şekil 32) deki gibi direnç artışını sonuçlamıştır. Yüklü durumda, suya giren gövde, daha dolgun kiç su hatları dolayısı ile çok artan direnç vermiş ve seyir sü'ati civarında görünen direnç kanburu formun fenaliğini bariz şekilde göstermemiştir. Modelde, kiç kepçe uzunluğunda bir kruzer formu verilerek su hatları uzatılmış ve kiç omuzluktaki dirsek kaybedilmiştir. Neticede kazanç büyuktur. Meselâ 8 knot süratle boşken 90 EHP yerine 66 EHP gibi % 26,5 kazanç oluyor. Dolu iken 110 EHP yerine 60 EHP gibi, % 44,5 yan da büyük kazanç sağlanmaktadır.

Bu basit form tadilleriyle alınabilen kazançlar orijinal formun nekadar fena olduğuna bir delildir. Gulet basit kiç form tadili ile sağ draftta çektmelerden daha üstün hâle getirilmiştir. Bu (Şekil 36) daki C_1 eğrilerinden görülmektedir.

Şekil 34 — Gulet dalga direnci eğrileri.

Fig. 34 — Nondimensional values of residuary resistances of Model 71



Şekil 35 — Türk, İsveç, Norveç kostelerinin direnç kıyaslaması.

Fig. 35 — Nondimensional comparison of Turkish, Swedish and Norwegian coasters.

Genel direnç mukayesesi :

C₁ beygir gücü katsayıları eğrileri Froue-deplasman boyutsuz katsayısi üzerine çizilerek eşdeğer şartlar altında mukayeseye tâbi tutulmuştur. Aynı diyagramda İsveç ve Norveç model tanklarında denenmiş olan kendi kosterlerine ait neticeler de taşınmış ve gösterilmiş bulunmaktadır. Bu kosterlerin model numaralarile referansları içerisinde cetvelde verilmiştir. İsveç kosterinin boy deplasman oranı ($L/\nabla^{1/3} = 4.21$) Bartın Çektirmesinin boş halindeki 4.21 oran ile ve Norveç kosterinin $L/\nabla^{1/3} = 4.19$ halile kıyaslanmaktadır. Yüklü durumda Bartın (Model No. 37) boy/deplasman orantısı 3.48 olmaktadır. Servet (Model No. 62) neticeleri de 4.21 ve 3.45 orantıdakine aittirler Gulet (Model No. 71) bunlara nazaran daha dolgun (bozsuz) olduğundan 3.45 ve 3.18 orandaki hâlile kıyaslamaya katılabilmıştır.

Dirence müessir olan faktörlerden $L/\nabla^{1/3}$ den sonra prizmatik narinliği ve boy/genişlik oranının bu teknelerdeki değerleri de cetvelden incelenebilmektedir. İsveç Kosteri, Norveçinkine nazaran daha boylu ($L/B = 4.50$ ye göre 4.30) Türk kosterleri ise $L/B = 2.96$ ile 3.18 gibi çok az boylu (geniş tekne) leri göstermektedir. Norveç kosteri (φ) değerleri Türk kosterleri gibi (İsveç kosterine nazaran) narinidir. Mamafî, bu sebepten NHS prizmatik φ yüksektir; ancak, dolgun Gulet bundan daha da dolgun nihayetlere sahiptir. Türk tekneleri boysuzluklarını narinliklerle karşılamış durumda olduklarından (boyut narinliği mi yoksa form narinliği mi?) mukayesesinin dirence tesirlerini incelemek imkânı hasıl olmuştur.

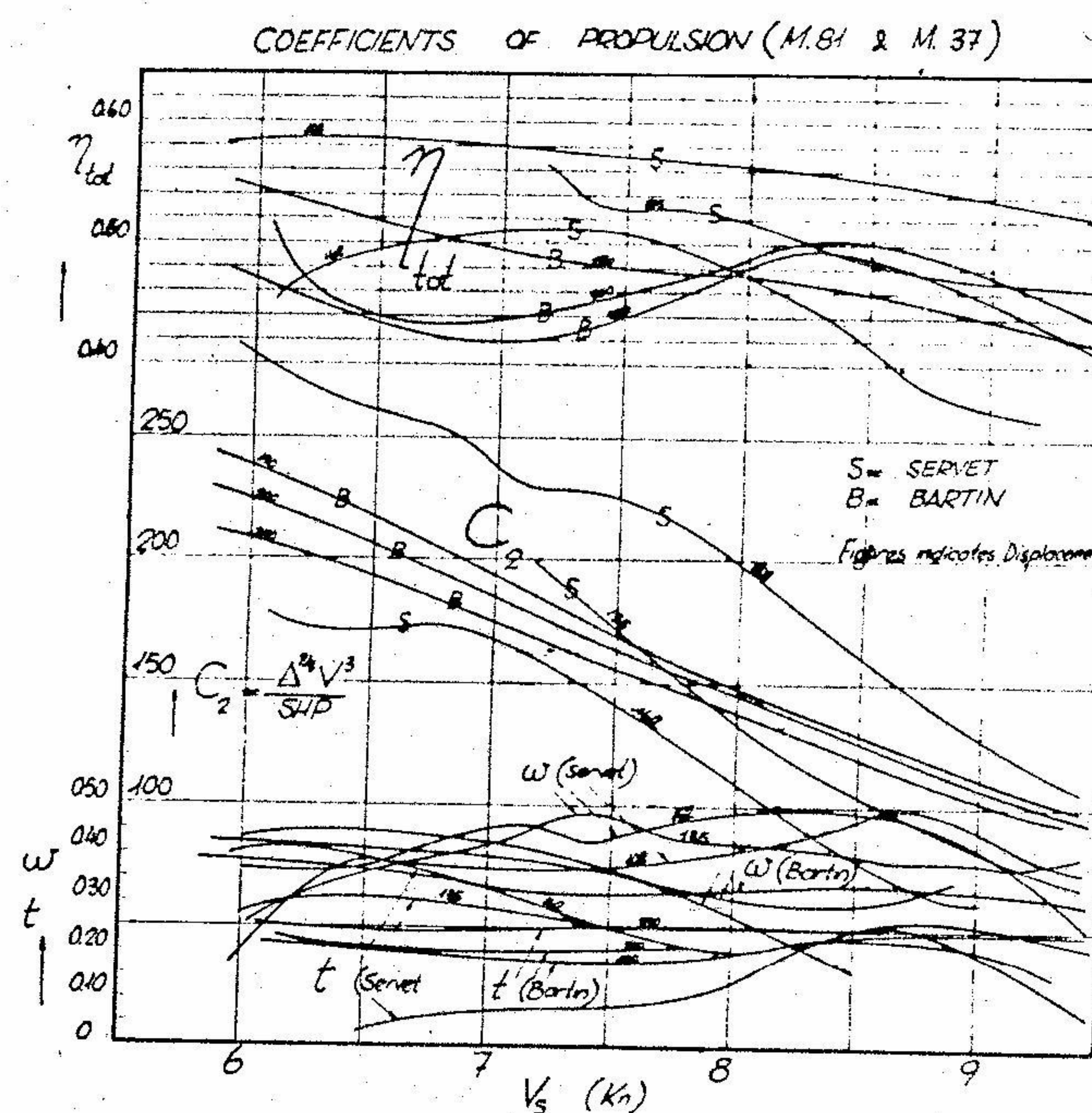
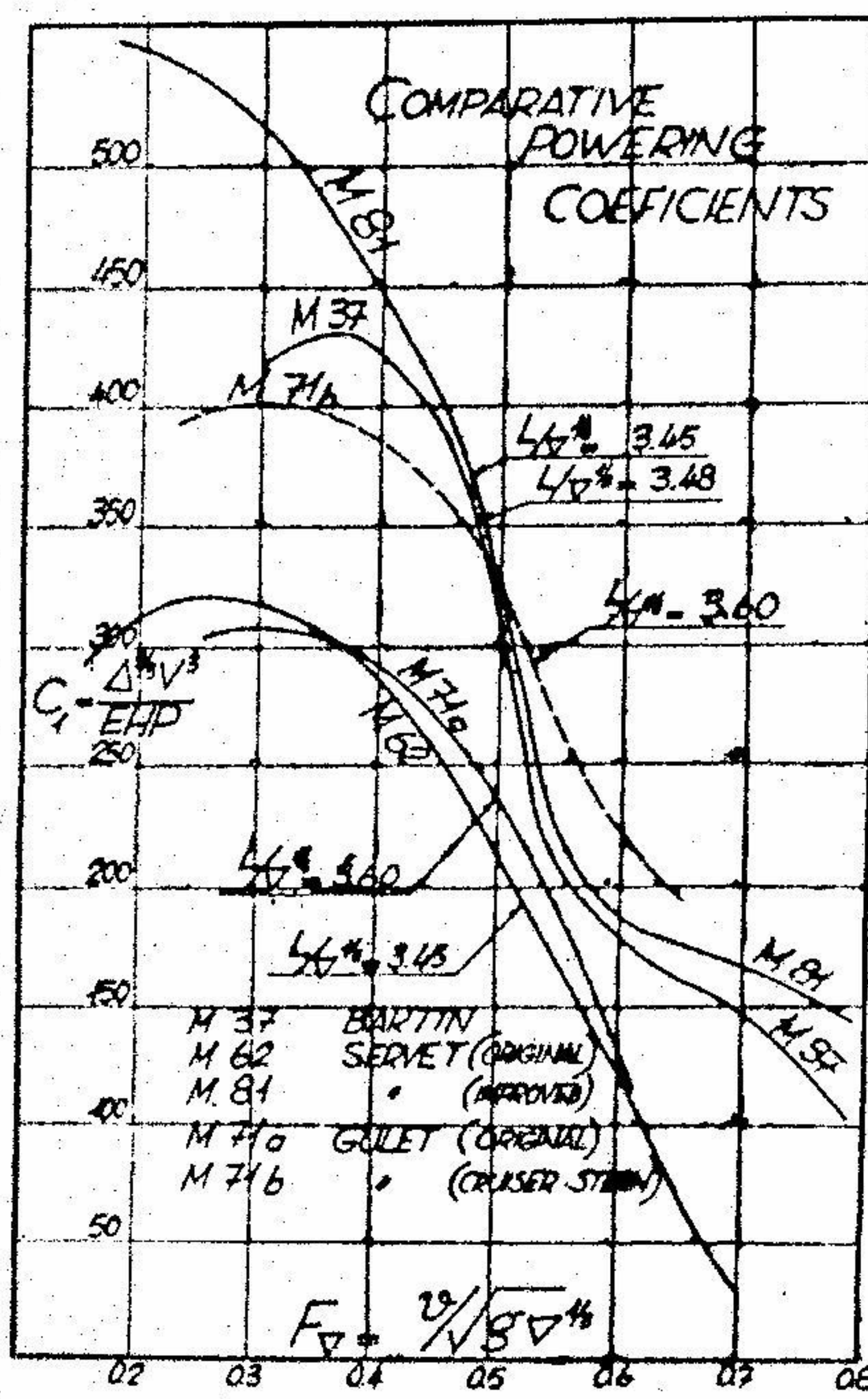
Direnç kıyaslaması için alınan C₁ değerlerine göre, $F_{\nabla} = 0.55$ değerine kadar İsveç kosteri üstünlük göstermektedir. Bu, 350 ton deplasmanındaki bir tekne için takriben 7.4 knots süratî ifade ediyor. Bunu yakından takip eden Bartın çektirmesi yukarı hızlarda üstünlüğünü göstermektedir. Servet boş halinde (eşit $L/\nabla^{1/3} = 4.21$) de yüksek hızlarda İsveç kosterine eşdeğer direnç karakteristiğini haizdir. İsveç kosterinin fazla İslak satılık oranına ($WS/\nabla^{2/3} = 5.33$) rağmen alçak süratlerdeki üstünlüğü formunun dalga direnci ve girdap direnci için uygunluğunu (uzun kîc gîvde run)ının faydasını ifade etmektedir. NHS'in yüksek prizmatığının dirence fena tesiri bilhassa yüksek hızlarda kendini belirtmektedir. Bu sonuç, prizmatik narinliğinin dirence boy/genişlik oranından daha ziyade müessir olduğuna bir işaret sayılabilir. Servet Çektirmesi yüklü halinde Gulet'in boş durumundan fena fakat yüklü durumundan iyidir. Buna karşı, Gulet'in Kruzer Kiçili halinde alçak hızlarda kîc anafor dirençlerinden kurtulmasile original durumdaki eğrisine paralel olarak yükselmesi ($C = 250$ den 350 ye) hidrodinamik prensiplere uygun olarak meydandadır.

İsveç, Norveç kosterlerinin C₁ eğrilerindeki dalgalanma L/B oranı büyük teknelerde, dalga sistemlerinin karşılıklı tesirlerinin kısa boylu teknelere nazaran daha bariz ve müessir olduğu şeklinde izah edilebilmektedir.

Türk kosterlerinin ahşap konstrüksiyon tarzı dolayısı ile mukavemet zorluklarının diktesinden doğan kısıntılı boyalarının, uygun form seçimi çarelerile dirençleri artmadan karşılanmış olduğu sonucuna varılmaktadır. Mamafî, çapları (deplasman) itibarile türklerinkinden büyük olan İsveç, Norveç kosterlerinin normal hız sınırları içinde (kendi çalışma sahaları bakımından) ekonomik oldukları ve buna mukabil, küçük çapta inşa edilmesi gereken kosterlerin (lüzumsuz yere) İsveç kosterlerine benzer boyut oranı ve form narinliğinde yapılmalarının ekonomik olmayacağı buradan meydana çıkmış oluyor.

Şekil 36 da modellerin $L/\nabla^{1/3}$ 3.45 — 3.60 arasında değişen yükleme durumlarındaki direnç mukayesesi C₁ eğrileri halinde verilmektedir.

$F_{\nabla} = 0.4 — 0.6$ arasında M 81 le M 37 nin hemen hemen eşit direnç verdiği ve Gulet'in (Cruiser kîc gîvde) tâdil edilmiş hâli ile yüksek süratlerde diğer formlara nazaran üstünlüğü eğrilerden görülmektedir.



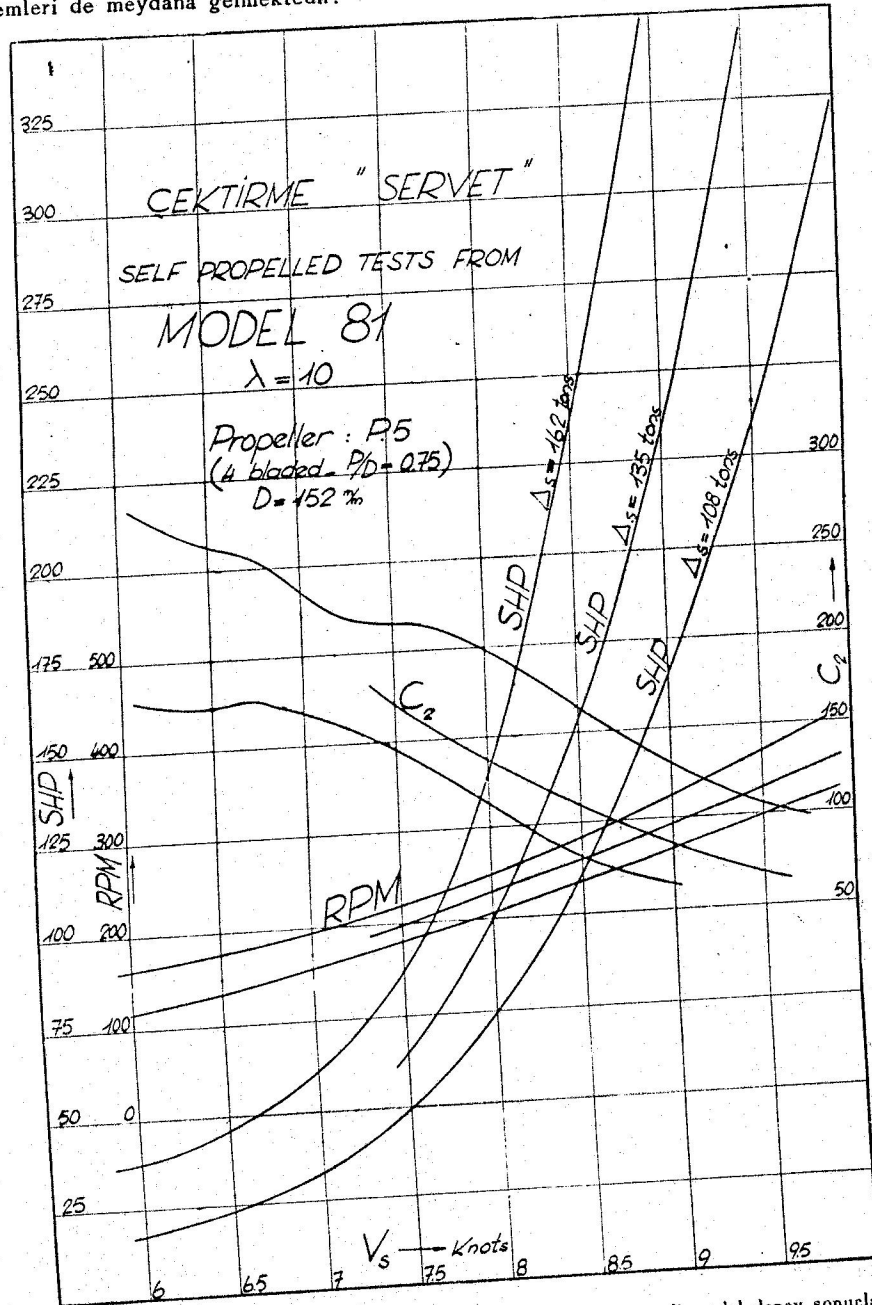
Şekil 36 — M 62 de yapılan form İslahile sile edilen M 81 ve M 71 a da yapılan kîc form İslahile elde edilen kazançlar orijinalerle mukayese edilmektedir.

Şekil 39 — Bartın (M 37), Servet (M 81) ile yapılan pervaneli sevk deneylerinden elde edilen sevk ve verim katsayıları.

Model sevk deneyleri :

Modellerin kendi pervanelerile sevk deneyleri (Continental method) denilen ve modelle gemi arasındaki sürtünme direnci farkı kadar ön ağırlık (R_a) koymak suretiyle yapılmış olup, sürtünme dirençleri ITTC 1957 egrisine göre hesaplanmıştır. Sevk deneyi için (Servet) çekirtmesinin $1/6$ ölçüğündeki 62 sayılı modeli yerine $1/10$ ölçüğündeki 81 sayılı (islah edilmiş formdaki) modeli kullanılarak, bu suretle yine $1/10$ ölçekteki (Bartın) modeli ile mukayesesinde benzerlik sağlanması düşünülmüştür. Modelerden alınan sonuçların tam çaptaki gemiye çevrilmiş olarak hesaplanan değerleri (Şekil 37 ve Şekil 38) de verilmektedir. Bu deneyler için 5 sayılı stok pervane kullanılmış olup bu pervanenin genel boyut ve karakteristikleri (Şahife 32 - Şekil 40) da gösterilmektedir. Bu pervanenin açık su deneyinden alınan sonuçlar 3 sayılı enstitü broşüründe verilmiştir.

5 sayılı pervane ile elde edilen (Gemi devir sayısı 200 - 300) sahasında olup nisbeten ağır dönen bir pervaneyi ifade etmektedir. Hakikatta, şimdi, çekirmeler 750 - 1800 devirli makinelerle tehzib edilmekte olduklarıdan pervaneleri 300 - 400 devire kadar indirecek redüksyon dişli donanımına ihtiyaç görülmektedir. Redüksyon nispetleri ideal devir sayısını vermeyen ahvalde diyagramlarda gösterilen sıradan elde edilebilmesi mümkün olmadığı gibi (Şekil 41) de gösterilen pervaneler örneğin (Cavitation) problemleri de meydana gelmektedir.

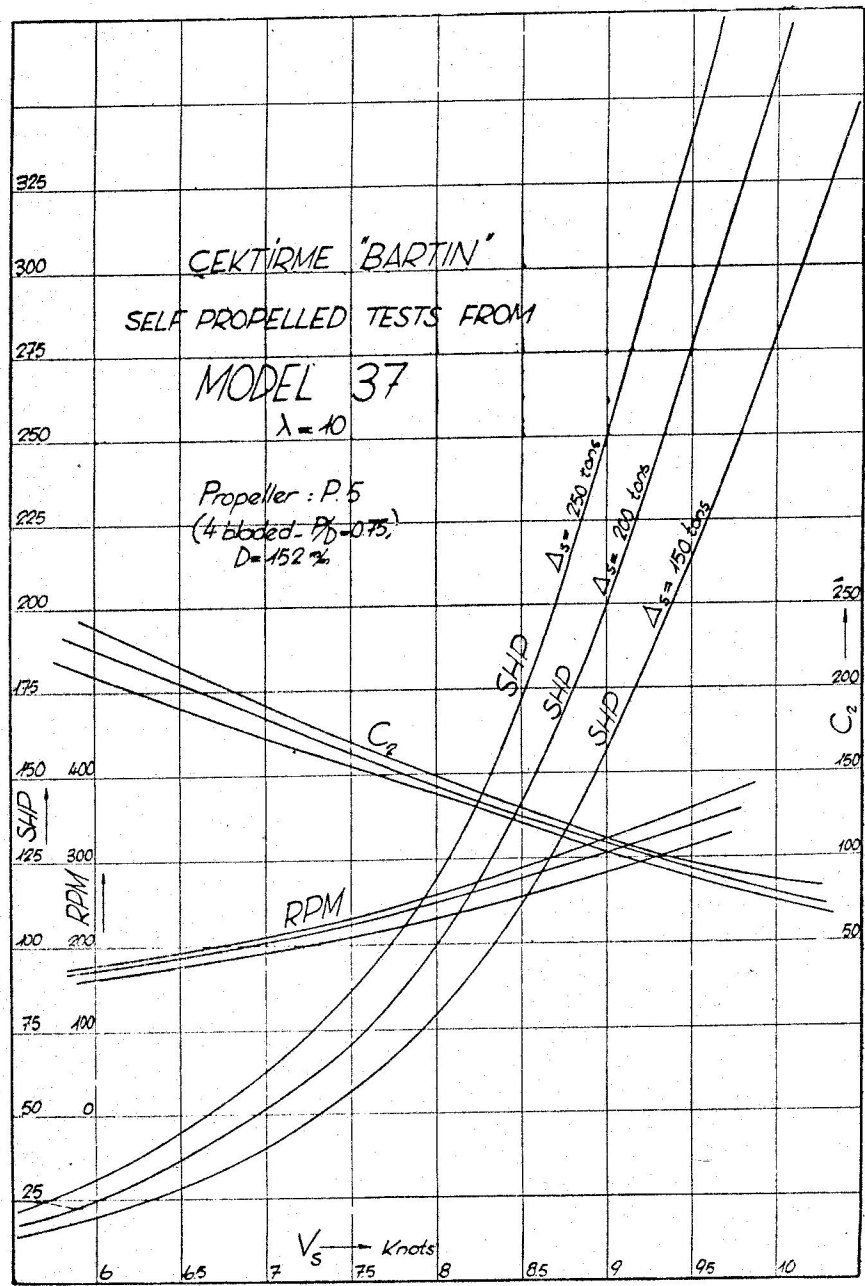


(Fig. 37) Şekil 37 — Çektirme Servet (M. 81) (islah edilmiş) pervaneli model deney sonuçları

5 sayılı pervane (200, 400 pervane devri için) ideal pervanelerden birisi olmakla beraber çapının 1,52 metre olması dolayısı ile boş durumda 1,15–1,35 m. Su çeken çekirmeler için büyük sayıdır. Boş halinde pervane kanadının sudan çıkması veya satha yaklaşması önemli bir mahzur teşkil edeceğidir.

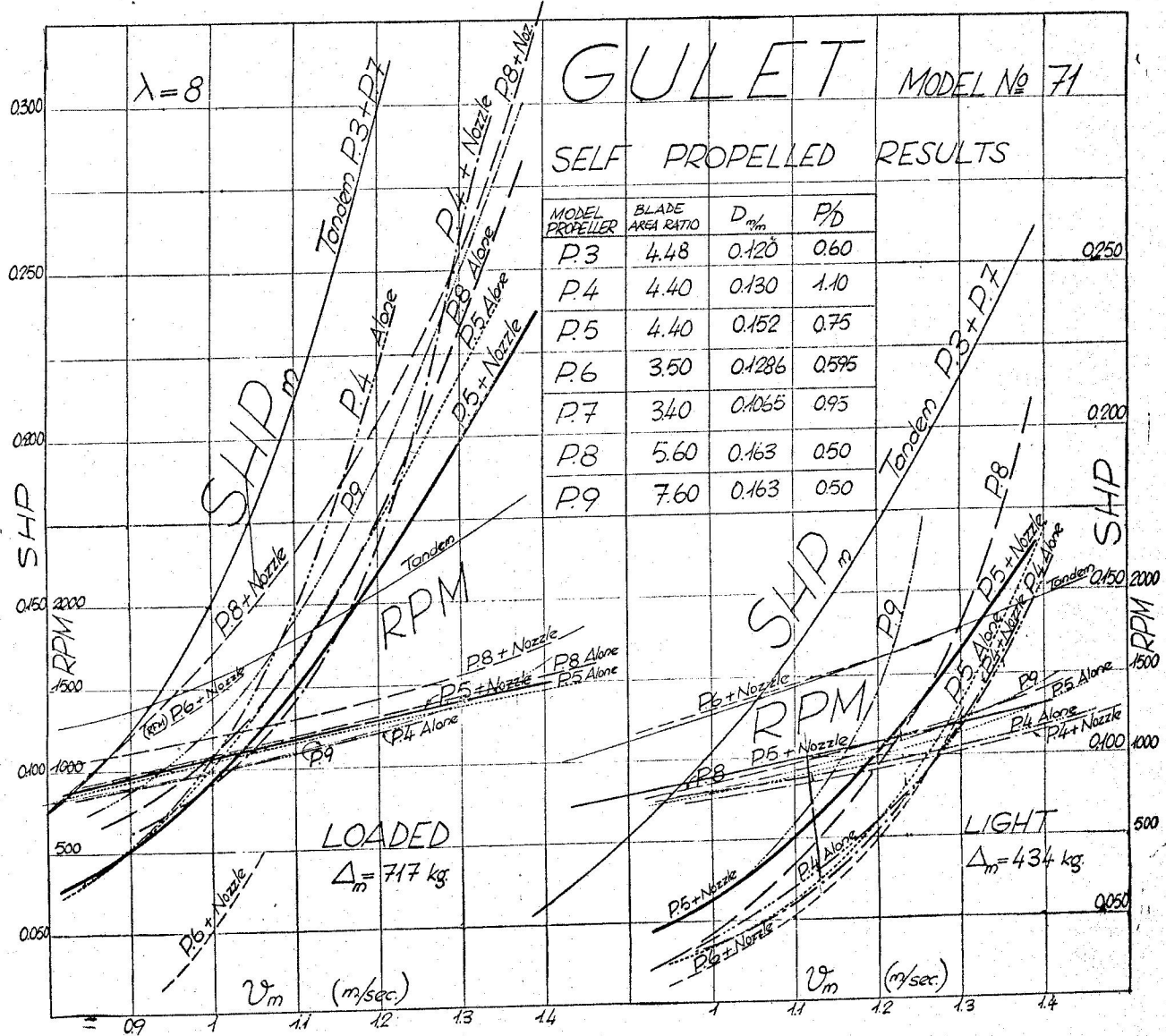
Her iki tip çekirmenin sevk durumu (Şekil 37 ve 38) deki C_2 eğrilerinden belirmekte olup (Şekil 39) daki C_2 eğrilerinden de her iki tipin mukayesi yapılmaktadır. (Şekil 37 ve 38) ve (Şekil 39) daki C_2 değerleri değişik yükleme şartlarına göre verilmektedir. Mukayese yine Servet'in ıslah edilmiş modeli (M 81) e göre esaslandırılmıştır. (Şekil 37, 38) den de görüleceği gibi ekonomi için sürat limiti takriben 8 kn. civarındadır. Bartın M 37, Servet M 81 den 38 t. fazla yük taşıdığı halde (yani $\Delta = 150 - 108 \text{ t.}$) eşit beygir gücü yani ($SHP = 112,5$) beygir kuvvetile $8\frac{1}{2} \text{ kn.}$ sürat yapmaktadır.

Burada yalnız formun değil çapın'da tesiri olduğunu hatırlamalıyız. Yüklü durumda, Bartın'ın ıstikrarlılığı daha belirlidir. 75 ton daha fazla yükle 8,5 Kn. hızda 175 beygir istemesine karşılık Servet (M 81) 238 şaft beygir gücünde makineye ihtiyaç göstermektedir. Yüklü ve boş durumlardaki bu fark Bartın çekirmesinin kiç formunun pervane ile sevk bakımından daha istikrarlı ve uygun olduğunu göstermektedir. (Şekil 39) da sevk verimlerinin mukayesi de görülmektedir (Sahife 29).



(Fig. 38). Şekil 38 — Çektirme Bartın pervaneli model deney sonuçları

Cesitli pervane sevk sistemlerinin mukayesesи:



Sekil 40 — Cesitli pervanelerle sevk deneyi soncları.

Fig. 10. Comparative Results of model experiments with different kinds of propulsion systems and propellers.

Boyları kısıtlı olan teknelerin yüklü ve boş durumları, teknelerin çektiği sularında ve bunun neticesi olarak ta (wake) değeri ve dağılışında büyük farklar meydana getirdiğinden, sabit momentli (Torque) motor makineleriyle sevk edilen bu teknelerde herhangi bir yükleme durumuna uygun olarak seçilen devir sayısının diğer yükleme şartlarına uyumaması dolayısıle gerekli beyazır gücünün gelişmemesinden ötürü (yüklu boş durum arasında) (Şekil 37, 38) de görülen sürat farkı hakikatte vaki olmamaktadır. Esasen, bu husus aynı diyagramlardaki devir sayısı eğrilerinden de görülebilir.

Çekirtmelerdeki yüklü boş (wake) ve toplam sevk verim katsayısi farkı, kış su hatlarında birbirinden daha büyük form farkı olan Gulet tipinde çok değiştiğinden, bu teknenin modelinin çeşitli pervanelerle denenmesi uygun görülmüş tür. Bu araştırma sonuçları (Şekil 41) de verilmiş olup 7 pervane kullanılmış ve bunların bazıı tandem halde veya (nozzle) halkası içinde denenmiştir. Yüklü ve boş durumda (SHP) ve devir sayıları (PRM) eğrileri yanyana görülmektedir. Neticeler, modele ait olmak üzere aynen prezante edilmiş ve ön ağırlık kullanılmamıştır. En az SHP istemek bakımından, yüklü durumda, 5 sayılı pervane nozzle içinde iyi verim vermektedir. Hafif yüklü iken 6 ye 4 sayılı pervaneler nozzle içinde verimli olmaktadır. Tam çaptaki bir çekirtmede bulunan yüksek devirli ($RPM = 950$) makineye uygun olarak nozzle tatbik edilmiş iyi verim alınmıştır. Tandem pervane tertibinde, stok pervaneler, istenen karakteristiklere uymadıklarından mukayesede fena netice vermiş olarak görünmekte iseler de maksada uyan pervaneler kullanıldığı takdirde durumun böyle olması doğru olamaz.

Gerek boş ve gerekse yüklü durumda 6 sayılı pervane nozzle ile birlikte en iyi sonuç verdiğiinden optimum olarak temayüz etmiştir. Bu pervane mutedil çapı ve geniş alan ile ve yüksek devirli hâl tarzı için de uygun bir sistemdir.

Kavitasyon (Cavitation) : (Şekil 42) deki fotoğraf bir çekirme pervanesindeki sırt kavitasyonun- dan doğan erozyonu göstermektedir, bu teknelerde pervane probleminin çetinliğine bir örnek vermektedir. Her devirde büyük (wake) değişimi gösteren çekirme ve gulet kış formları, beş kanatlı pervanelerin başarılı olarak kullanılmalarına imkân vermiştir.

Bu pervane «Beşinci Balikesir» adında ve (19.10 m. boy \times 6.10 m. genişlik \times 1.55/2.70 m. çektiği) su ebadında 110 tonluk bir çekitmeye ait olup, Genel motors 4.071 tipinde 1 : 4 devir azaltma dona- nimile yüklü iken takriben 6 3/4 ve boş knots sürat yapmaktadır.

Pervane 3 kanatlı, alan oranı 0.35, malzemesi bronz olup kalınlık oranı takiben 0.045 idi. Pervane çapı 0.98 metre, $P/D = 0.705$ dir. Her üç kanadın sırtının ön kenarlarında fotoğrafta görüldüğü gibi derin erozyon olup kanat uçları tamamile yenmiş durumda idi.

Bu değerlere ve model deneylerinden bulunan (σ) lara göre yapılan hesaplarda hepsi yaklaşık olmak üzere $B_p =$ yüklü 100, boş $B_p = 75$, $J = 0.337, 0.337, 0.38$ ve $\sigma = 46, 289, \sigma_{R0.7} = 1.205, 1.038$ dir. $\tau_e = 0.109 - 0.108$ bulunmuştur. SSPA nin 48 sayılı bulletin'inden de görüleceği gibi gerek Prof. Burill'in eğrisi (sahife 28 Şekil 23) ve gerekse (Şekil 22 ve Şekil 27) de bu pervane, "Cavitation sınırı" dışında görülmektedir. Hakikatta, pervanede gelişmiş (full cavitation) mevcut olup (Şekil 41) deki erozyon da bunu ispat etmektedir.

Bu incelemeden çıkarılabilen sonuçlar şöyle olabilir :

1. Pervanelerin cavitation kriteri için yalnız başına J, σ yi ele almak yetmemektedir.
 2. Cavitation için bütün pervaneye şâmil olarak $\tau_e = \frac{T/A_p}{\rho/2 V^2}$ almak doğru olmayıp, kesiteki lokal C_L in değeri kritere hâkimdir.
 3. Herhangi bir Cavitation kriteri diyagramında α hücum açısını tarif eden mesela P/D veya β bulunmalıdır.
 4. Homojen wake dağılısına göre yapılacak hesapların doğru netice vermesi beklenmemelidir; çünkü devir dairesinin herhangi bir noktasında sevk edicilik yapan bir kanat dairenin diğer bir noktasında sürükleşen durumuna düşmektedir. Bu noktada V_α nın azalması dolayısıyle artan α hücum açısı, kanadın sırtında Cavitation'un doğmasına sebep olmaktadır.
- Bu pervane $Z = 5$ kanatlı $F_a/F = 0.60$ olan ve $P/D = 0.59$ (değişik piçli) $D = 1,13$ m 1,13 m çapındaki yeni bir pervane ile değiştirilmiş ve Cavitation'dan kurtularak yüklü sürat takriben 1.1 ve boş sürat 1.2 knot artarak $V = 7,85$ ve $V = 8,80$ knot olmuştur. Kanat kesitleri için Göttingen profili No. 488 kullanılmış, göbeğe doğru NSMB profiline geçilmiştir.

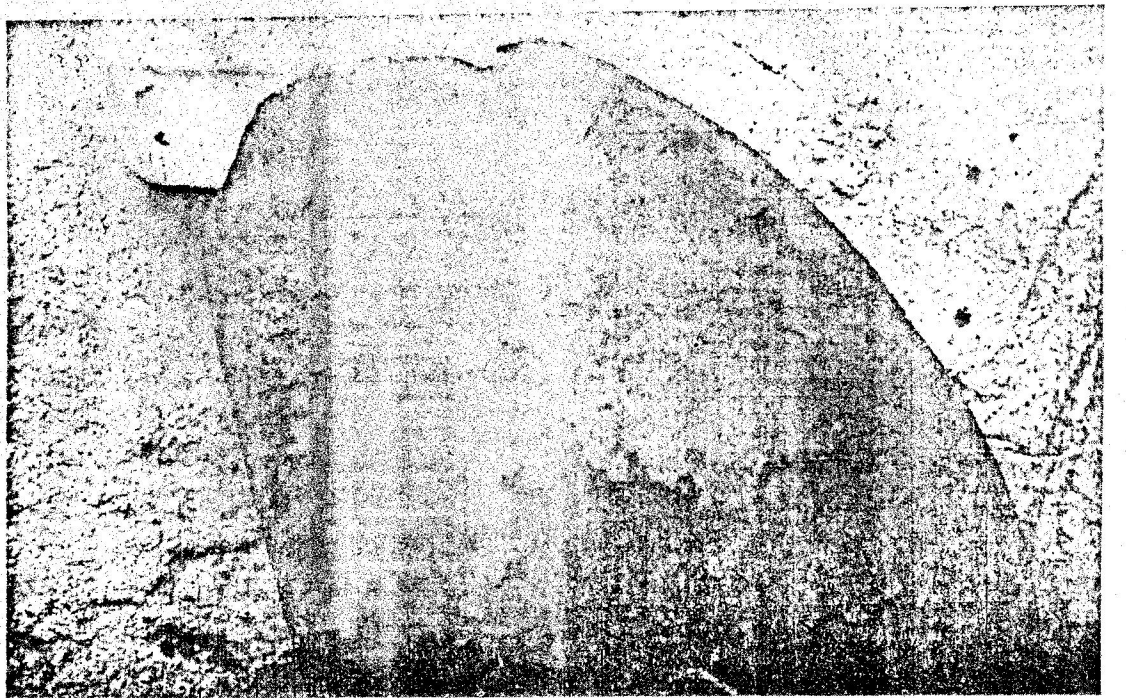


Fig. 41. — The eroded propeller blade of çekirme due to back cavitation. The dimensions of Çekirme: 19.10 m. length, 6.10 m. breadth 1.55 light and 2.70 m, loaded draft. Propelling engine 4.071 GM, Red. Gear 1 : 4. Speed attained 63/4 kn. loaded 7.6 kn, light.

The propeller : 3.35 having a diameter of 0.98 m. and 0.705 pitch ratio. Corresponding values of $J = 3.337, 0.38, \sigma_{R0.37} = 1.205, 1.038$ and $\tau_e = 0.109, 0.108, B_p = 75$ and 100.

Ekonominik düşüneler :

Evvelki sahibelerde gösterilmiş bulunan model deney sonuçları sahillerimizde çalışan ağaç teknelerin ve özellikle çekirme formlarının basit ıslahlarla direnç ve sevk bakımından iyi duruma sokulabileceğini ve bu suretle daha az beygir kuvvetile yani daha az yakıtla daha süratli taşıma yapabileceklerini göstermiştir. Meselâ (Servet) tipi için küçük kesitlerinin narinleştirilmesi ve Gulet tipi için de kepçe yerine (Cruiser) kişi geçmek kazanç sağlamaktadır. Mevcut Guletlər üzerinde dahi bu tadilatın önemli bir masraf istemeden yapılabilmesi mümkündür.

Buraya kadar yapılan inceleme, ağaç teknelerimizin bithassa çok ucuza mal olmaları ve içinde çalışan az sayıdaki az maaşlı gemiciler veya ortaklar dolayısı ile işletme masraflarının düşük olusundan ötürü revaçta kalabildiklerini ispatlamaktadır. Kıyıdaki yüklerin bir kamyonluk siasını aşan yükler veyahut deniz aşırı iki kıya arasındaki nakliyat için ağaç tekneler halen de kamyon rekabetine tâhammûl edebilmektedirler.

120 - 150 tonluk bir ağaç tekneye giden 70 m^3 nett ağaç için 130 m^3 gross tomruğa ihtiyaç vardır. Evvelki devirlerde tekne inşaatı için ormandan kereste almak basit bir istida ile parasız mümkün olmakta iken ağaç tekne inşaatı bugün de sahillerimizde kalmış bulunan 112 tersanede çok ucuza mal edilmekte idiler. 1940 senesinde 2,500 TL. sına inşa edilen 150 tonluk bir çekirme bugün (1962) 100.000 - 120.000 TL. sına mal olabilmektedir. (Makine ve tezizat hariç). Böyle bir çekirme, evvelce 200 yevmiye ile inşa edilebilirken (1938 senesinde 1 yevmiye usta 2.50 TL. çırak 0,75 TL.) bugün bu zaman 2 misline çıkmış ve yevmiyeler de 15 ilâ 30 TL. yükselmiştir.

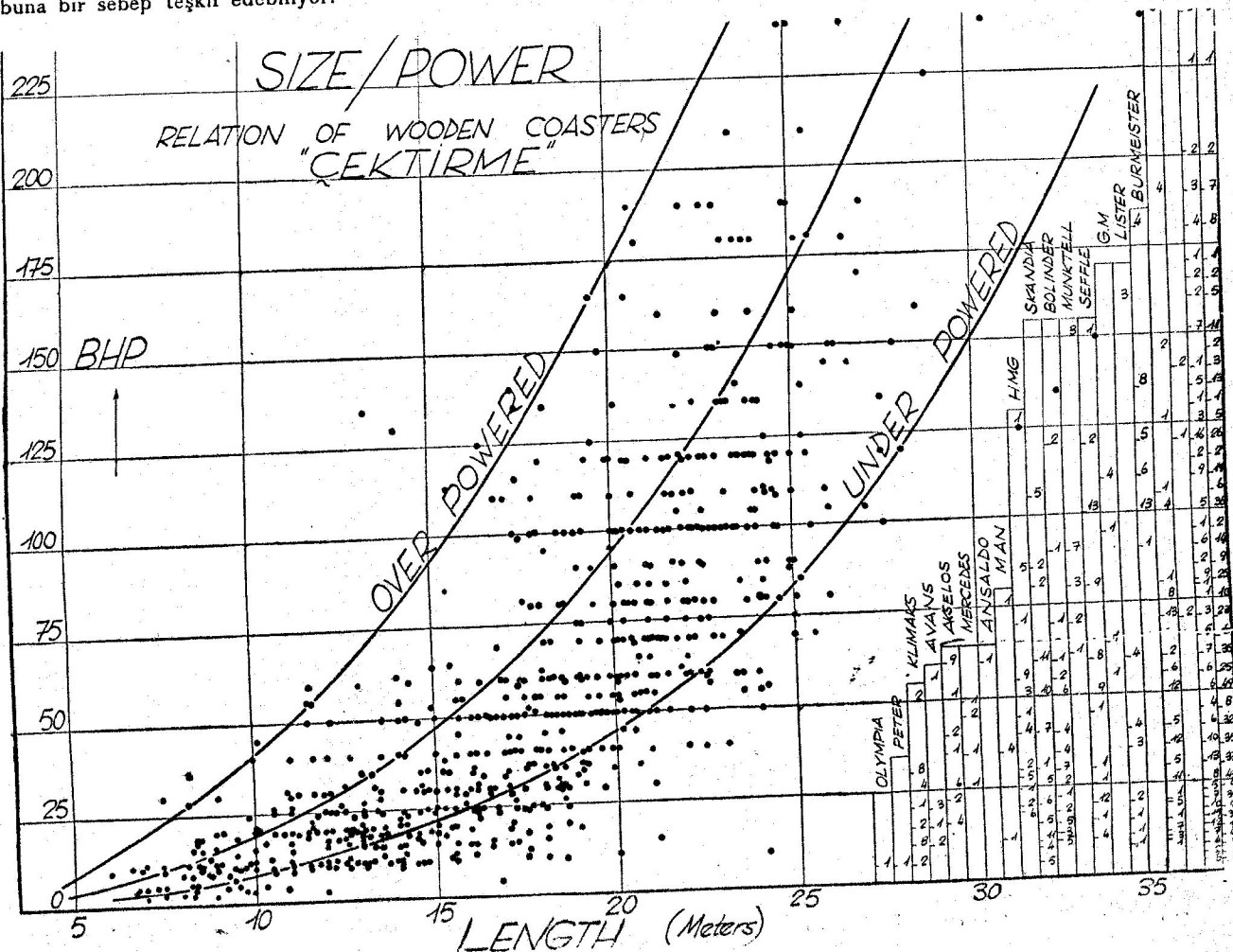
Sıkı orman kanunları ve kısıntılı kereste tahsisleri dolayısı ile çikan güçlükler kerestenin fiyatını inşaat yerlerinde 400 ilâ 700 TL/m³ na ve şehirlerde 700 - 1100 TL/m³ yükselmiş, bir tarafdan ağaç teknelerin sigorta edilememesi, diğer taraftan çelik teminindeki zorlukların ortadan kalkması, ağaç teknelerin karşısına yeni bir rakip çıkarmış bulunmaktadır. Buna rağmen liman survey ve donatım nizamlarının 149 BRT den küçük teknelerin nitelik ve personelle donatım bakımından ağır mükellefiyetler yüklememesi ve ağaç teknelerin ilk maliyetinin düşüğünü, inşa edenlerin küçük, taksitli ödemelere kanaat göstermeleri, ağaç teknelerin hâla çalışılmasına imkân veren hususlardandır.

Çelik teknelerin rantabl olabilmesi için çapının ağaç teknelerinkine kadar küçülememesi, gerekiyor. Bugün çelik tekne ağaç tekneye nazaran en az iki misline inşa edilebilmektedir. Buna karşılık ağaç teknelerin sık sık karaya çekilerek kafafat ve tamir edilme ihtiyacı hem idame masraflarını artırmakta, hem de senelik faaliyet müddetini kısaltmaktadır.

Son senelerde, ağaç çekirmeler, basit tadil ve ilâvelerle kum, çakıl tarama araçları haline getirilmişlerdir.

Çekirme ve Guletlərin deniz ticaretindeki yerleri muhafaza ve idame edebilmelerinin en kuvvetli sebebi direnç ve sevk bakımından modern teknelerle başabaş gelmeleri ve yüksek sürat yani büyük Froude sayılarında üstünlükleridir.

Mevcut hızı çekirmelerdeki makinelerin tip, takatlarını gösteren diyagram (Şekil 42) de verilmektedir. Bunda, ekseri çekirmelerin çaplarına nazaran az takattaki makinelerle teziz edildiği görülmektedir. Yelkenin sevke yardımcı olarak, buna bir sebep teşkil edebiliyor.



Şekil 42 — Çekirmelerdeki motor makinelerinin eins; tip, sayı ve çaplarına nazaran durumları.

Summary in English

The bulk of Turkish Coastal transportation is mainly borne by wooden Coasters of various types called «Çektirme», «Bumbarta», «Gagali», «Gulet», «Taka», «Mavna», etc. according to their hull forms. The origin of the craft dates back to several centuries, one of the type called »Gagali» as given in Fig. 4 reproduced from admiral Paris's Collection.

Turkish wooden Coasters are built in primitive yards situated mostly along the Black Sea coast, with simple methods, by practical men and by primitive hand tools as illustrated in (Fig. 2, 3). The profession is carried down from father to son.

Statistics gathered from 51 ports along the Turkish coast have revealed that, from the Cargo transported yearly amounting to about two Million tons, excepting the bulk cargoes like coal and ore, approximately 75 % of the remainder are carried by 7730 in number small wooden coasters, 2500 of which are of Çektirme type.

There are about 119 such yards, each employing 7 to 3 men which can build and launch 4 to 7 hulls annually.

The hulls are of peculiar form and construction. However the scantlings and wood material satisfy the rules, the fastenings are poorly executed and are inadequate. The hulls subjected to strains due to alternate loading, unloading and hogging, sagging in choppy seas show the marks of deformation as sagging ends, concave Keel and leaky hulls. An idea about the scantlings may be obtained from midsection in (Fig. 12). The hulls are being frequently hauled, caulked and repaired on primitive slipways. The loss of number of ships in heavy weather and the hazard of fire due to their wooden hull have prevented the craft of being insured by insurance companies, causing the loss of considerable percentage of cargo to be shipped by them.

In spite of the above, however not as at previous rate, Wooden vessels are still being built and continue to maintain their service of transportation along the coast and with their modern steel competitors.

This fact has attracted interest of T.S.R.I. to investigate the reasons of their survival and the factors justifying their continuance in service. At a first glance, these may be resumed as follows :

- 1) — National, 2) — Social, 3) — Economical, operational, 4) — Technical

Socially : Insistence of Individual ownership in Turkey, has prevented collective effort and organizing into companies. The unfertile black sea coast has forced the population to build their own craft and sail them by themselves at helm. This meant hard labor, deprivation for the personnel, poor maintenance of hulls and has caused Turkish wooden ship-building and shipping to remain as a family business.

Nationally : The scant of foreign exchange for long years has curtailed steel importation, the home production being insufficient for the purpose, the available currency was consumed on imports of diesel machinery. In spite of individual efforts to establish engine diesel works on well-known licence, powerful sale representation of foreign companies subdued the efforts. A list of some of the makers of diesel engines fitted in these craft are shown in and the size/power relation represented in curves based on power calculations are as shown in (Fig. 42).

Economical, operational : The growth and developement of road transportation and lorries has badly hit the coastal shipping. In spite of this, cargoes of more than the capacity of one or two lorries (they are also run by individual owners) and for transportation between two coastal destinations, coaster transportation has withstood the competition. The difficulty in obtaining spare parts of lorries has also contributed to this.

The shallow draft of wooden coasters has been a point of preferance over larger steel ships. The operational cost of wooden çektirme has been very low in comparison with steel vessels. The primary reason was the low first cost, which is 1/2 of steel ship of the same size. The running costs are still lower. The reason being, ships lower than 149 BRT are exempted from many costly fittings and equipment required by national survey authorities and are allowed to sail with less number of crew having lower rates and education. The harbor dues are correspondingly low or none at all.

Technically : However the reasons cited above were of sufficient magnitude to justify the employment of wooden coasters, the technical reasons, which constituted the main objective of this report, came also under scrutiny and has formed the subject of a hydrodynamic research in Turkish model basin.

Two main types of craft popular in Turkish wood ship-building were selected viz:

- a) Çektirme
- b) Gulet (a shortened replica of Mediterranean barge)

The dimensions and characteristics of ships selected for scrutiny are as given in (Table 1). Two types of çektirme's one of 110 t. D.W. and the other one of 180 t. D.W. were chosen as representatives of different forms; the former of İnebolu and latter being of Bartın (both along the Black sea Coast). The form plans and hydrostatics are as given from (Fig. 7 to Fig. 19). The characteristics of «Gulet» are as given from (Fig. 17 to 21).

Model Experiments. Models of the scales: 1/10, 1/6 for Servet 1/10 for Bartın, 1/8 th for Gulet were built of wood, painted and were towed in the basin. Trip wires for stimulation of turbulence were used. Model test results and the calculations are presented on pages (from P. 20 to P. 28. The efficiencies of forms were compared in (Figs. 26, 27, 30 and carrying over to ship 31) as to their form resistances (Residuary/ per tons Displacement) and that of Gulet in (Figs. 32 to 34).

Finally the comparative curves of powering of both çektirme's and Gulet are compared with respective C_1 curves of Swedish Coasters of SSPA and Norwegian Coasters of NHS in (Fig. 35).

As it will noted from the form plans and characteristics given in table 1, Turkish wooden Coasters are much shorter than their Contemporaries in steel. For identical length/Displacement ratios of Swedish and Turkish coasters of $L/\Delta^{1/3} = 4.21$ and Norwegian of 4.19 the corresponding L/B values are 4.50 for Swedish, 4.30 for Norwegian and 3.18 for Turkish coaster. The reason for shorter length has been due to strength and economical considerations. As against this, the block coefficient of Turkish "Bartın" is lower than the other two, i.e. 0.65 for Bartın against 0.639 Swedish, 0.608 of Norwegian and for identical $L/\Delta^{1/3}$ it is 0.555 for Bartın.

At lower speed $F_D = \text{up to } 0.55$ Swedish coaster proves herself to be the best of the lot, after which Bartın light condition (at identical $L/\Delta^{1/3}$) takes the lead. Bartın in loaded condition has equal C_1 values as swedish coaster above F_D values > 0.75 , which is also the same for Servet's light condition and Gulet with cruiser stern.

(Fig. 35) is instructive in indicating that the hulls which are to be forced to higher speeds (essentially due to limited length from Strength Considerations, etc.) have to be given finer forms (Block Coeff. and/or prismatic Coefficient) and the requisite displacement be attained by keeping the remaining sizes (B, d) larger, rather than adopting the blunter body form. At high F_D values finer hull with greater beam, i.e., Turkish Çektirme's gain superiority over that of Swedish and Norwegian Coasters.

An improvement on the Afterbody form of Gulet (M. 71) was performed by transforming the existing elliptical stern into cruiser stern. This has caused the disappearance of sharp aft shoulders which were causing the separation of flow and directional instability of steering and unstable wake at stern. This improvement has effected a gain as remarkable as 44.5 % in EHP. (See Figs. 32 to 34).

Similar improvements in Çektirme «Servet» to bring her resistance identical to that of «Bartın» were done and a model (No. 81) was produced. Her self-propelled results are given in (Fig. 37), the Corresponding one for «Bartın» (M. 57) in (Fig. 38) and the results of powering tests may be compared by C_2 values, curves of which are presented in (Fig. 39).

Propulsion. The problem of propulsion of coasters having blunt ending in run and substantial change of form in successive waterlines, invites special considerations in designing optimum propeller for each individual case. This is also a necessity due to great range of RPM of different types of engines fitted in these craft.

The problem requires to deal with a wake field having considerable change in magnitude and direction, especially for non-steady flow near stern post, both of which cause unwanted vibrations and cavitation and consequently loss of speed and deficient course-keeping.

In order to scrutinize the elements of propulsion and the performance of after form in interaction, various arrangements of propellers in Tandem and in nozzles and 7 propellers alone and their combinations were tested at the stern of (M. 71) Gulet. The results are presented as related to models and model propellers and are given as obtained from self propelled tests in (Fig. 40). No allowance for difference of frictional resistance is therefore made, not to confuse the condition of respective systems.

The adoption of nozzles in these types of overloaded propellers recommends itself as outstanding as represented by model propeller No. 6 in nozzle, optimum in performance in both loading conditions and also suitable for comparatively high speed engines. It has sufficient blade area to delay the cavitation which is a common defect in these craft.

Cavitation. A Case with badly eroded blade back is visible from photograph in (Fig. 41). The propeller was three bladed with 0.35 area ratio, working at $B_P = 75$ and 100, $J = 0.337$ and 0.38, $\sigma_R = 1.205$ diameter being 0.98 m., $P/D = 0.705$.

The curves Fig. 22 and 23 of SSPA bulletin No. 48 indicates (No cavitation) for this propeller which had full cavitation in practice.

This propeller has been replaced by a five bladed propeller having 1.13 m. diameter, 0.59 pitch ratio, 0.60 blade area ratio, The sections near 0.7 R were Göttingen profile. No. 448. With the new propeller the Cavitation and erosion was eliminated and average speed increase of 1.2 knots has been obtained. Five bladed propellers were successfully employed in Çektirme's and Gulet which have widely varying wake values in different loading Conditions as well as circumferential variation.

The Conclusions derived from full scale results may be summarized as follows :

1. The J and σ values cannot be taken as sole criterions for cavitation of ship propellers.
2. The loading factor $\tau_e = \frac{T/A_p}{\rho/2 V^2}$ is not a proper criterion to judge the cavitation. The local C_L value of section should be considered.
3. Any diagram describing the cavitation of ship propellers, should involve terms referring to angle of attack α . These may be P/D or β_i preferably.

Tandem arrangement, however seems unfavorable in model tests (Fig. 41) should not be considered unfit in principal, as the existing stock propellers; $P_8 + P_7$ were not suitable for the Case in hand.

In concluding, the study of Turkish wooden coaster forms constituted interesting research subjects which will further be continued in form of improvements on existing hull forms to educate the present wooden shipbuilders.

A chine form hull is being investigated to produce a simple hull form to produce coasters in steel which can be easily erected and welded by simple builders.

References

- H. I. Chapelle — FAO Report on Turkish Fishing Boats.
- H. Lindgren and A. O. Warholm — SSPA 35: Further Tests with models of Coasters.
- H. Lindgren — Cavitation tunnel tests with Merchant ship propellers SSPA 48.
- A. Skulberg — Modellforsök med fraktfartyg NHS Nr. 30, 1954.
- A. Nutku — Model tests with Fishing Boats II, Taka TSRI 7 — 1962.